

Hidrogeološke i hidrokemijske značajke vodnog tijela Sliv Sutle i Krapine

Horžić, Kristijan

Master's thesis / Diplomski rad

2016

Degree Grantor / Ustanova koja je dodijelila akademski / stručni stupanj: **University of Zagreb, Faculty of Mining, Geology and Petroleum Engineering / Sveučilište u Zagrebu, Rudarsko-geološko-naftni fakultet**

Permanent link / Trajna poveznica: <https://urn.nsk.hr/urn:nbn:hr:169:241128>

Rights / Prava: [In copyright/Zaštićeno autorskim pravom.](#)

Download date / Datum preuzimanja: **2024-04-20**



Repository / Repozitorij:

[Faculty of Mining, Geology and Petroleum Engineering Repository, University of Zagreb](#)



SVEUČILIŠTE U ZAGREBU
RUDARSKO-GEOLOŠKO-NAFTNI FAKULTET
Diplomski studij geologije okoliša

**HIDROGEOLOŠKE I HIDROKEMIJSKE ZNAČAJKE VODNOG TIJELA SLIV
SUTLE I KRAPINE**

Diplomski rad

Kristijan Horžić

GI 244

Zagreb, 2016.

Zahvaljujem

Dr.sc. Andrei Bačani redovitoj profesorici RGNF-a, na pomoći i stručnom vodstvu i strpljenju koje mi je pružila pri izradi diplomskog rada.

Članovima povjerenstva dr.sc Frankici Kapor, redovitoj profesorici RGNF-a i dr.sc. Jeleni Parlov, docentici RGNF-a.

Kolegi i prijatelju Tiboru Mariću na potpori i pomoći i asistentu Zoranu Kovaču.

Mojoj obitelji koja je vjerovala u mene kad mi je bilo najteže i davala potporu, posebno mami i tati.

Sveučilište u Zagrebu
Rudarsko-geološko-naftni fakultet

Diplomski rad

HIDROGEOLOŠKE I HIDROKEMIJSKE ZNAČAJKE VODNOG TIJELA *SLIV SUTLE I KRAPINE*

KRISTIJAN HORŽIĆ

Diplomski rad izrađen: Sveučilište u Zagrebu
Rudarsko-geološko-naftni fakultet
Zavod za geologiju i geološko inženjerstvo
Pierottijeva 6, 10 000 Zagreb

Sažetak

U radu su prikazane hidrogeološke značajke vodnog tijela *Sliv Sutle i Krapine* te su određena hidrokemijska svojstva podzemnih voda. U tu svrhu načinjena su dva geološka i dva hidrogeološka profila te su načinjeni Piperovi dijagrami na temelju podataka kemijskih analiza vode sa 39 izvorišta.

Vodno tijelo *Sliv Sutle i Krapine* je izgrađeno od stijena koje su nastale u razdoblju od gornjeg paleozoika do kvartara. Kao glavni vodonosnici izdvojeni su karbonati srednjeg i gornjeg trijasa i litotamnijski vapnenci badenske starosti koji se na površini nalaze na području gorskih masiva Ivanščice, Strahinjčice, Kuna gore, Maceljskog gorja i Medvednice. Svi značajniji izvori na području vodnog tijela su vezani za ove vodonosnike. U propusne naslage ubrojeni su još i aluvijalni nanosi vodotoka kvartarne starosti nešto slabijih hidrogeoloških značajki zbog ograničenog prostiranja i relativno malih debljina. Ostale naslage su slabopropusne do nepropusne. Podzemne vode izvorišta na području Ivanščice, Strahinjčice, Kuna gore, Maceljskog gorja i Medvednice pripadaju Ca-HCO₃ (kalcijsko-hidrogenkarbonatnom), CaMg-HCO₃ (kalcijsko-magnezijsko-hidrogenkarbonatnom) ili MgCa-HCO₃ (magnezijsko-kalcijsko-hidrogenkarbonatnom) facijesu, što je u skladu s njihovom genezom, vezanom za vapnence i dolomite.

Ključne riječi: vodno tijelo *Sliv Sutle i Krapine*, hidrogeologija, hidrokemija

Diplomski rad sadrži: 66 stranica, 39 tablica, 50 slika i 23 reference, 5 priloga

Jezik izvornika: hrvatski

Diplomski rad pohranjen: Knjižnica Rudarsko-geološko-naftnog fakulteta
Pierottijeva 6, Zagreb

Voditelj: Prof. dr. sc. Andrea Bačani, RGNF
Ocenjivači: Prof. dr. sc. Andrea Bačani, RGNF
Prof. dr. sc. Frankica Kapor, RGNF
Doc. dr. sc. Jelena Parlov, RGNF

Datum obrane: 16. prosinac, 2016.

HYDROGEOLOGICAL AND HYDROCHEMICAL CHARACTERISTICS OF *SUTLA AND KRAPINA GROUNDWATER BODY*

KRISTIJAN HORŽIĆ

Thesis completed in:

University of Zagreb
Faculty of Mining, Geology and Petroleum engineering
Department of Geology and Geological Engineering
Pierottijeva 6, 10 000 Zagreb

Abstract

The paper presents the hydrogeological and hydrochemical characteristics of the water body *Sutla and Krapina*. For this purpose are made two geological and two hydrogeological profiles as well as Piper diagrams based on the data of chemical analysis of water from 39 springs.

Water body *Sutla and Krapina* is built from rocks that are made in the period from upper Paleozoic to Quaternary. As the main aquifers are separated carbonates of Middle and Upper Triassic age and Lithothamnion limestones of Baden age which are on the surface located in the area of mountain massif Ivanščica, Strahinjčica, Kuna Highlands, Macelj hills and Medvednica. All major springs in the area of the water body are linked to these aquifers. Alluvial deposits of Quaternary age are also permeable but their hydrogeological characteristics are slightly weaker due to the limited spreading and relatively small thickness. Other deposits are low permeable to impermeable.

Spring waters in the area of Ivanščica, Strahinjčica, Kuna Highlands, Macelj hills and Medvednica belong to Ca-HCO₃ (calcium-hydrogencarbonate), CaMg-HCO₃ (calcium-magnesium-hydrogencarbonate) or MgCa-HCO₃ (magnesium- calcium hydrogencarbonate) facies, which is in according to their genesis, associated with limestone and dolomite.

Keywords: water body *Sutla and Krapina*, hydrogeology, hidrochemistry

Thesis contains: 66 pages, 39 tables, 50 figures, 23 references and 5 enclosure

Original in: Croatian

Thesis deposited in: Library of Faculty of Mining, Geology and Petroleum Engineering,
Pierottijeva 6, Zagreb

Supervisor: PhD Andrea Bačani, Full Professor

Reviewers: PhD Andrea Bačani, Full Professor
PhD Frankica Kapor, Full Professor
PhD Jelena Parlov, Assistant Professor

Date of thesis defense: December 16th 2016

Sadržaj

1.	Uvod	1
2.	Područje istraživanja.....	2
2.1.	Geografske značajke.....	2
2.2.	Klimatske značajke.....	3
3.	Geološke i hidrogeološke značajke	6
3.1.	Geološke značajke	6
3.2.	Hidrogeološke značajke istraživanog područja	13
4.	Hidrokemijska obilježja podzemne vode	17
5.	Zaključak	64
6.	Literatura	65
7.	Prilozi.....	67

Popis slika

Slika 2-1. Karta Krapinsko zagorske županije	2
Slika 2-2. Prosječne mjesečne temperature zraka u razdoblju 2008. – 2014. godine	4
Slika 2-3. Godišnje oborine za postaje Krapina i Puntijarka	4
Slika 2-4. Prosječne mjesečne oborine za razdoblje od 2008. do 2015. godine	5
Slika 3-1. Shematisirana geološka karta Hrvatskog zagorja.....	7
Slika 3-2. Lokacije izvora na području vodnog tijela Sliv Sutle i Krapine.....	14
Slika 3-3. Shematska hidrogeološka karta grupiranog vodnog tijela Sliv Sutle i Krapine .	14
Slika 3-4. Uzdužni shematski hidrogeološki profil kroz grupirano vodno tijelo Sliv Sutle i Krapine	15
Slika 3-5. Poprečni shematski hidrogeološki profil kroz grupirano vodno tijelo Sliv Sutle i Krapine	15
Slika 4-1. Lokacije vodozahvata na kojima se prati kakvoća podzemne vode	17
Slika 4-2. Prikaz vodnih facijesa u Piperovom dijagramu	18
Slika 4-3. Piper dijagram za Belečka Selnica	20
Slika 4-4. Piper dijagram za izvorešte Gorjak	21
Slika 4-5. Piper dijagram za izvorešte Gorjani	22
Slika 4-6. Piper dijagram za izvorešte Grobotek	23
Slika 4-7. Piper dijagram za izvorešte Kostel.....	24
Slika 4-8. Piper dijagram za izvorešte Podgora	25
Slika 4-9. Piper dijagram za izvorešte Pregrada	26
Slika 4-10. Piper dijagram za izvorešte Pregrada, zdenac B2	27
Slika 4-11. Piper dijagram za izvorešte Strahinje	28
Slika 4-12. Piper dijagram za izvorešte Lobor, otvoreni zahvat.....	30
Slika 4-13. Piper dijagram za izvorešte Lobor, zatvoreni zahvat	32
Slika 4-14. Piper dijagram za izvorešte Mlačine grabari.....	34
Slika 4-15. Piper dijagram za izvorešte Bajsičnjak	35
Slika 4-16. Piper dijagram za izvorešte Sopot	36
Slika 4-17. Piper dijagram za izvorešte Vojnovec.....	37
Slika 4-18. Piper dijagram za izvorešte Vrbanščak	38
Slika 4-19. Piper dijagram za izvorešte Zvirale.....	40
Slika 4-20. Piper dijagram za izvorešte Pece.....	41
Slika 4-21. Piper dijagram za izvorešte Šrajbeki	42

Slika 4-22. Piper dijagram za izvorište Bijeli zdenci	43
Slika 4-23. Piper dijagram za izvorište Bijeli zdenci1	44
Slika 4-24. Piper dijagram za izvorište Bijeli zdenci2	45
Slika 4-25. Piper dijagram za izvorište Biušek	46
Slika 4-26. Piper dijagram za izvorište Curek	47
Slika 4-27. Piper dijagram za izvorište Galovići	48
Slika 4-28. Piper dijagram za izvorište Jelovica	49
Slika 4-29. Piper dijagram za izvorište Kralješak	50
Slika 4-30. Piper dijagram za izvorište Poštovac	51
Slika 4-31. Piper dijagram za izvorište Mrzljak 1 i 2	53
Slika 4-32. Piper dijagram za izvorište Stupa	54
Slika 4-33. Piper dijagram za izvorište Svinjski jarek 1	55
Slika 4-34. Piper dijagram za izvorište Svinjski jarek 2	56
Slika 4-35. Piper dijagram za izvorište Bukovje	57
Slika 4-36. Piper dijagram za izvorište Dobre vode Medvednica	58
Slika 4-37. Piper dijagram za izvorište Dobri zdenci	59
Slika 4-38. Piper dijagram za izvorište Kojzica	60
Slika 4-39. Piper dijagram za izvorište Kulmerica	61
Slika 4-40. Piper dijagram za izvorište Rudnica	62
Slika 4-41. Piper dijagram za izvorište Rudnica, (Gornja Podgora)	63

Popis tablica

Tablica 4-1. Kationi i anioni za izvorište Belečka Selnica	19
Tablica 4-2. Kationi i anioni za izvorište Gorjak	20
Tablica 4-3. Kationi i anioni za izvorište Gorjani	21
Tablica 4-4. Kationi i anioni za izvorište Grobotek	22
Tablica 4-5. Kationi i anioni za izvorište Kostel	23
Tablica 4-6. Kationi i anioni za izvorište Podgora	24
Tablica 4-7. Kationi i anioni za izvorište Pregrada	26
Tablica 4-8. Kationi i anioni u vodi zdenca B2 u Pregradi	27
Tablica 4-9. Kationi i anioni za izvorište Strahinje	28
Tablica 4-10. Kationi i anioni za izvorište Lobor, otvoreni zahvat	29
Tablica 4-11. Kationi i anioni za izvorište Lobor, zatvoreni zahvat	31
Tablica 4-12. Kationi i anioni za izvorište Mlačine grabari	33
Tablica 4-13. Kationi i anioni za izvorište Bajšičnjak	34
Tablica 4-14. Kationi i anioni za izvorište Sopot	36
Tablica 4-15. Kationi i anioni za izvorište Vojnovec	37
Tablica 4-16. Kationi i anioni za izvorište Vrbanščak	38
Tablica 4-17. Kationi i anioni za izvorište Zvirale	39
Tablica 4-18. Kationi i anioni za izvorište Pece	40
Tablica 4-19. Kationi i anioni za izvorište Šrajbeki	41
Tablica 4-20. Kationi i anioni za izvorište Bijeli zdenci	42
Tablica 4-21. Kationi i anioni za izvorište Bijeli zdenci1	43
Tablica 4-22. Kationi i anioni za izvorište Bijeli zdenci2	44
Tablica 4-23. Kationi i anioni za izvorište Biušek	45
Tablica 4-24. Kationi i anioni za izvorište Curek	46
Tablica 4-25. Kationi i anioni za izvorište Galovići	48
Tablica 4-26. Kationi i anioni za izvorište Jelovica	49
Tablica 4-27. Kationi i anioni za izvorište Kralješak	50
Tablica 4-28. Kationi i anioni za izvorište Poštovac	51
Tablica 4-29. Kationi i anioni za izvorište Mrzljak 1 i 2	52
Tablica 4-30. Kationi i anioni za izvorište Stupa	54
Tablica 4-31. Kationi i anioni za izvorište Svinjski jarek 1	55
Tablica 4-32. Kationi i anioni za izvorište Svinjski jarek 2	56

Tablica 4-33. Kationi i anioni za izvorište Bukovje	57
Tablica 4-34. Kationi i anioni za izvorište Dobre vode Medvednica	58
Tablica 4-35. Kationi i anioni za izvorište Dobri zdenci	59
Tablica 4-36. Kationi i anioni za izvorište Kojzica	60
Tablica 4-37. Kationi i anioni za izvorište Kulmerica	61
Tablica 4-38. Kationi i anioni za izvorište Rudnica	62
Tablica 4-39. Kationi i anioni za izvorište Rudnica, (Gornja Podgora)	63

Popis priloga

Prilog 1. Karta s trasama profila	67
Prilog 2. Geološki profil A-B.....	68
Prilog 3. Hidrogeološki profil A-B	69
Prilog 4. Geološki profil C-D.....	70
Prilog 5. Hidrogeološki profil C-D	71

1. Uvod

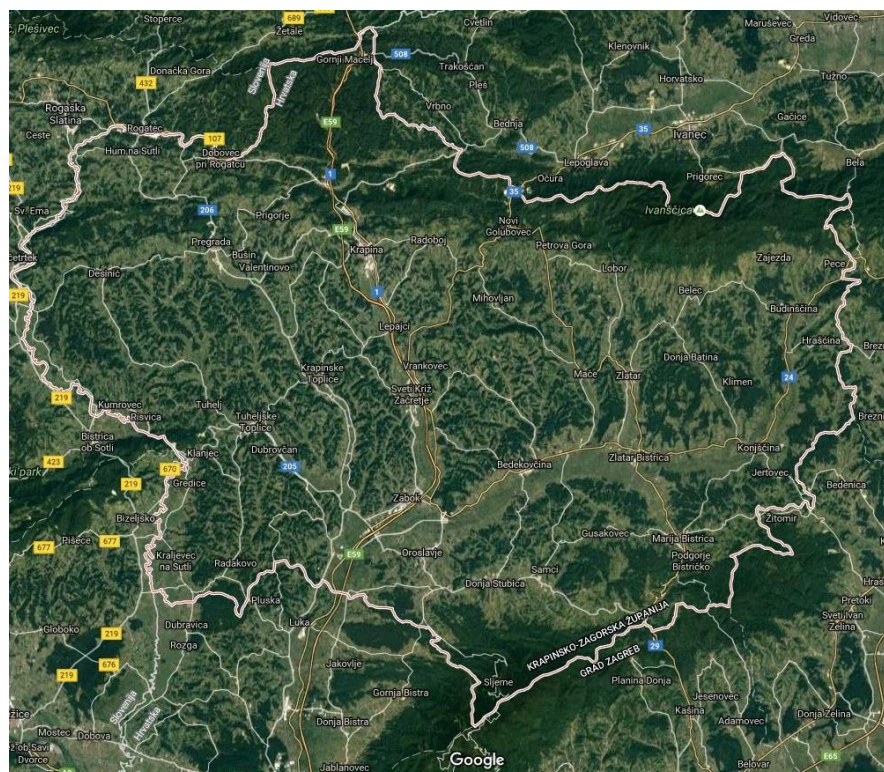
Vodno tijelo *Sliv Sutle i Krapine* nalazi se većim dijelom na području Krapinsko-zagorske županije. Na sjeveru je omeđeno zagorskim gorama Ivanščicom, Strahinjčicom i Maceljskom gorom, na jugu dolinom Save odnosno vodnim tijelom *Zagreb*, na jugoistoku je Medvednica, a na zapadu državna granica sa Slovenijom.

Cilj ovog diplomskog rada je prikazati hidrogeološke i hidrokemijske značajke slivova Sutle i Krapine koji su prema *Planu upravljanja vodnim područjima* objedinjeni u vodno tijelo *Sliv Sutle i Krapine*. Za prikaz hidrogeoloških značajki korišteni su podaci Osnovne geološke karte M 1:100.000, listovi Rogatec, Zagreb, Varaždin i Ivanić Grad s pripadajućim tumačima, te podaci iz baze hidrogeoloških podataka projekta EGPV temeljem kojih su načinjena dva geološka i dva hidrogeološka profila. Za prikaz hidrokemijskih značajki korišteni su podaci o kakvoći podzemne vode s deset vodocrpilišta koji su preuzeti iz projekta *Definiranje trendova i ocjena stanja podzemnih voda na području panonskog dijela Hrvatske* koji je provodio Rudarsko-geološko-naftni fakultet u suradnji s Hrvatskim vodama.

2. Područje istraživanja

2.1. Geografske značajke

Vodno tijelo *Sliv Sutle i Krapine* je na sjeveru zatvoreno zagorskim gorama: Ivanšćicom, Strahinjčicom i Maceljskom gorom, na jugu dolinom Save odnosno vodnim tijelom *Zagreb*, na jugoistoku je Medvednica, a na zapadu državna granica sa Slovenijom. Površina vodnog tijela iznosi 1406 km^2 . Prosječna godišnja količina oborina u razdoblju 2008. do 2015. godine je iznosila 1088,9 mm. Rijeka Sutla izvire na južnim obroncima Maceljske gore, u Sloveniji. Ukupna dužina toka je oko 92 km, a od toga 89 km u Hrvatskoj. Rijeka Krapina izvire na južnim obroncima Ivanšćice i cijelim svojim tokom protječe kroz Hrvatsko zagorje. Duga je 65 kilometara (Hrvatske vode, 2009). Područje istraživanja nalazi se većim dijelom na prostoru Krapinsko – zagorske županije (Slika 2-1.). Površina županije je 1229 km^2 sa gustoćom stanovnika od 108,1 stan/km 2 (<http://www.kzz.hr/općenito>).



Slika 2-1. Karta Krapinsko zagorske županije (<https://www.google.com/maps/place/Krapinsko-zagorska+%C5%BEupanija,+Hrvatska/@46.082269,15.8191738,47399m/data=!3m1!1e3!4m5!3m4!1s0x4765e92a3633e609:0x300ad50862bb430!8m2!3d46.1013393!4d15.8809693?hl=hr-HR>)

Na području vodnog tijela su zastupljena tri tipa reljefa: aluvijalne doline, brežuljkasti krajevi i gorski masivi. Središnjim područjem vodnog tijela dominira aluvijalna dolina Krapine. Ima velik značaj za razvoj poljoprivrede, razvoj gradova i izgradnju važnih međunarodnih prometnih pravaca. Doline Krapine i Sutle su pretežito izgradene od slabopropusnog materijala, a imaju i mali nagib što uzrokuje dugo zadržavanje i slabo otjecanje oborinskih voda. Ostale doline su uglavnom poljoprivredne površine, a uključuju slivove rječica Krapinice, Reke, Kosteljine i Horvatske.

Brežuljkasti krajevi obuhvaćaju prigorske pojase na južnim stranama gora (prigorja Strahinjčice, Ivanščice i Maceljske gore, uglavnom šumske površine), zatim podgorja na sjevernim stranama gora (sjeverozapadna strana Medvednice i sjeverna strana Strahinjčice, uglavnom šumske površine), te pobrđa (izdvojenje reljefne cjeline, osunčana kvalitetna tla, za poljoprivredu, voćarstvo, vinogradarstvo te manje šumske površine).

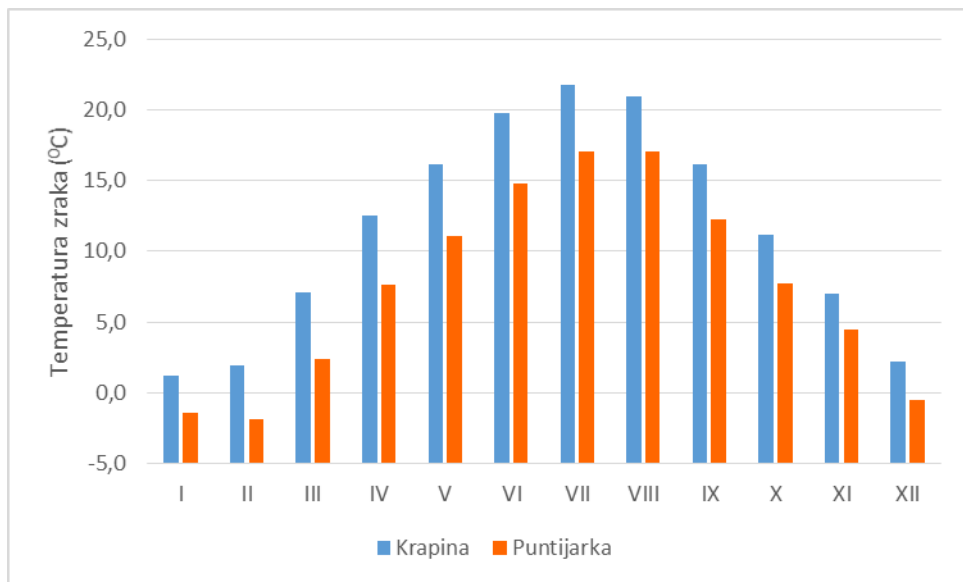
Gorski masivi Ivanščice, Strahinjčice, Maceljskog gorja i Medvednice zauzimaju veliku površinu, a važni su zbog izvora pitke vode i šumske površine (Malbaša i dr., 1997).

2.2. Klimatske značajke

Područje Krapinsko-zagorske županije ima tipičnu kontinentalnu humidnu klimu koju karakteriziraju umjereni toplo ljeto te kišovite hladne zime. Klasifikacija prema W. Köppenu za područje županije je C tip klime: umjereni-kišna klima. Vrh Medvednice s najbližim okolišem prema klasifikaciji W. Koppena ima perhumidnu klimu, a u cijelome ostalom području županije je humidna klima. Na klimu utječe Panonska nizina, planinski sustav Alpa, planinski sustav Dinarida, opća atmosferska cirkulacija karakteristična za geografsku širinu i reljef kao utjecaj na lokalne klimatske različitosti (Habdija Žigman i dr., 2015).

Temperatura zraka

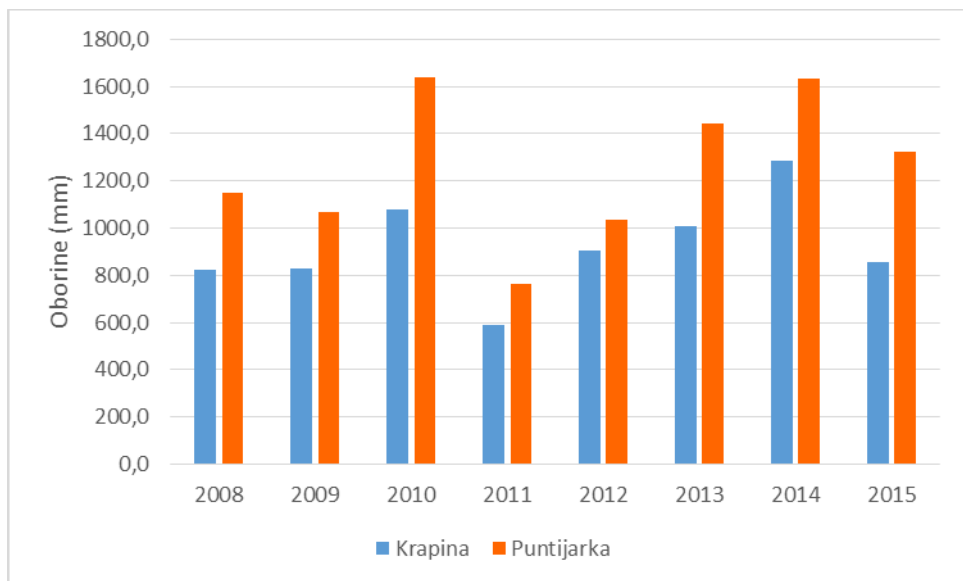
Prema podacima Državnog hidrometeorološkog zavoda (DHMZ-a) prosječna godišnja temperatura za hidrometeorološke postaje Krapina i Puntijarka u razdoblju od 2008. do 2014. godine bila je $9,5^{\circ}\text{C}$. Najhladniji mjesec je siječanj s prosječnom temperaturom $-0,1^{\circ}\text{C}$, a najtoplji srpanj s prosječnom temperaturom $19,4^{\circ}\text{C}$ (Slika 2-2.).



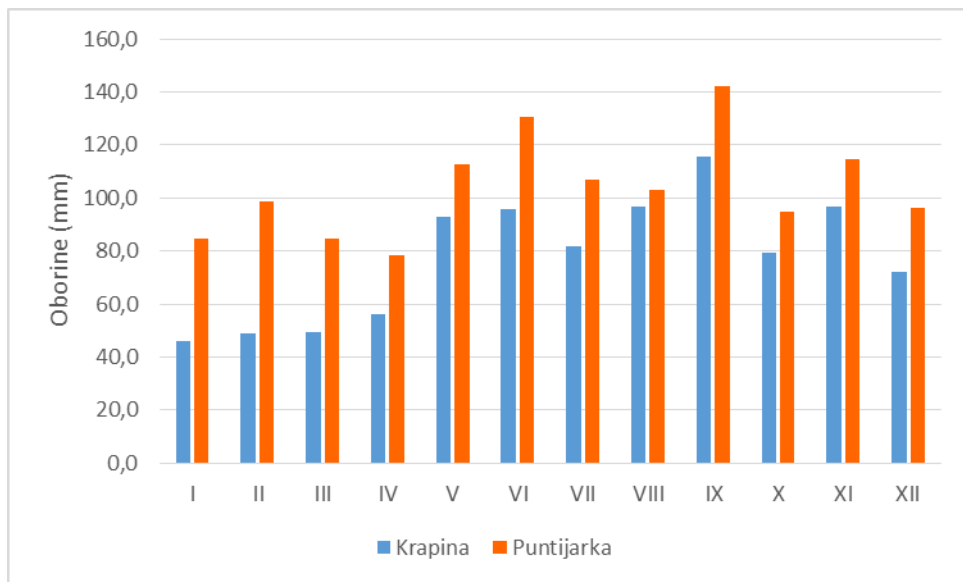
Slika 2-2. Prosječne mjesecne temperature zraka u razdoblju 2008. – 2014. godine

Oborine

Godišnja količina oborina u razdoblju od 2008. do 2015. godine se za postaje Krapina i Puntijarka kretala od 592 do 1638 mm (Slika 2-3.), s prosječnom vrijednošću od 1088,9 mm. Najviše oborine je palo u rujnu, prosječno 125,4 mm, a najmanje u siječnju, prosječno 69,3 mm (Slika 2-4.).



Slika 2-3. Godišnje oborine za postaje Krapina i Puntijarka



Slika 2-4. Prosječne mjesečne oborine za razdoblje od 2008. do 2015. godine

Magla

Tijekom cijele godine postoji mogućnost pojave magle, tijekom cijelog dana po zimi a po ljeti isključivo ujutro i navečer. Rujan, listopad, studeni i prosinac imaju najviše dana s maglom. Tijekom godine je 56 dana zbog magle sa smanjenom vidljivošću (Habdića Žigman i dr., 2015).

Vjetar

Reljef u Zagorju utječe na strujanje zraka. Zapadni vjetrovi su najčešći sa 45% trajanjem, istočni sa 29% trajanjem, a bez vjetra je 6% godine. Od kasne jeseni do početka proljeća javljaju se najjači vjetrovi, maksimalne jačine od 6-9 Bofora (Habdića Žigman i dr., 2015).

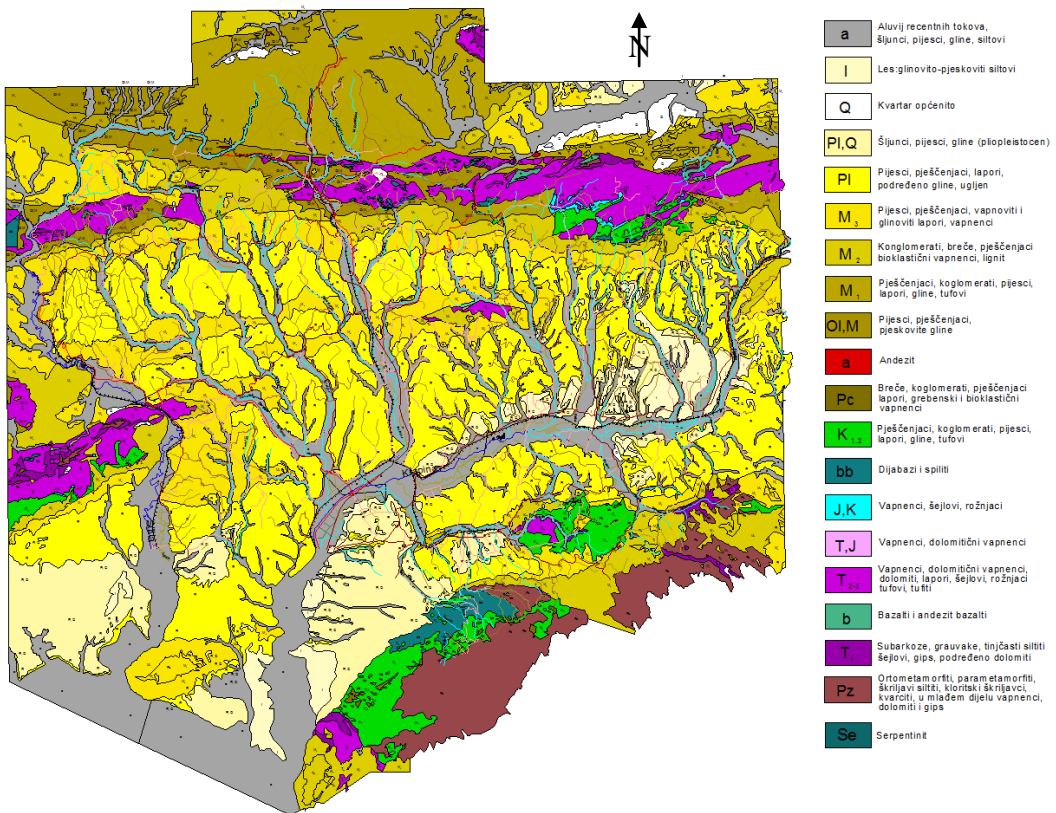
3. Geološke i hidrogeološke značajke

Vodno tijelo *Sliv Sutle i Krapine* ima elemenata alpske građe i reljefa te manje elemente panonske građe. Dolinom rijeke Krapine prolazi granica između Istočnog kopna i Alpa po dužoj osi konjščinske sinklinale. Posljednim alpskim ograncima pripadaju Ivanščica sa Strugačom, te Cesargradska gora s Desiničkom gorom. Ivanščica, Medvednica i Maceljska gora zatvaraju dvije kotline: južnu ili glavnu ograničenu Ivanščicom, Strahinčicom, Kostelom i Medvednicom te sjevernu ili sporednu Ivanečku kotlinu koja se nalazi na području vodnog tijela *Varaždin*. Seizmičnost ovog prostora iznosi 7-8 stupnjeva MCS skale (Malbaša i dr., 1997).

3.1. Geološke značajke

Za prikaz geoloških odnosa korišteni su podaci Osnovne geološke karte M:100.000, list Rogatec (Aničić i Juriša, 1981), list Varaždin (Šimunić i dr., 1983), list Zagreb (Šikić i dr., 1972) i list Ivanić Grad (Basch, 1981) te podaci pripadajućih Tumača lista Rogatec (Aničić, i Juriša, 1985), lista Varaždin (Šimunić i dr., 1981), lista Zagreb (Šikić i dr., 1979) te lista Ivanić Grad (Basch, 1983). Osim toga korišteni su i rezultati nekih novijih istraživanja. U opisu neogenskih naslaga kao i u izradi geoloških profila korištena je važeća podjela neogena *Međunarodnog povjerenstva za stratigrafiju*.

U geološkoj građi vodnoga tijela *Sliv Sutle i Krapine* sudjeluju stijene koje su nastale u razdoblju od gornjeg paleozoika do kvartara (slika 3-1, prilozi 1, 2 i 4). U tom dugom vremenskom razdoblju istraživano područje bilo je najvećim dijelom prekriveno morem, manjim dijelom brakičnim i slatkvodnim jezerima, a najmanje je bilo kopno.



Slika 3-1. Shematizirana geološka karta Hrvatskog zagorja (preuzeto iz projekta EGPV, 1988 – 2000)

Gornji paleozoik (Pz₂) je zastupljen krupnozrnatim pješčenjacima, šejlovima i niskometamorfnim škriljcima (slika 3-1, prilog 1 i 2).

Na sjevernim padinama Ivanšćice i sjeveroistočnim padinama Medvednice pojavljuju se naslage gornjeg paleozoika koje se sastoje od krupnozrnastih, grauvaknih pješčenjaka, tinjčastih silita, šejlova i od kvarc-sericitskih, glaukofanskih, albit-kvarc-muskovitskih i sericitskih škriljevac (Šimunić i dr., 1981). Velika tektonska poremećenost i pokrivenost terena onemogućuju utvrđivanje njihovog međusobnog odnosa unutar paleozojskog kompleksa. Pješčenjake izgrađuju čestice niskometamorfnih škriljevac. Grauvake se sastoje od slabo do srednje sortiranog detritusa, kojeg čini kvarc, kvarcit, čestice kremenih, kvarc-sericitnih i sericitnih škriljevac te klorita i biotita. Unutar grauvaka tinjčasti siliti se pojavljuju kao proslojci. Na njima leže diskordantno konglomeratične i brečaste litične grauvake crveno-smeđe boje (Šimunić, 1992).

Donji trijas (T_1) je zastupljen pješčenjacima, šejlovima, laporima, vagnencima i dolomitima (slika 3-1, prilog 1 i 2).

Donjotrijaske naslage mogu se prema litološkom sastavu podijeliti u donji, klastični i gornji, karbonatni dio (Šimunić, 1992). Na površini se nalaze na području centralnog dijela Ravne gore, na sjevernim padinama Ivanšćice i Medvednice i kao manji izdanci na potezu od Margečana preko Lepoglave. Najveća debljina i raspostranjenost je na Ravnoj gori (oko 200 m). Postoji međusoban prijelaz gornjopaleozojskih klastita s bazom donjeg trijasa, najčešće na gornjopaleozojskim grauvaknim pješčenjacima i šejlovima, slijedi višestruka izmjena crvenosmeđih, žutih i sivih, tinjčastih pješčenjaka, silitita i šejlova, uz povremene pojave oolitičnih vagnenaca i laporanaca. Ponegdje se na granici nalaze sitnozrni, sivi, silt-glinoviti dolomiti debljine nekoliko metara. Pješčenjaci su protokvarciti i subarkoze, katkad prividno uškriljeni, detritus se sastoji od kvarca, feldspata i muskovita. Siliti i sitnozrni pješčenjaci su tinjčasti, sastoje se od muskovita, sericita, klorita i kvarca. Šejl i lapor imaju glavne sastojke glinu, muskovit i sericit, rjeđe kvarc, klorit i kalcit. Unutar klastita dolaze oolitični vagnenci kao leće i proslojci, sivožute do crvenosmeđe boje. U gornjem dijelu donjeg trijasa su najzastupljeniji tamnosivi, pločasti i tankouslojeni vagnenci, katkad s proslojcima šejlova i oolitičnih vagnenaca, najviše na području Ravne gore. Tamnosivi vagnenci su izgrađeni od sitnozrnatog sparitskog kalcita, homogene strukture, a mogu sadržavati primjese kvarca i limonitno-glinovite suspenzije (Šimunić, 1992).

Srednji trijas (T_2) je zastupljen dolomitima, vagnencima i dolomitnim brečama (slika 3-1, prilog 1, 2 i 4).

Postupan prijelaz tamnosivih pločastih vagnenaca donjeg trijasa u tamnosive dolomite srednjeg trijasa vidi se u kamenolomima V. Sotinske na Ravnoj gori i u zapadnim dijelovima Ivanšćice (Šimunić, 1992). Karbonati su većinom dolomitizirani. Rijetko sačuvani vagnenci su rekristalizirani i djelomično silificirani. Razdvajanje srednjeg od gornjeg trijasa nije moguće zbog kontinuirane sedimentacije, pokrivenosti terena i poremećenosti sedimenata (Šimunić, 1992).

Gornji trijas (T_3) je izgrađen od sitnozrnih vapnenaca, dolomita i dolomitnih breča (slika 3-1, prilog 1 i 2).

Naslage gornjeg trijasa su na površini najzastupljenije na Ivanščici. Izgrađuju ih gromadasti ili debelouslojeni, sivi sitnozrni vapnenci i dolomiti. Često su te naslage zdrobljene i pretvorene u tektonske breče koje označavaju glavne rasjedne zone. Šimunić (1992) prepostavlja da je debljina gornjotrijaskih naslaga na Ivanščici oko 400 m.

Vapnenci su klasificirani kao fosiliferni i peletski mikriti te algalni biomikriti. Krupnozrnati metamorfizirani vapnenci ponekad imaju leće dolomita koji su određeni kao intraklastični i sitnozrnati dolomiti, dok su stromatolitni rjeđi (Šimunić, 1992).

Jura-Kreda (**J,K**) je izgrađena od vapnenaca, šejlova i rožnjaka (slika 3-1, prilog 1 i 2).

Na korodiranoj trijaskoj karbonatnoj podlozi došlo je do taloženja tankopločastih, svjetlosivih i žutih vapnenaca, koji su određeni kao pelicipodno-radiolarijski biomikriti, radiolarijski biomikriti i fosiliferni biomikriti (Babić i Zupanić, 1973). Sjeverno od Podrute nalaze se naslage vapnenca koje se izmjenjuju s radiolarijskim šejlovima i radiolarijskim rožnjacima (Šimunić, 1992).

Otriv-turon ($\beta\beta$) izgrađuju bazični eruptivi dijabazi, spilitizirani dijabazi i spiliti (slika 3-1, prilog 1, 2 i 4).

Na južnim padinama centralnog i istočnog dijela Ivanščice (prilog 4) i u centralnom dijelu Kalničkog gorja nalaze se bazični eruptivi. Kredni bazični eruptivi su vezani uz kredni vulkanogeno-sedimentni kompleks. Odnos prema sedimentima je najčešće tektonskog karaktera. Do proboja eruptiva je došlo najvjerojatnije tijekom taloženja vulkanogeno-sedimentnih naslaga. Na temelju kemijskih analiza izdvojeni su dijabazi, spilitizirani dijabazi i spiliti (Šimunić i dr. 1981).

Kreda ($K_{1,2}$) je izgrađena od pješčenjaka, šejlova, lapor, vapnenaca i rožnjaka (slika 3-1, prilog 1 i 2).

Naslage krednog vulkanogeno-sedimentnog kompleksa karakterizira veliki broj litoloških članova, odnosno česta i nepravilna izmjena pješčenjaka, šejlova, lapor, rožnjaka, vapnenaca i silificiranih vapnenaca, tufova i spilitiziranih dijabaza. Među krednim sedimentima prevladavaju pješčenjaci sive ili sivozelene boje koji su prema

sastavu određeni kao grauvake. Glavni sastojak je mikrokristalasti kvarc uz primjese kalcita i željeznog oksida. Kod šejlova glavna komponenta je hidromuskovit, a određeni su kvarc, feldspati, kaolinit, klorit i ugljevita supstanca. Glavni sastojak u radiolarijsko-silicijskim šejlovima je mikrokristalasti kvarc, dodatno prisutni mikrokristalasti kalcit, kaolinit, hidromuskovit i rekristalizirane radiolarije. Vapnenci su tankouslojeni sive ili sivožute boje (Šimunić, 1992).

Najveće dijelove istraživanog terena prekrivaju kenozojske naslage. Prema Šimunić (1992) taloženje kenozojskih naslaga započinje u eocenu i uz kratke prekide traje do holocena.

Paleogen izgrađuje najmanje dijelove terena i do danas su se sačuvali samo eocenski i oligocenski sedimenti. Eocenski sedimenti nalaze se u obliku erozijskih ostataka ili tektonskih krpa, a oligocenski kao uska zona koja okružuje Ravnu goru (Šimunić, 1992).

Oligomiocenski sedimenti (Ol, M) su izdvojeni na Ivanščici gdje okružuju mezozojsku jezgru (slika 3-1, prilog 1 i 4).

Neogen je najzastupljeniji na istraživanom terenu.

Donji miocen (M₁) je zastupljen pješčenjacima, konglomeratima, šljuncima, laporima i glinama (slika 3-1, prilog 1 i 2).

Veliko raspostranjenje ovog stratigrafskog člana je prisutno u području Ivanščice i Kalnika. Glavni litološki članovi su pijesci, pješčenjaci, konglomerati i šljunci, a sporedni lapor, gline, tufovi i ugljen. Kvarc je glavni mineralni sastojak. Pješčenjaci su sive do tamnosive boje ako su svježi, a trošenjem dobivaju različite nijanse smeđe. Polimikritni konglomerati i breče imaju veličinu čestica od 0,5 do 2 cm. Boja laporanice je zelenkastosiva i plavičastosiva. Sadrži do 45% CaCO₃. Glavni sastojak glina je montmorilonit, uz prisustvo kvarca, kristobalita i hidromuskovita s ilitom, a boje glina su sive, zelenkastosive i plavičastosive (Šimunić, 1992).

Baden (M₄) je zastupljen biogenim, pjeskovitim i laporovitim vapnencima, vapnenačkim laporima i pješčenjacima.

Badenske naslage prekrivaju velike površine južnog pribrežja Ivanščice, nalaze se i na sjeveroistočnim obroncima Ravne gore te na Kalniku (slika 3-1, prilog 1, 2 i 4). Najviše

su zastupljeni vapnenački sedimenti, primarno biogeni i pjeskoviti vaspnenci, laporoviti vaspnenci i vapnenački lapor, a prisutni su još i pješčenjaci, konglomerati, breče, pijesci i lapor. Najzastupljeniji litološki član je biogeni vaspnenac, gromadasta do dobro uslojena stijena, bijele, svjetlosive i žućkaste boje, koja sadrži 85-96% CaCO_3 . U predjelu Strugače, na području južno od Ivanščice i sjeverno od Kalnika ima pješčenjaka, koji su određeni kao litoareniti i pjeskoviti biospariti. Vapnenački lapor i laporoviti vaspnenci su dobro uslojeni žućkastosmeđe i sive boje (Šimunić, 1992).

Sarmat (M₅) - je zastupljen pločastim i listićavim vaspnencima, pjeskovitim vaspnencima, glinovitim i bituminoznim laporima, te pješčenjacima (slika 3-1, prilog 1, 2 i 4).

Naslage sarmata slijede kontinuirano i konkordantno na sedimente gornjeg badena. Na sjevernim i južnim obroncima Ivanščice i Varaždinsko-Topličkog gorja znatno su raspostranjenije. Taloženje naslaga sarmata je isključivo u brakičnoj sredini. Dominiraju pločasti laporoviti i listićavi vaspnenci, pjeskoviti vaspnenci, vapnenački lapor, glinoviti i bituminozni lapor. Dobrouslojeni do pločasti laporoviti vaspnenci, vapnenački lapor i lapor su žućkaste, žućkastosive i smeđkaste boje, s primjesama gline i limonita. Listićavi vaspnenci sadrže do 96% CaCO_3 . Amorfna glinena tvar je glavni sastojak kod glinovitih lpora, sadržaj karbonatne komponente je 30%, primjese su kvarc i muskovit. Na području sjeverno od Kalnika određeni su pješčenjaci i pijesci. Pješčenjak je sive boje, određen kao litoarenit, sadrži 35 do 60% karbonatne komponente (Šimunić, 1992).

Panon (M₆) je zastupljen laporovitim vaspnencima i vapnenačkim laporima, laporima, pješčenjacima i pijescima (slika 3-1, prilog 1, 2 i 4).

Naslage panona slijede kontinuirano i konkordatno na sarmat. U obliku tektonski razlomljene zone pružaju se na području sjeverno od Ivanščice, južno od Ivanščice te na području sjeverno od Varaždinsko-Topličkog gorja. Laporoviti vaspnenci i vapnenački lapor su dominantan litološki član, a podređeni su lapor, pješčenjaci i pijesci. Pločaste stijene neravnih slojnih ploha, žućkaste do svjetlosive boje određene su kao laporoviti vaspnenci i vapnenački lapor, međusobno se razlikuju po sadržaju karbonatne komponente u rasponu od 73-92%. Na području sjeverno od Kalnika lapor se izmjenjuju s pijescima i pješčenjacima, a ponegdje s laporovitim vaspnencima. Lapor na području između Strugače i Ivanščice sadrže 65% CaCO_3 . Pješčenjaci su određeni kao litoareniti (Šimunić, 1992).

Prema Šimunić (1992) panonske naslage se s obzirom na litološki sastav i fosilni sadržaj mogu podijeliti na dva dijela. Donjem dijelu pripadaju slatkovodni sedimenti, predstavljeni bijelim laporovitim vapnencima i vapnovitim laporima, poznati kao *croatica naslage*, a gornjem brakični sedimenti predstavljeni sivožutim debelouslojenim laporima poznatim pod nazivom *banatica naslage*, a ponegdje se sreću i umetnuti proslojci pijeska, pješčenjaka, šljunaka i konglomerata. Sjeverno od Kalnika debljina gornjopanonskih naslaga je 600-700 m, u prostoru između Ivančice i Medvednice izmjerene su debljine od 300-600 m (Šimunić, 1992).

Pont (M₇) je zastupljen laporima, pjeskovitim laporima, pijescima i pješčenjacima (slika 3-1, prilog 1, 2 i 4).

Tijekom ponta nastavlja se sedimentacija u kaspibrakičnoj sredini. Prema fosilnom sadržaju ove naslage se dijele u donji pont ili *abichi naslage* i gorni pont ili *rhomboidea naslage*.

Sedimenti donjeg ponta slijede kontinuirano i konkordatno na gornjem panonu, taloženi su u kaspibrakičnoj sredini. Plavičastosivi, žućkastosivi i dijelom uslojeni latori sadrže do 50% CaCO₃. U višim dijelovima donjeg ponta nalaze se dobro uslojeni pjeskoviti latori, i slabo vezani siltiti s proslojcima pijesaka i pješčenjaka žućkastosive, sive i smeđkaste boje. Koncentracija listićavih minerala je tipična za ove lapore. Procijenjena debljina naslaga donjeg ponta je 200-400 m (Šimunić, 1992).

Kontinuirana zona naslaga gornjeg ponta pruža se od Stražnjevca preko Cerja do Črešnjeva na području sjeverno od Ivančice. U litološkom sastavu dominiraju rastresiti sedimenti, žućkaste, sive, smeđaste boje, a još su zastupljeni pješčenjaci, latori, gline i šljunci. Pijesci su dominantni, rjeđe su zastupljeni siltni i šljunkoviti pijesci te pjeskoviti siltovi u granulometrijskom sastavu. Pješčenjaci su određeni kao sublitoareniti, sadrže 20-35% CaCO₃. Žućkastosivi i zelenkastosivi latori sadrže 15-45% CaCO₃ (Šimunić, 1992).

Pliocen-Kvartar (Pl,Q) je zastupljen šljuncima i pijescima.

Na sjevernim padinama Ivančice, u dolini Lonje i Lepoglavskoj sinklinali otkrivene su naslage pliocen-kvartara (slika 3-1, prilog 1, 2 i 4). Na starije naslage su diskordantno taloženi klastični, fluvio-jezerski sedimenti molasnog tipa. Naslage su izgrađene većinom od pijeska te šljunaka katkad rijetko s lećama i proslojcima glina. Boja pijesaka, silnih pijesaka i pjeskovitih siltova je siva, bijela, smeđa i crvena. Šljunci su

pretežito nesortirani, sastoje od nezaobljenih do subzaobljenih valutica, koje su izgrađene najviše od kvarca i rožnjaka. Debljina naslaga je do najviše 50 m (Šimunić, 1992).

Q-Kvartar čine aluvijalni sedimenti rijeka Krapine, Črnce, Lonje, Bednje, Voće, Plitvice i ostalih većih potoka (slika 3-1, prilog 1, 2 i 4).

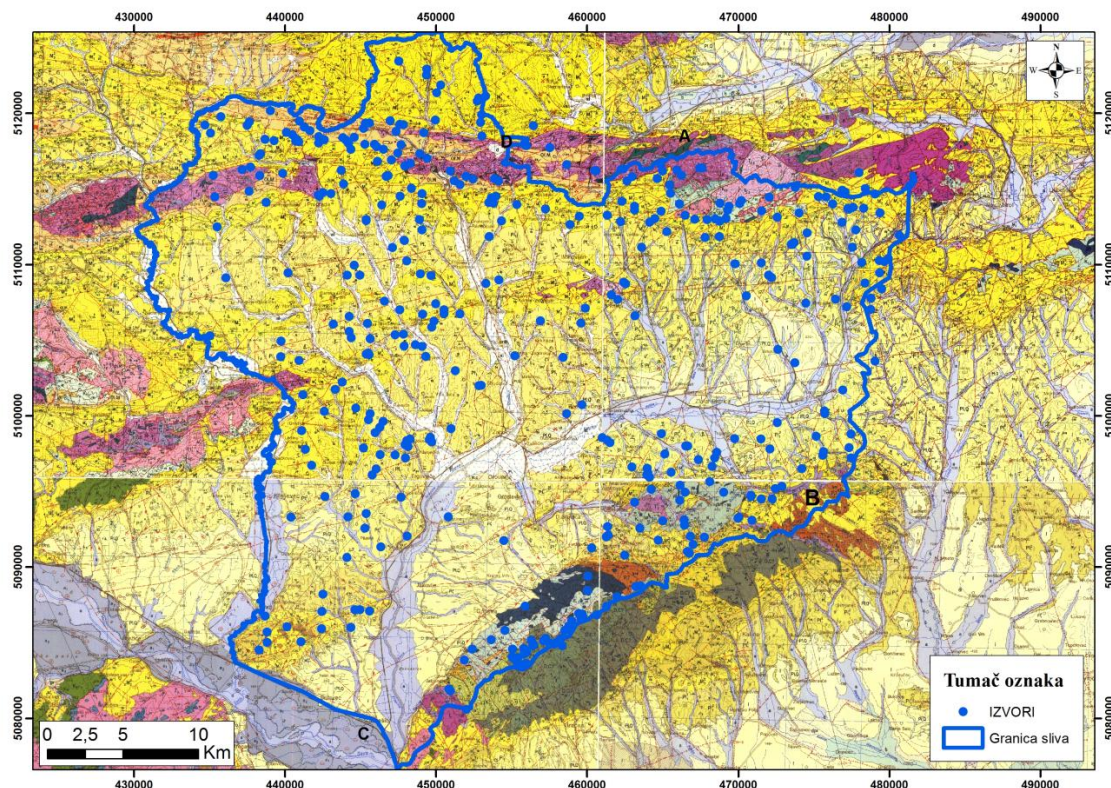
Sastoje se od siltnog pijeska, pjeskovitog silta, glinovitog silta, rjeđe sitnozrnatog šljunka. Silt je glavni sastojak aluvijalnih sedimenata, pijeska ima 14-42%, a gline 5-20%. Aluvijalni sitnozrnati šljunci su nastali trošenjem mezozojskih i tercijarnih naslaga, pretaložavanjem pliokvartarnih naslaga, sastoje se od nezaobljenih do dobro zaobljenih valutica koje su slabo sortirane (Šimunić, 1992).

3.2. Hidrogeološke značajke istraživanog područja

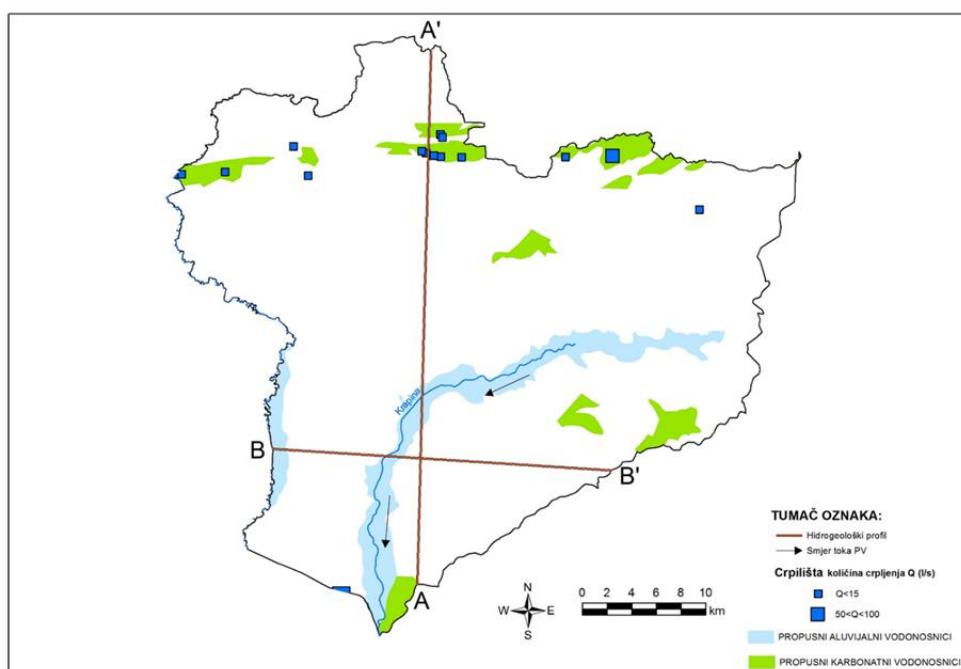
Glavni vodotok vodnog tijela *Sliv Sutle i Krapine* je rijeka Krapina. Na zapadu se nalazi lijevoobalni sliv rijeke Sutle koja je granična rijeka između Republike Hrvatske i Republike Slovenije. U Savu se ulijevaju obje rijeke te čine njezin lijevoobalni sliv. S južnih obronaka Ivančice rijeka Krapina se prihranjuje desnoobalnim pritokama, a sa sjevernih obronaka Medvednice lijevobalnim pritokama. Reka koja izvire na Ivanšćici, Krapinica u Macelju te Horvatska koja drenira vode iz Kuna Gore i Kostel Gore su najveće desnoobalne pritoke Krapine. Bistrica, Toplički Potok, Žitomirka i Pinja su najveće lijevoobalne pritoke Krapine.

U hidrogeološkom smislu na vodnom tijelu prevladavaju slabopropusne i nepropusne taložine, što uz morfološke karakteristike terena ima za posljedicu površinsko otjecanje i slabu infiltraciju oborinskih voda. Formiraju se brojni vodotoci pretežito bujičnog karaktera. Najznačajniju vodonosnu sredinu čine tektonski poremećeni i raspucali vapnenci i dolomiti srednjeg i gornjeg trijasa, kao i trošni i tektonski poremećeni litotamnijski vapnenci badenske starosti. Izdašnosti izvora, koji su vezani za ove vodonosnike kreću se u širokom rasponu od 1,0 l/s do oko 70,0 l/s. Najviše ih se nalazi na obroncima Ivančice. Ostale taložine su od manjeg značaja i općenito nemaju izvore izdašnosti veće od 0,5 l/s, iako su izvori brojni (slika 3.2). Bušenim zdencima u trijaskim karbonatima postignute su izdašnosti od nekoliko desetaka l/s. Kvartarne šljunkovito-pjeskovite taložine nalaze se u dolini Sutle i Krapine, ali nisu značajnog prostiranja niti debljine. Bušenim zdencima u ovim naslagama izdašnosti su manje od 5 l/s.

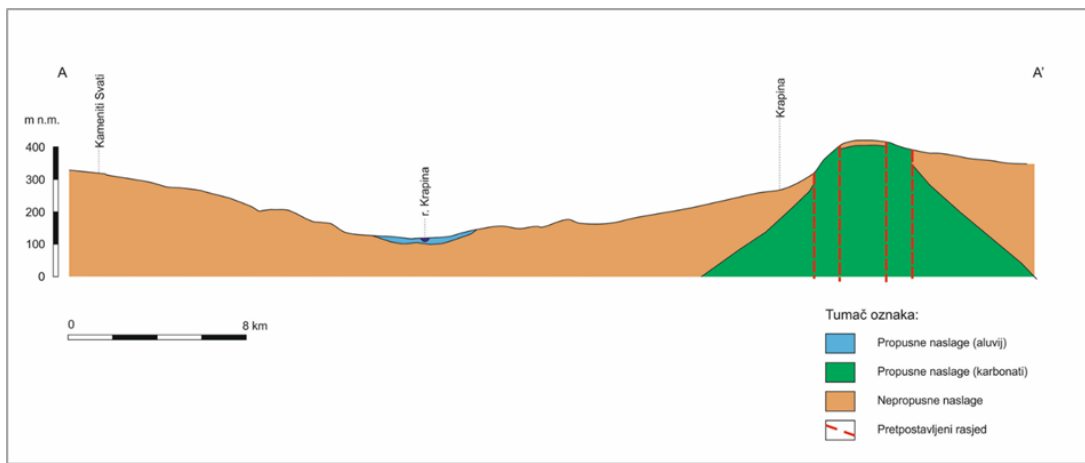
Osnovne hidrogeološke značajke shematski su prikazane na slikama 3-3, 3-4, i 3-5 te na prilozima 3 i 5.



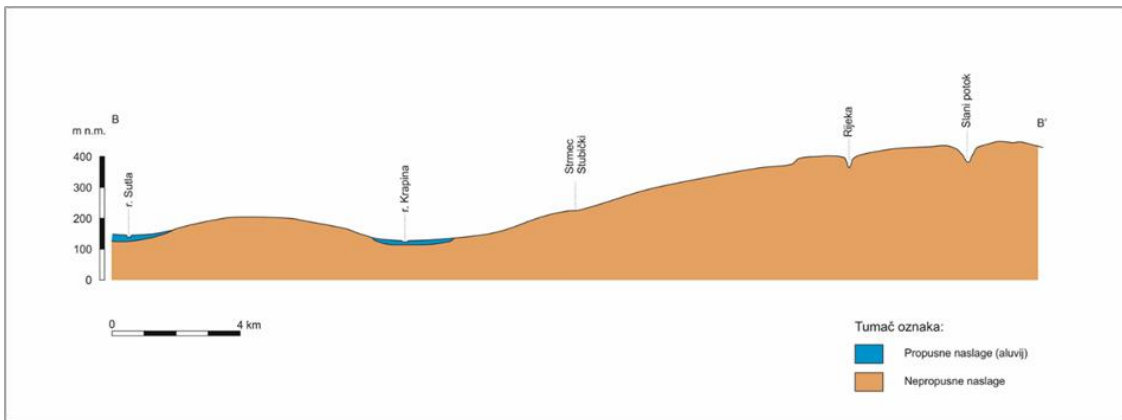
Slika 3-2. Lokacije izvora na području vodnog tijela Sliv Sutle i Krapine



Slika 3-3. Shematska hidrogeološka karta grupiranog vodnog tijela Sliv Sutle i Krapine (preuzeto iz Nakić i dr., 2016)



Slika 3-4. Uzdužni shematski hidrogeološki profil kroz grupirano vodno tijelo Sliv Sutle i Krapine (preuzeto iz Nakić i dr., 2016)



Slika 3-5. Poprečni shematski hidrogeološki profil kroz grupirano vodno tijelo Sliv Sutle i Krapine (preuzeto iz Nakić i dr., 2016)

Prema Nakić i dr. (2016) procijenjene obnovljive zalihe na području vodnog tijela iznose $8,20 \times 10^7 \text{ m}^3/\text{god}$ od čega se za javnu vodoopskrbu koristi svega $7,44 \times 10^6 \text{ m}^3/\text{god}$ ili 9,07%.

Glavna izvorišta za javnu vodoopskrbu u sustavu Zagorskog vodovoda su Lobor, Belečka Selnica, Mlačine – Grabari, Osreddek Desinički i Harina Zlaka.

Iзвориште Lobor je smješteno oko 4 km sjeverno od mjesta Lobor, na strukturi Ivanščice, oko 4 km zapadno od njenoga vrha. Voda iz srednje i gornjotrijaskih dolomita i vapnenaca se zahvaća kaptažom izvora i bušenim zdencem. Kapacitet ovog izvorišta je 150 l/s. To je prvo izvorište u sustavu Zagorskog vodovoda, čija je eksploracija započela 1965.g. Vodom iz ovog izvorišta opskrbljuju se općina Lobor, Mače, Bedekovčina, Sveti Križ Začretje, i dio općine Mihovljan, te gradovi Zlatar, Oroslavje, Zabok, te dio grada Donje Stubice.

Izvorište Belečka Selnica je smješteno oko 3 km sjeveroistočno od Belca, podno južnih obronaka Ivanščice. Lokacija izvora je na području prekrivenom sarmatskim laporima. Mala debljina ovih lapora, ispod kojih su badenski vapnenci, kao i intenzivna raspucanost taložina, omogućava većoj količini podzemne vode izlaz na površinu. Izvorište je na trasi rasjeda koji brazdi linijom Koštrun-Kuna Gora-Ivanščica i ima regionalni značaj. Moguće aktivne dionice ovog rasjeda omogućavaju podzemnoj vodi izlaz na površinu. Stoga, u neposrednoj blizini (par stotina metara) ima još nekoliko izvora kapaciteta i do 20 l/s. Kapacitet ovog izvorišta iznosi 30 l/s, a njegova eksploatacija započela je 2003.g. Uvođenjem ovog izvorišta u potpunosti su pokrivene potrebe vodom za ljudsku potrošnju istočnog prostora Krapinsko zagorske županije. Iz ovog izvorišta vodom se opskrbljuju općine Konjščina, Budinščina, Hraščina, Zlatar Bistrica, Marija Bistrica i dio grada Zlatara.

Izvorište Mlačine – Grabari je u vodoopskrbnom sustavu Zagorskog vodovoda od kraja 2009. godine. Kapacitet ovog izvorišta iznosi 20 l/s. Iz ovog izvorišta opskrbljuje se općina Novi Golubovec, te dio općine Lobor i Mihovljani.

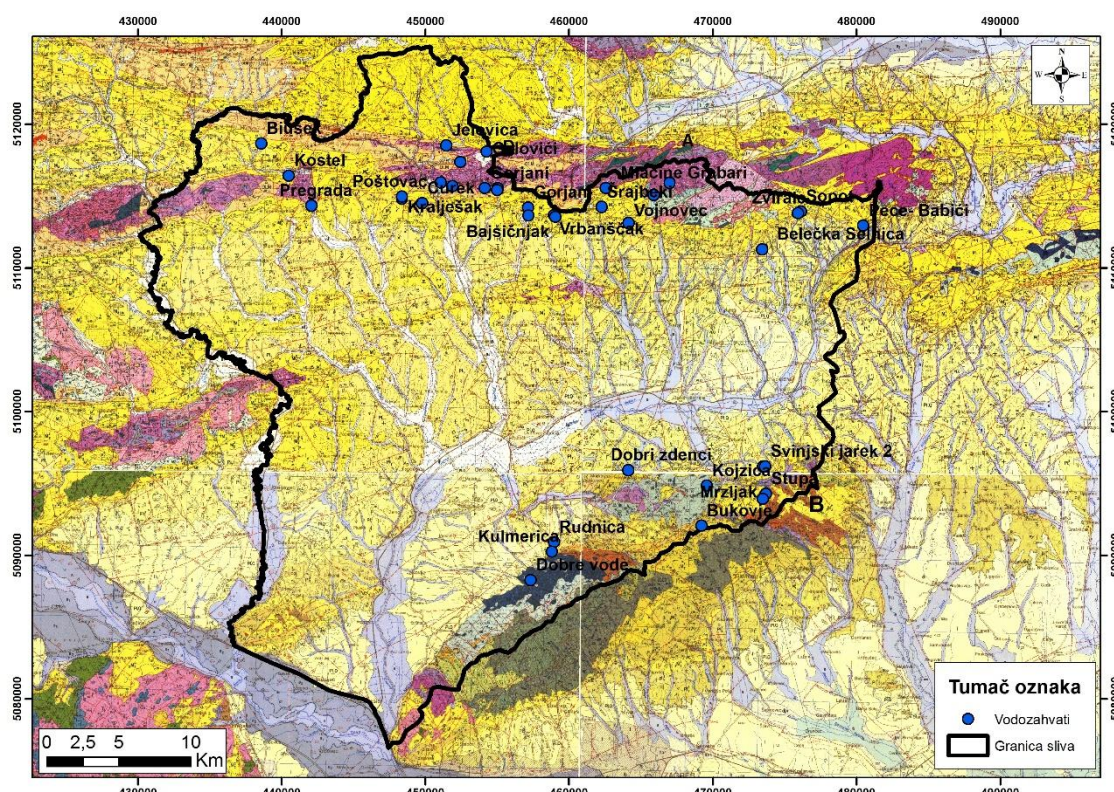
Izvorište Osredrek Desinički je u vodoopskrbni sustav Zagorskog vodovoda uvedeno 2014. godine. Kapacitet ovog izvorišta je 6 l/s, a iz ovog izvorišta vodom se opskrbljuje općina Desinić.

Harina Zlaka se nalazi u dolini Sutle. Izvorište je u vodoopskrbni sustav Zagorskog vodovoda uvedeno 2015.g. Kapacitet izvorišta je 20 l/s. Iz ovog izvorišta vodom se opskrbljuju općina Zagorska Sela, Kumrovec, dio općine Kraljevec na Sutli i dio grada Klanjca.

Osim vodoopskrbnog sustava Zagorskog vodovoda postoji niz lokalnih vodovoda koji koriste izvorišta uglavnom vezana za trijaske ili badenske vodonosnike na obroncima Ivanščice, Strahinjčice, Kuna gore, Maceljskog gorja i Medvednice (slika 4.1).

4. Hidrokemijska obilježja podzemne vode

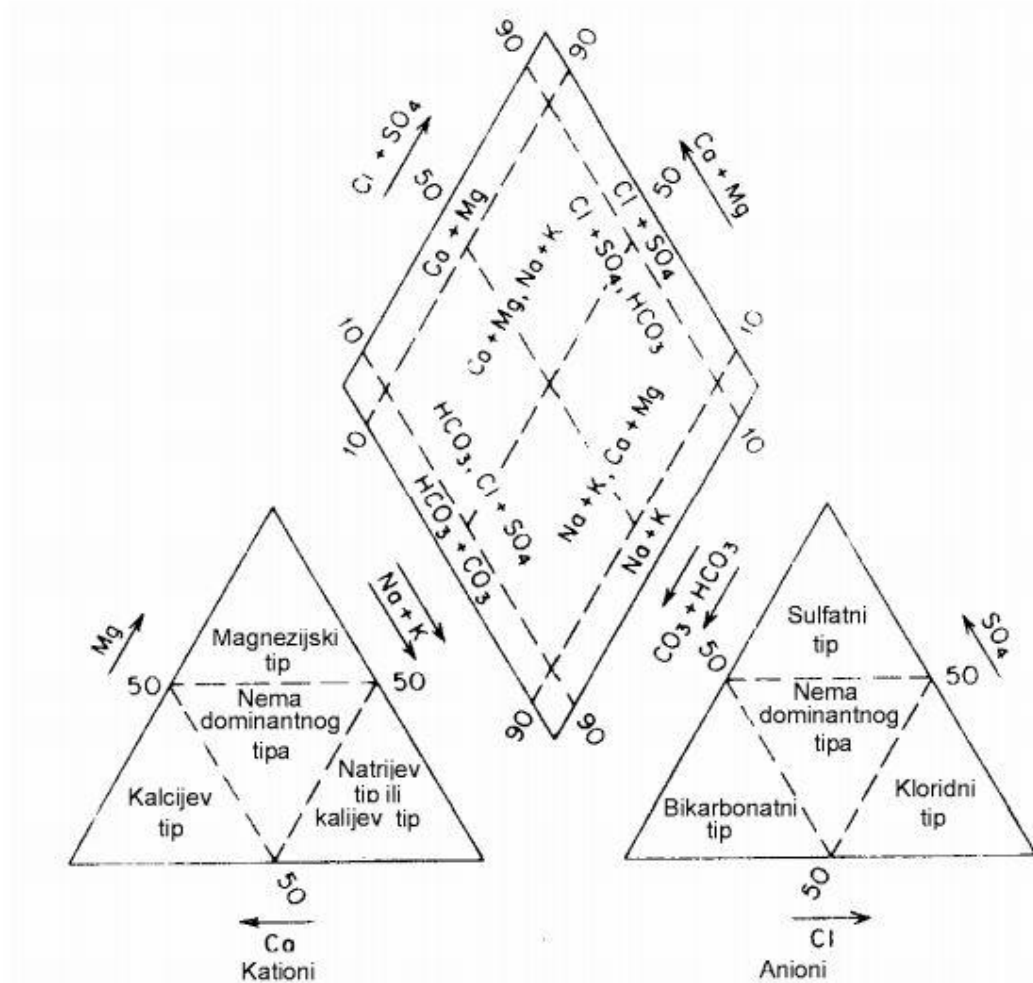
Za određivanje hidrokemijskih značajki voda na području vodnog tijela *Sliv Sutle i Krapine* korišteni su podaci kemijskih analiza vode sa izvorišta prikazanih na slici 4.1 u razdoblju od 2009. do 2013. godine. Podaci kemijskih analiza su preuzeti iz projekta *Definiranje trendova i ocjena stanja podzemnih voda na području panonskog dijela Hrvatske* koji je provodio Rudarsko-geološko-naftni fakultet za potrebe Hrvatskih voda (Nakić i dr., 2016).



Slika 4-1. Lokacije vodozahvata na kojima se prati kakvoća podzemne vode

U hidrogeologiji se za prikazivanje hidrogeokemijskih značajki vode često koristi Piperov dijagram. Čine ga dva trokuta, na desni trokut se nanose postotni udjeli ekvivalenta najvažnijih aniona (HCO_3^- , CO_3^{2-} , Cl^- , SO_4^{2-} i F^-), dok se u lijevi trokut nanose postotni udjeli ekvivalenta najvažnijih kationa (Ca^{2+} , Mg^{2+} , Na^+ i K^+). Romb koji se nalazi između ta dva trokuta je njihova kombinacija. Kationski facijes vode određuje jedna ili više točaka u trokutu kationa ovisno o broju podataka, te anionski jedna ili više točaka u trokutu aniona. Vode se prema kationima dijele na kalcijiske, magnezijiske i

natrijske, a prema anionima na hidrogenkarbonatne, kloridne i sulfatne, odnosno na sve moguće kombinacije kationskog i anionskog facijesa (slika 4-2). Voda pripada onom facijesu čiji sastojci pretežu u ukupnom sastavu otopljene tvari (Halle, 2004). Na temelju dobivenih rezultata može se zaključiti o litologiji vodonosnika za koji je izvorska voda vezana.



Slika 4-2. Prikaz vodnih facijesa u Piperovom dijagramu (preuzeto iz Halle, 2004))

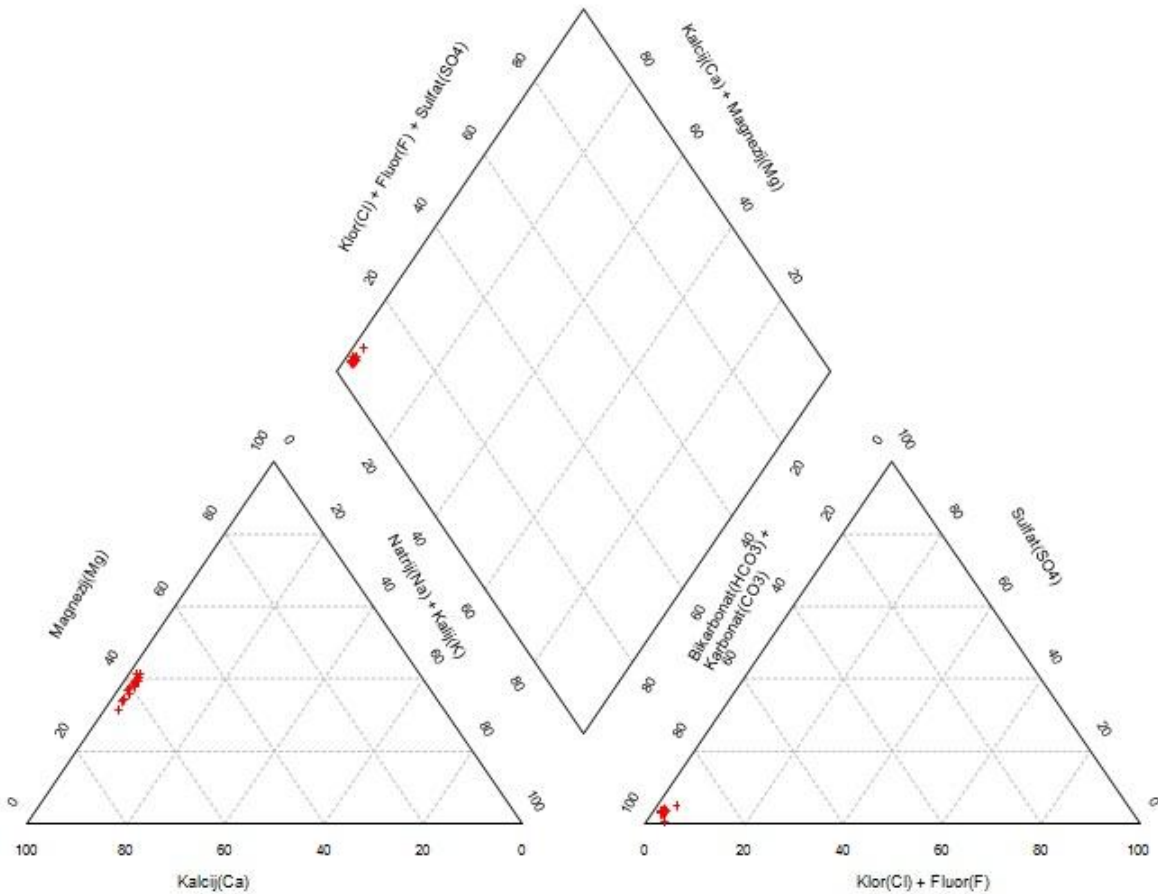
U ovom radu je za izradu Piperovih dijagrama korišten softver preuzet s web stranice nevada.usgs.gov/tech/excelforhydrology koji automatski preračunava sadržaj pojedinih iona izražen u miligramima/litri u postotne udjele ekvivalenta te grafički prikazuje.

Izvorište Belečka Selnica

Brojčani podaci o sadržaju glavnih kationa i aniona u vodi izvorišta Belečka Selnica su prikazani u tablici 4.1, a njihov smještaj u Piperovom dijagramu na slici 4-3.

Tablica 4-1. Kationi i anioni za izvorište Belečka Selnica

Datum uzimanja uzorka	Ca (mg/L)	Mg (mg/L)	Na (mg/L)	K (mg/L)	HCO ₃ (mg/L)	CO ₃ (mg/L)	Cl (mg/L)	SO ₄ (mg/L)	F (mg/L)
06.04.2009.	62,4	20,7	1,33	0,66	306,3	0	2,17	10,2	0,1
23.06.2009.	60,5	20,2	1,26	0,58	306	0	2,32	10,6	0,1
21.09.2009.	62,3	22,3	1,61	0,85	313	0	2,58	10,8	0,107
11.12.2009.	67,1	22,2	1,26	0,81	308,4	0	2,82	10,3	0,1066
10.02.2010.	65,9	24,3	1,02	0,78	315	0	2,2	9,72	0,1
11.05.2010.	66,4	19,4	1,49	0,99	296	0	5,58	14,6	0,1324
25.08.2010.	69,7	28,5	1,55	0,75	315	0	1,88	13,1	0,073
09.11.2010.	66,8	25,5	0,8	0,6	332	0	2,8	10,9	0,188
24.02.2011.	67,9	26,7	1,6	1,1	316	0	1,9	10	0,121
24.05.2011.	68,2	27,6	1,4	1	297	0	1,3	9,8	0,1
31.08.2011.	61,3	25,5	1,6	1	315	0	1,5	9,7	0,04
22.11.2011.	64	26,5	1,3	0,8	315	0	1,3	9,8	0,04
24.02.2012.	78,7	31,6	1,7	0,98	302	0	1,5	10,3	0,04
29.05.2012.	66,4	27,4	1,4	0,8	298	0	1,2	9,8	0,042
21.08.2012.	67	28,2	1,6	0,8	317	0	1,8	10,2	0,04
20.11.2012.	61,8	27,7	1,3	0,7	329	0	5,5	4	0,04
11.06.2013.	61,7	26,7	1,2	0,7	317	0	1,5	9,9	0,04
07.8.2013.	62,1	26,9	1,2	0,71	305	0	1,4	9,3	0,04
12.02.2013.	67,2	28,1	1,4	0,7	311	0	1,81	10,8	0,04
14.11.2013.	70,2	31,2	0,7	0,33	326	0	1,2	9,9	0,04



Slika 4-3. Piper dijagram za Belečka Selnica

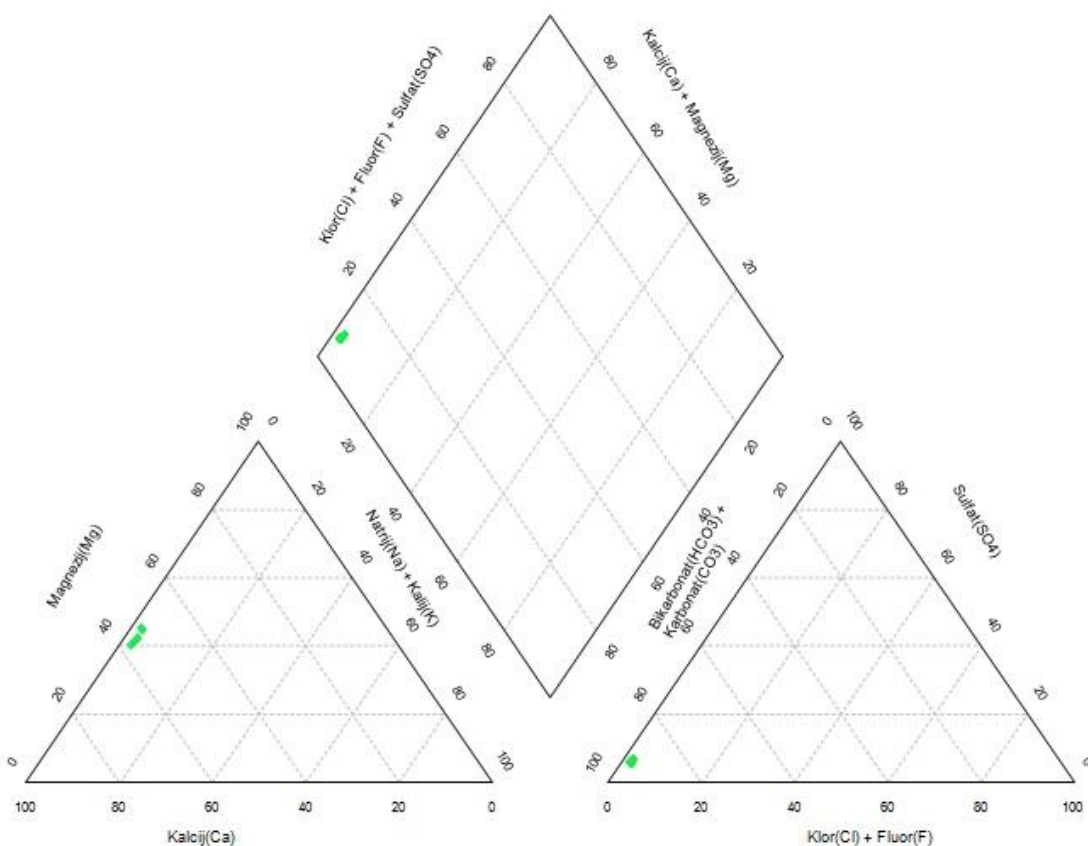
Podzemna voda na crpilištu Belačka Selnica (slika 4-3) pripada CaMg-HCO_3 (kalcijsko - magnezijsko hidrogenkarbonatnom facijesu. Ovakav hidrokemijski facijes je posljedica otapanja karbonata (vapnenaca i dolomita).

Izvořište Gorjak

Brojčani podaci o sadržaju glavnih kationa i aniona u vodi izvořišta Gorjak su prikazani u tablici 4.2, a njihov smještaj u Piperovom dijagramu na slici 4-4.

Tablica 4-2. Kationi i anioni za izvořište Gorjak

Datum uzimanja uzorka	Ca (mg/L)	Mg (mg/L)	Na (mg/L)	K (mg/L)	HCO_3 (mg/L)	CO_3 (mg/L)	Cl (mg/L)	SO_4 (mg/L)	F (mg/L)
16.12.2009.	66	30	2	0,79	334	0	3,1	16,3	0,1
30.07.2012.	65	34	2,3	0,81	342	0	2,6	18	0,1
11.10.2012.	65	28	1,7	0,73	342	0	2,2	18	0,1
06.12.2012.	61	29	2,2	0,72	330	0	3,1	20	0,1
18.07.2013.	63	33	1,6	0,77	339	0	2,1	18	0,1
10.12.2013.	64	30	2,2	0,74	324	0	3,1	19	0,0001



Slika 4-4. Piper dijagram za izvorište Gorjak

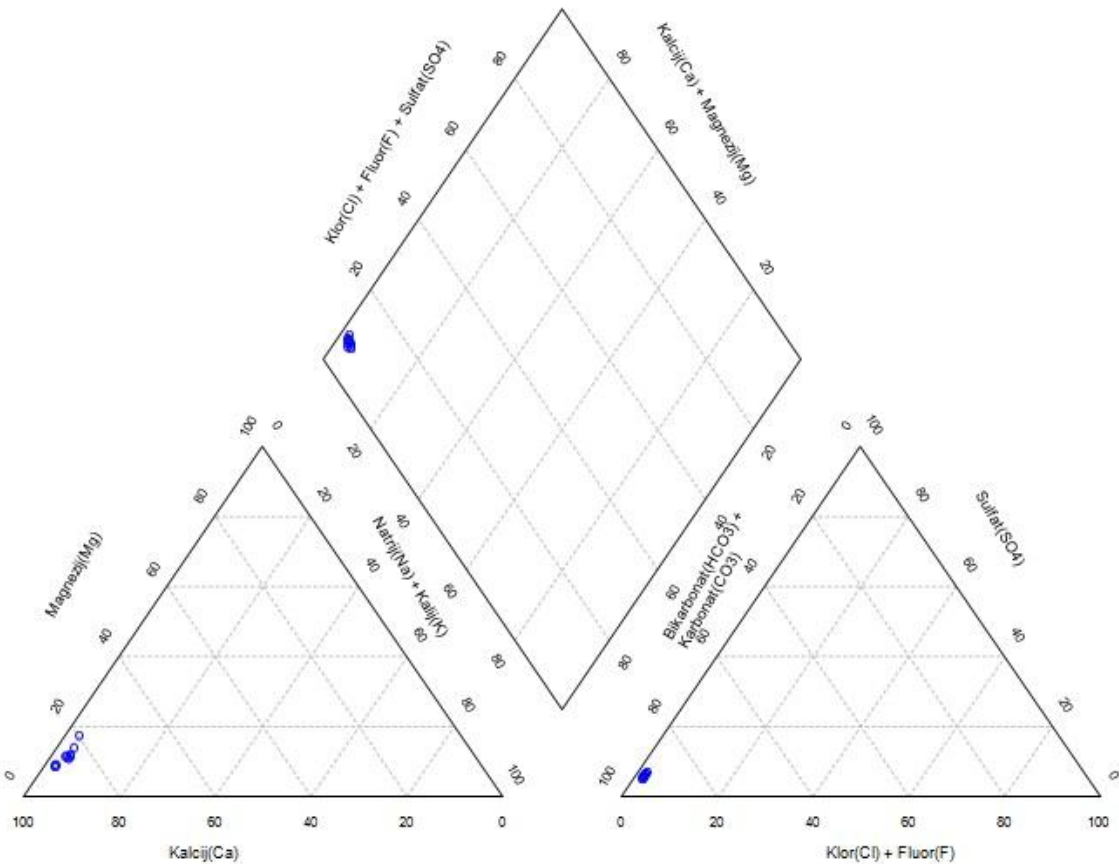
Podzemna voda na crpilištu Gorjak (slika 4-4) pripada CaMg-HCO₃ (kalcijsko - magnezijsko hidrogenkarbonatnom facijesu).

Izvorište Gorjani

Brojčani podaci o sadržaju glavnih kationa i aniona u vodi izvorišta Gorjani su prikazani u tablici 4.3, a njihov smještaj u Piperovom dijagramu na slici 4-5.

Tablica4-3. Kationi i anioni za izvorište Gorjani

Datum uzimanja uzorka	Ca (mg/L)	Mg (mg/L)	Na (mg/L)	K (mg/L)	HCO ₃ (mg/L)	CO ₃ (mg/L)	Cl (mg/L)	SO ₄ (mg/L)	F (mg/L)
18.06.2009.	103	8,9	4,2	0,82	358	0	1,9	18,8	0,1
15.10.2009.	102	9,3	3,5	0,94	336	0	1,8	20,2	0,1
20.4.2010.	105	14,1	2,6	1,4	366	0	2,2	21,9	0,188
22.11.2010.	80,52	8,45	2,5	0,8	355	0	1,9	17,5	0,133
31.03.2011.	116	7,4	2,1	0,85	341,8	0	2,1	19	0,157
04.04.2012.	139	8,5	2,2	0,82	339	0	2,3	20	0,1
11.10.2012.	100	8,3	3,7	1,1	366	0	2,6	19	0,1
18.03.2013.	111	7,1	1,5	0,97	348	0	2,7	22	0,199
18.07.2013.	99	8,3	2,3	0,86	351	0	1,9	20	0,1
24.10.2013.	103	8,9	2,7	0,99	348	0	2,4	18	0,16



Slika 4-5. Piper dijagram za izvoriste Gorjani

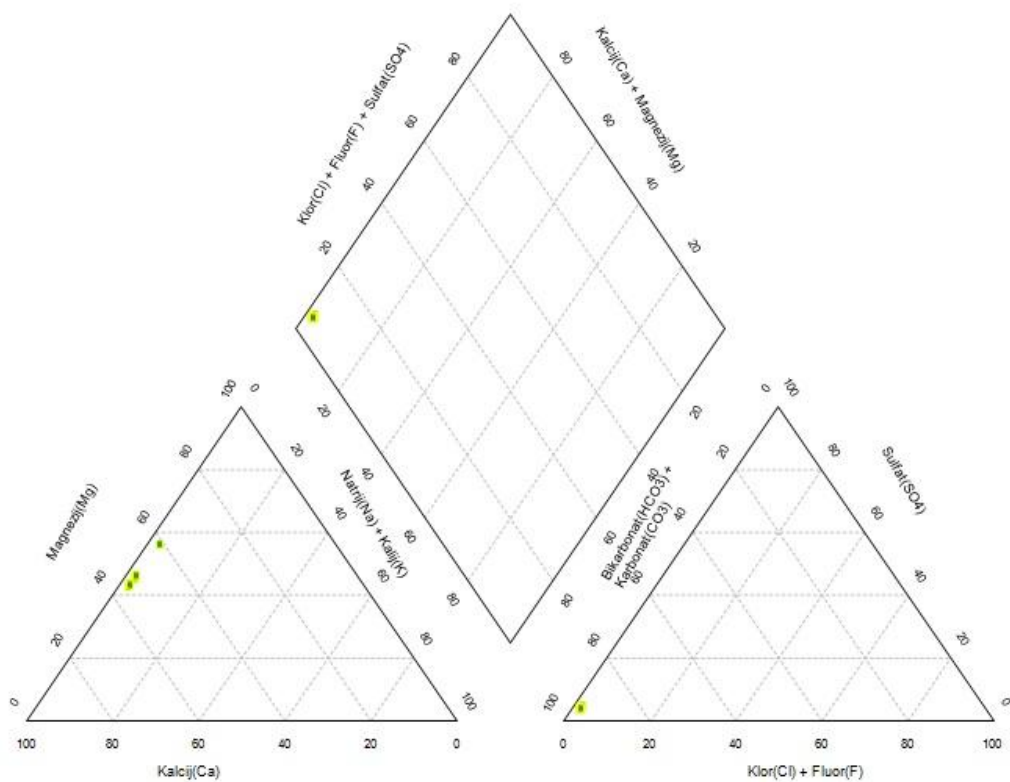
Podzemna voda na crpilištu Gorjani (slika 4-5) pripada $\text{Ca}-\text{HCO}_3$ (kalcijsko hidrogenkarbonatnom facijesu).

Izvoriste Grobotek

Brojčani podaci o sadržaju glavnih kationa i aniona u vodi izvorišta Grobotek su prikazani u tablici 4-4, a njihov smještaj u Piperovom dijagramu na slici 4-6.

Tablica 4-4. Kationi i anioni za izvoriste Grobotek

Datum uzimanja uzorka	Ca (mg/L)	Mg (mg/L)	Na (mg/L)	K (mg/L)	HCO_3 (mg/L)	CO_3 (mg/L)	Cl (mg/L)	SO_4 (mg/L)	F (mg/L)
31.03.2009.	42	34,7	1,7	0,93	406	0	2,5	16,8	0,1
30.07.2012.	79	42	1,8	0,96	427	0	2,5	16	0,1
11.10.2012.	76	37	1,8	0,91	418	0	2,5	16	0,122
06.12.2012.	73	36	1,5	0,88	421	0	2,7	17	0,1
18.03.2013.	73	40	1,8	0,94	415	0	2,8	18	0,1
07.05.2013.	75	40	1,7	0,93	409	0	2,9	17	0,136
18.07.2013.	74	41	1,7	0,95	473	0	2,8	17	0,01
28.10.2013.	78	37	1,6	0,93	421	0	2,6	16	0,1
10.12.2013.	76	37	1,7	0,89	415	0	2,6	16	0,1



Slika 4-6. Piper dijagram za izvorište Grobotek

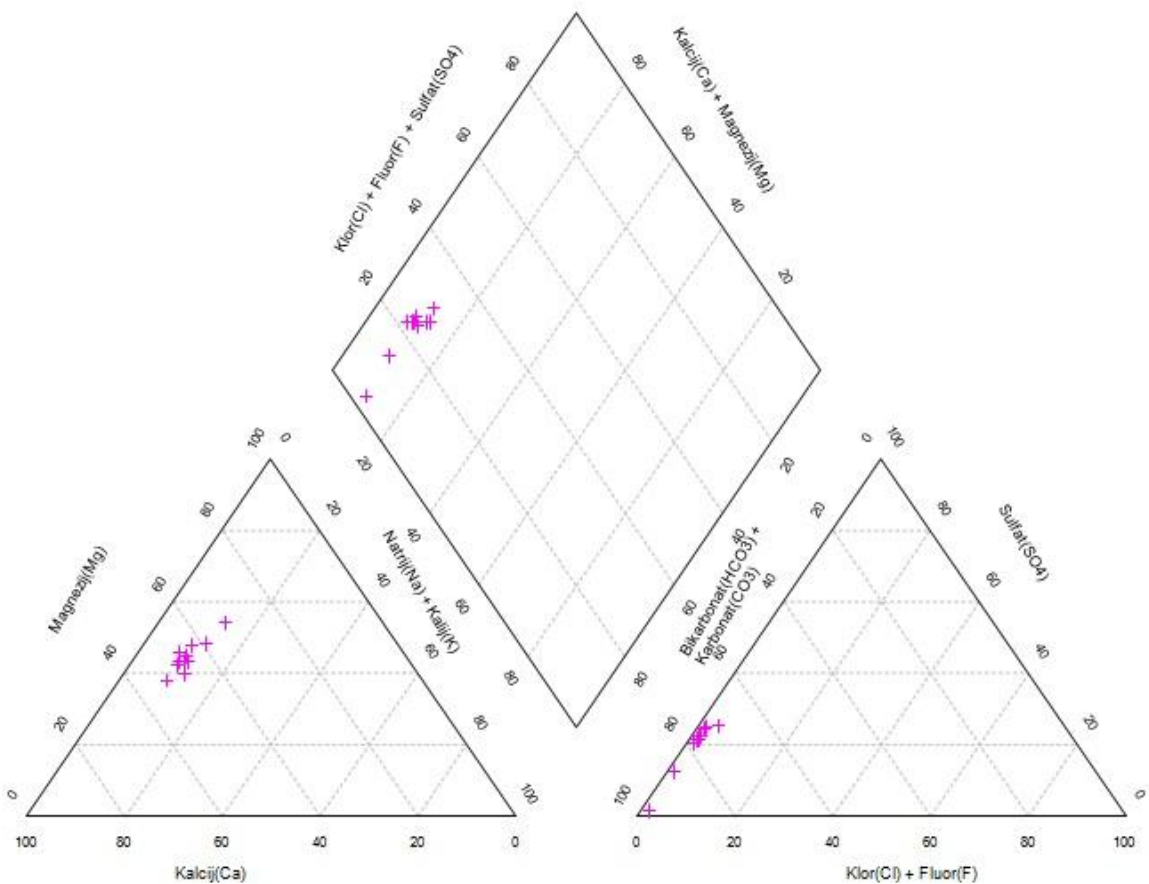
Podzemna voda na crpilištu Grobotek (slika 4-6) pripada $\text{CaMg}-\text{HCO}_3$ (kalcijsko - magnezijsko - hidrogenkarbonatnom tipu vode).

Izvorište Kostel

Brojčani podaci o sadržaju glavnih kationa i aniona u vodi izvorišta Kostel su prikazani u tablici 4-5, a njihov smještaj u Piperovom dijagramu na slici 4-7.

Tablica 4-5. Kationi i anioni za izvorište Kostel

Datum uzimanja uzorka	Ca (mg/L)	Mg (mg/L)	Na (mg/L)	K (mg/L)	HCO_3 (mg/L)	CO_3 (mg/L)	Cl (mg/L)	SO_4 (mg/L)	F (mg/L)
26.03.2010.	59,78	36	13,98	0,91	353,8	0	2,6	80,3	0,1
18.08.2010.	60,4	45,45	20,4	1,3	372,1	0	2,2	97,29	0,11
22.10.2010.	43	43,6	18,82	1,3	390	0	3,3	105,92	0,0981
09.03.2011.	80	46	19	1,3	597	0	3,8	8,8	0,13
01.06.2011.	57	33	15	0,98	372	0	1,9	87	0,112
07.09.2011.	79	35	15	1,1	697	0	3,1	82	0,125
27.12.2011.	85	52	16	0,96	402	0	2,1	85	0,1
08.03.2012.	58	40	14	0,87	372	0	2,8	83	0,1
13.06.2012.	77	43	16	1,2	391	0	2,2	87	0,1
05.09.2012.	83	45	17	1,2	375	0	3,2	90	0,1
05.12.2012.	78	40	21	1,1	403	0	11	115	0,1



Slika 4-7. Piper dijagram za izvorište Kostel

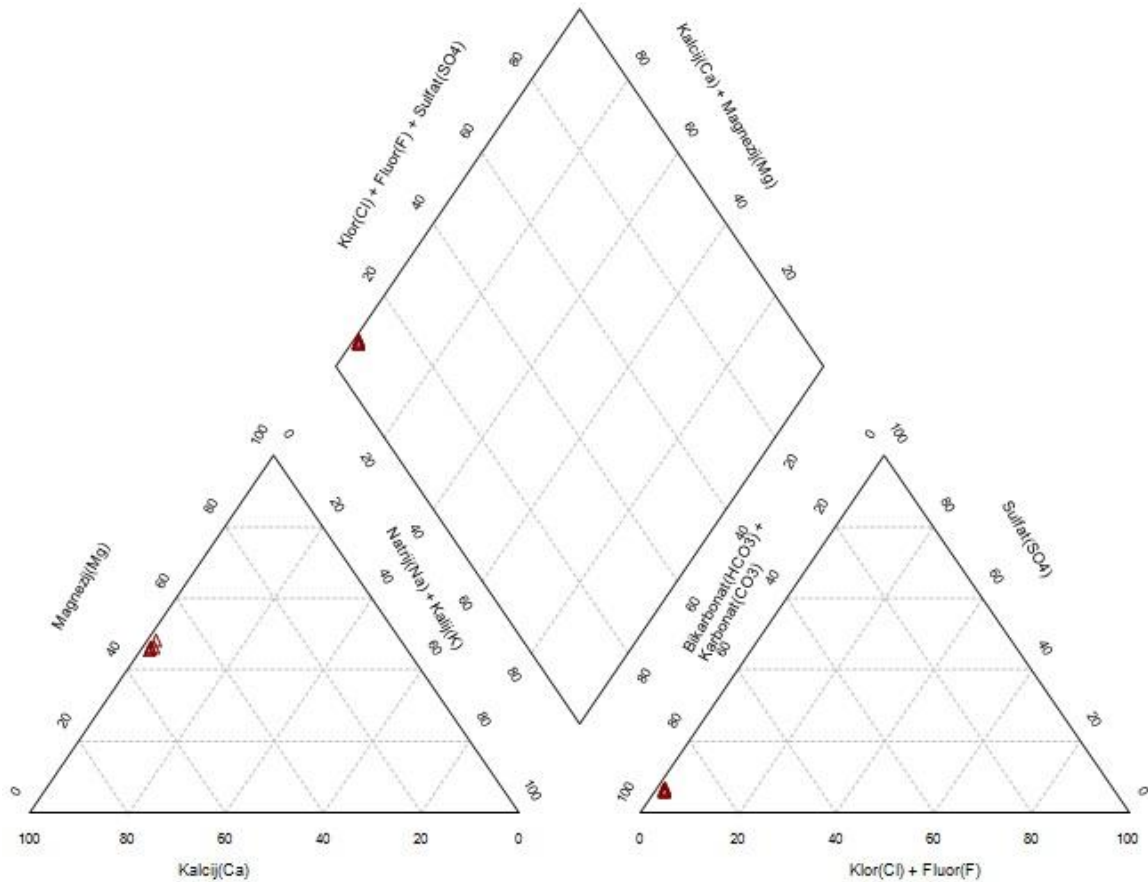
Podzemna voda na crpilištu Kostel (slika 4-7) pripada CaMg-HCO₃ (kalcijsko-magnezijsko hidrogenkarbonatnom facijesu).

Izvorište Podgora

Brojčani podaci o sadržaju glavnih kationa i aniona u vodi izvorišta Podgora su prikazani u tablici 4.6, a njihov smještaj u Piperovom dijagrame na slici 4-8.

Tablica 4-6. Kationi i anioni za izvorište Podgora

Datum uzimanja uzorka	Ca (mg/L)	Mg (mg/L)	Na (mg/L)	K (mg/L)	HCO ₃ (mg/L)	CO ₃ (mg/L)	Cl (mg/L)	SO ₄ (mg/L)	F (mg/L)
18.06.2009.	56	31	1,54	0,4	310	0	1,5	18,7	0,1
30.07.2012.	56	33	0,97	0,55	317	0	2,1	18	0,1
11.10.2012.	55	29	0,87	0,5	311	0	2	18	0,102
06.12.2012.	53	29	0,77	0,48	299	0	1,9	19	0,1
28.10.2013.	57	30	0,73	0,47	324	0	1,9	18	0,1
10.12.2013.	56	30	0,75	0,49	305	0	1,9	18	0,1



Slika4-8. Piper dijagram za izvorešte Podgora

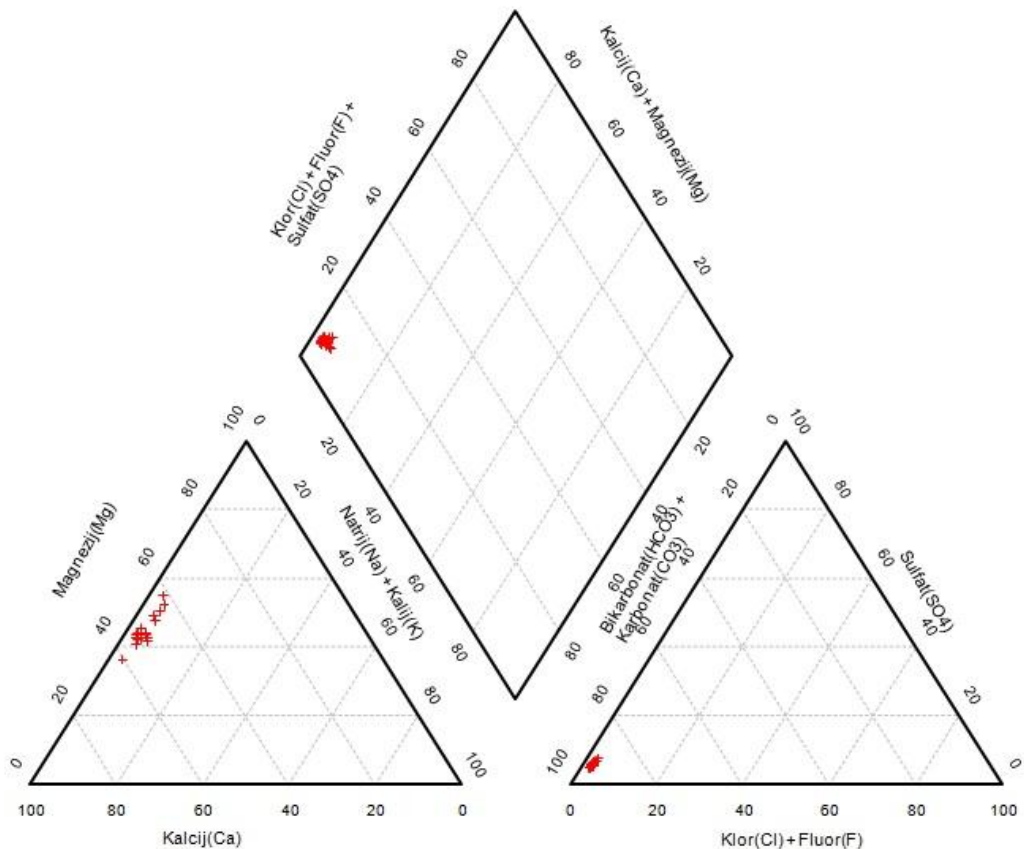
Podzemna voda na crpilištu Podgora (slika 4-8) pripada CaMg-HCO_3 (kalcijsko - magnezijsko hidrogenkarbonatnom facijesu.

Izvorešte Pregrada

Brojčani podaci o sadržaju glavnih kationa i aniona u vodi izvorišta Pregrada su prikazani u tablici 4-7, a njihov smještaj u Piperovom dijagramu na slici 4-9.

Tablica 4-7. Kationi i anioni za izvoriste Pregrada

Datum uzimanja uzorka	Ca (mg/L)	Mg (mg/L)	Na (mg/L)	K (mg/L)	HCO ₃ (mg/L)	CO ₃ (mg/L)	Cl (mg/L)	SO ₄ (mg/L)	F (mg/L)
18.06.2009.	75	37	5,7	0,93	425	0	4,9	20,8	0,1
16.12.2009.	84	38	5,8	1,3	428	0	5,5	21	0,1
26.03.2010.	66	42	5,5	1	433	0	5,8	26,7	0,1
16.07.2010.	61	41,6	6,08	1,2	387,4	0	5,13	23,01	0,09
27.09.2010.	53,3	39,5	5,9	1,13	427	0	5,64	22,19	0,07
21.12.2010.	61,3	38	6,4	1,3	369	0	5,91	24,53	0,1264
09.03.2011.	87	42	4,5	1,1	427,1	0	4,7	22	0,11
01.06.2011.	63	30	4,3	1	436	0	5,3	23	0,1
07.09.2011.	90	33	4,5	0,92	394	0	4,8	22	0,105
27.12.2011.	90	48	4,7	0,88	418	0	4,7	21	0,1
08.03.2012.	60	48	4,6	0,78	439	0	4,3	19	0,1
13.06.2012.	82	43	7	1,1	391	0	4,6	21	0,1
05.09.2012.	81	42	7,5	1,2	439	0	5,1	21	0,1
19.12.2012.	76	37	9,5	1,2	436	0	5,2	23	0,1
21.03.2013.	79	40	8,7	1,2	427	0	6	21	0,128
05.06.2013.	77	38	3,8	0,9	415	0	4,3	17	0,131
04.09.2013.	83	42	4,3	0,99	427	0	4,4	19	0,1
09.12.2013.	79	38	4,6	1	415	0	4,6	20	0,1



Slika 4-9. Piper dijagram za izvoriste Pregrada

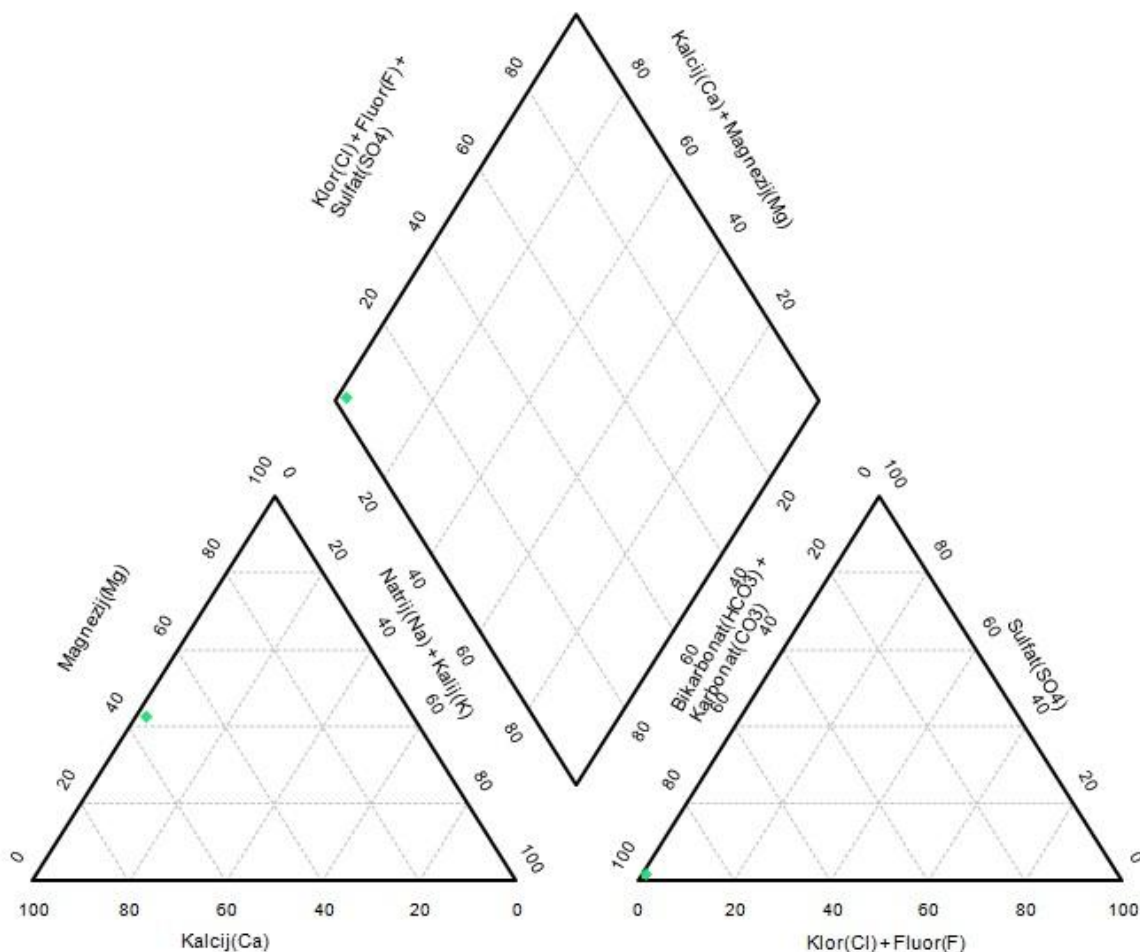
Podzemna voda na crpilištu Pregrada (slika 4-9) pripada $\text{CaMg}-\text{HCO}_3$ do MgCaHCO_3 (kalcijsko-magnezijskom hidrogenkarbonatnom do magnezijsko-kalcijskom hidrogenkarbonatnom facijesu).

Izvoriste Pregrada – zdenac B2

Brojčani podaci o sadržaju glavnih kationa i aniona u vodi zdenca B2 u Pregradu su prikazani u tablici 4-8, a njihov smještaj u Piperovom dijagramu na slici 4-10.

Tablica 4-8. Kationi i anioni u vodi zdenca B2 u Pregradi

Datum uzimanja uzorka	Ca (mg/L)	Mg (mg/L)	Na (mg/L)	K (mg/L)	HCO_3 (mg/L)	CO_3 (mg/L)	Cl (mg/L)	SO_4 (mg/L)	F (mg/L)
05.06.2013.	78	37	2,8	1	424	0	2	6,2	0,1



Slika 4-10. Piper dijagram za izvoriste Pregrada, zdenac B2

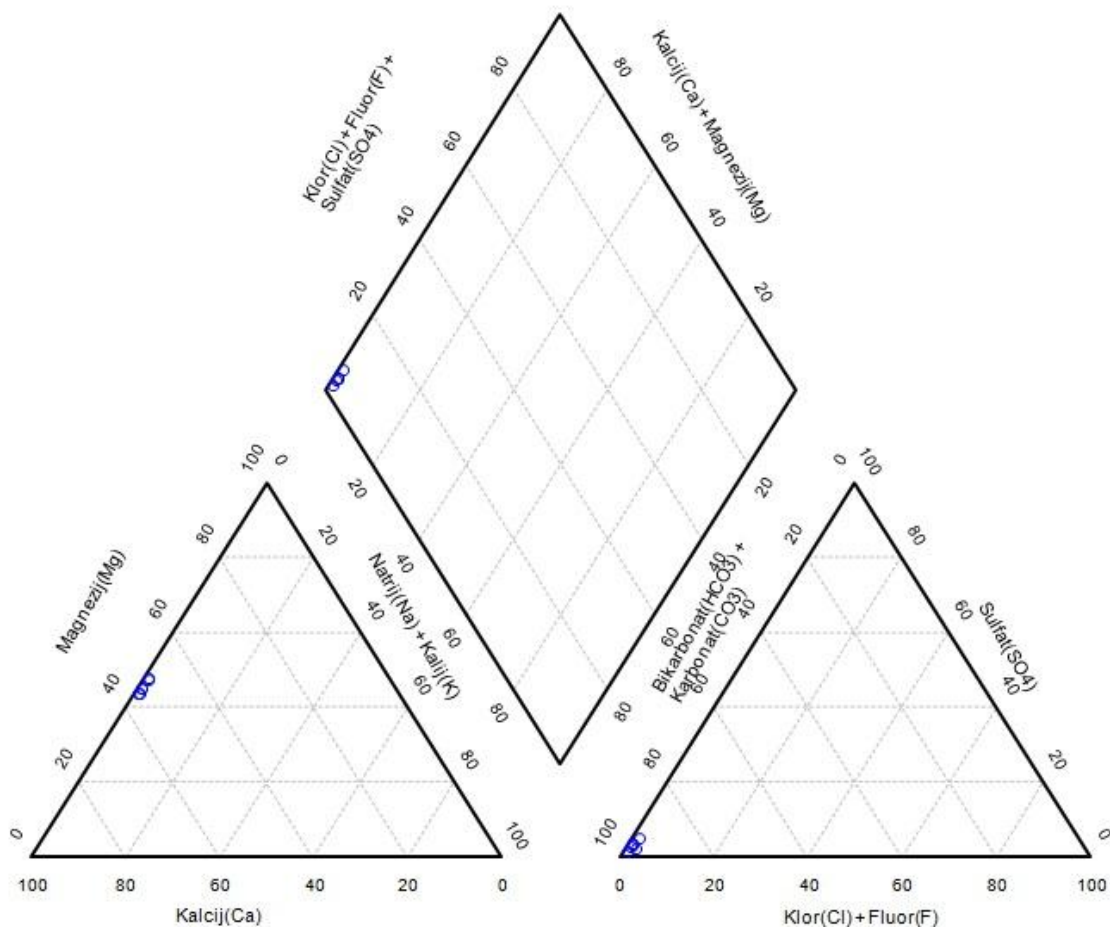
Podzemna voda u zdencu B2 u Pregradu (slika 4-10) pripada $\text{CaMg}-\text{HCO}_3$ (kalcijsko - magnezijsko hidrogenkarbonatnom facijesu).

Izvoriste Strahinje

Brojčani podaci o sadržaju glavnih kationa i aniona u vodi izvorišta Strahinje su prikazani u tablici 4-9, a njihov smještaj u Piperovom dijagramu na slici 4-11.

Tablica 4-9. Kationi i anioni za izvorište Strahinje

Datum uzimanja uzoraka	Ca (mg/L)	Mg (mg/L)	Na (mg/L)	K (mg/L)	HCO ₃ (mg/L)	CO ₃ (mg/L)	Cl (mg/L)	SO ₄ (mg/L)	F (mg/L)
16.09.2009.	60	28,6	0,9	0,45	287	0	1,4	6,5	0,1
30.07.2012.	50	28	1	0,36	293	0	1,4	7,9	0,1
11.10.2012.	52	25	0,98	0,44	305	0	3,7	5,8	0,1
06.12.2012.	49	25	0,72	0,38	293	0	1,6	8,3	0,1
18.03.2013.	58	33	1,1	0,38	330	0	3,1	14	0,101
10.12.2013.	53	27	0,83	0,43	598	0	2,6	7,4	0,0001



Slika 4-11. Piper dijagram za izvorište Strahinje

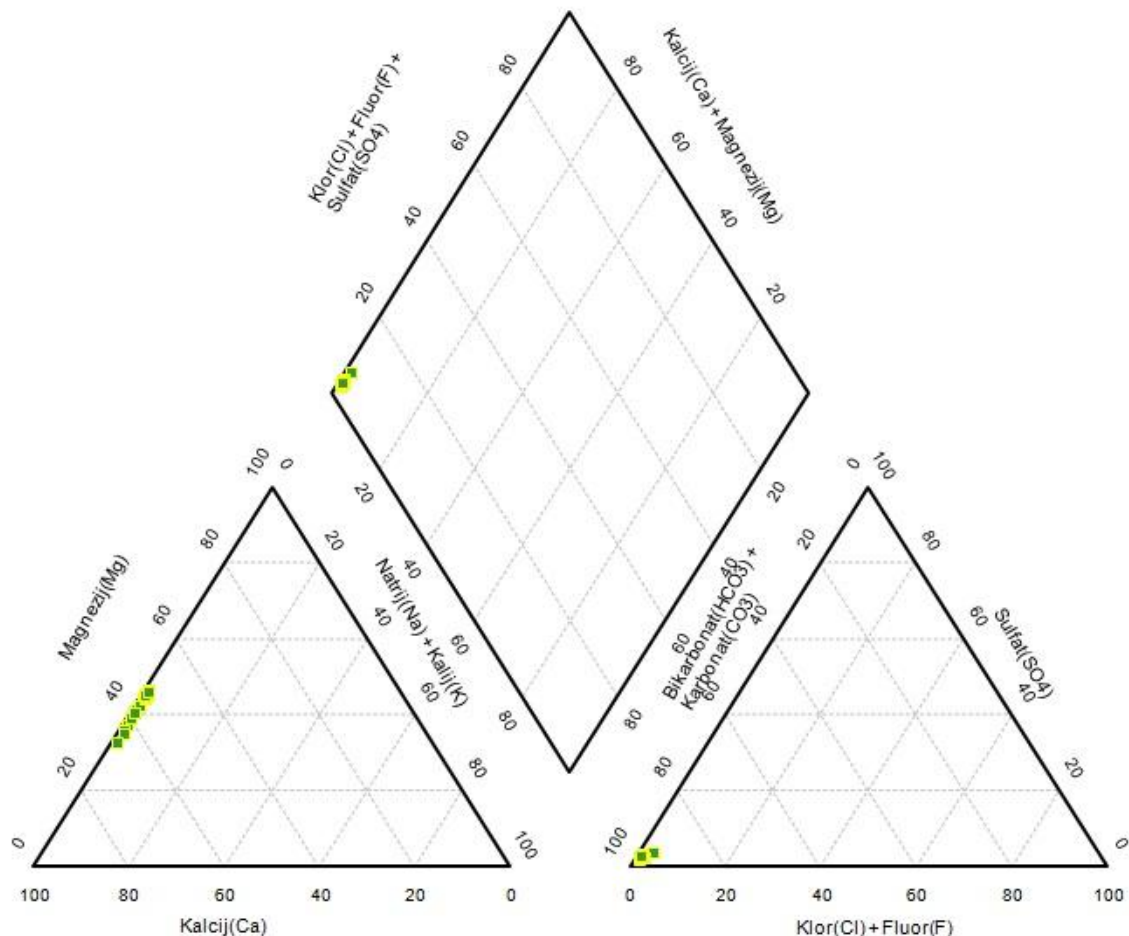
Podzemna voda na crpilištu Strahinje (slika 4-11) pripada CaMg-HCO₃ (kalcijsko-magnezijsko hidrogenkarbonatnom facijesu).

Izvorište Lobor – otvoreni zahvat

Brojčani podaci o sadržaju glavnih kationa i aniona u vodi izvora Lobor su prikazani u tablici 4-10, a njihov smještaj u Piperovom dijagramu na slici 4-12.

Tablica 4-10. Kationi i anioni za izvorište Lobor, otvoreni zahvat

Datum uzimanja uzorka	Ca (mg/L)	Mg (mg/L)	Na (mg/L)	K (mg/L)	HCO ₃ (mg/L)	CO ₃ (mg/L)	Cl (mg/L)	SO ₄ (mg/L)	F (mg/L)
06.04.2009.	54,8	18,8	0,6	0,35	283,8	0	1,67	6,73	0,1
23.06.2009.	53,9	19,8	0,58	0,4	282	0	1,74	6,16	0,1
21.09.2009.	57,1	24,3	0,55	0,34	308	0	2,25	6,73	0,1
11.12.2009.	63,1	22	0,58	0,55	302,4	0	2,02	6,7	0,1
10.02.2010.	61,5	24,6	0,54	0,48	297	0	1,7	6,28	0,1
11.05.2010.	60,6	20,3	0,84	0,69	287	0	4,16	9,54	0,392
25.08.2010.	62,6	30,5	0,71	0,46	303	0	1,18	7,46	0,03
09.11.2010.	61,3	26,6	0,5	0,3	301	0	2,3	6,9	0,147
24.02.2011.	61,9	28,2	0,9	0,8	300	0	1,8	6,5	0,1
24.05.2011.	61	31,4	0,7	0,4	291	0	0,7	8,7	0,1
31.08.2011.	53,1	27,3	0,7	0,5	309	0	0,8	6,9	0,04
22.11.2011.	56,6	29,4	0,7	0,5	309	0	0,8	8,2	0,04
24.02.2012.	69,1	34	0,88	0,8	302	0	1,1	6,4	0,04
29.05.2012.	57,3	30	0,7	0,6	292	0	1	8,4	0,04
21.08.2012.	62,4	31	0,8	0,58	323	0	1,3	5,5	0,04
20.11.2012.	68,6	34,8	0,8	0,6	323	0	1,1	8,4	0,04
11.06.2013.	57	30,7	0,7	0,4	311	0	0,9	6	0,04
12.02.2013.	59,5	25,1	0,7	0,43	287	0	1,02	6,37	0,04
24.09.2013.	56	29,5	0,7	0,3	317	0	0,94	9,3	0,04
14.11.2013.	62,2	18,7	0,71	0,54	282	0	1	6,8	0,04



Slika 4-12. Piper dijagram za izvorište Lobor, otvoreni zahvat

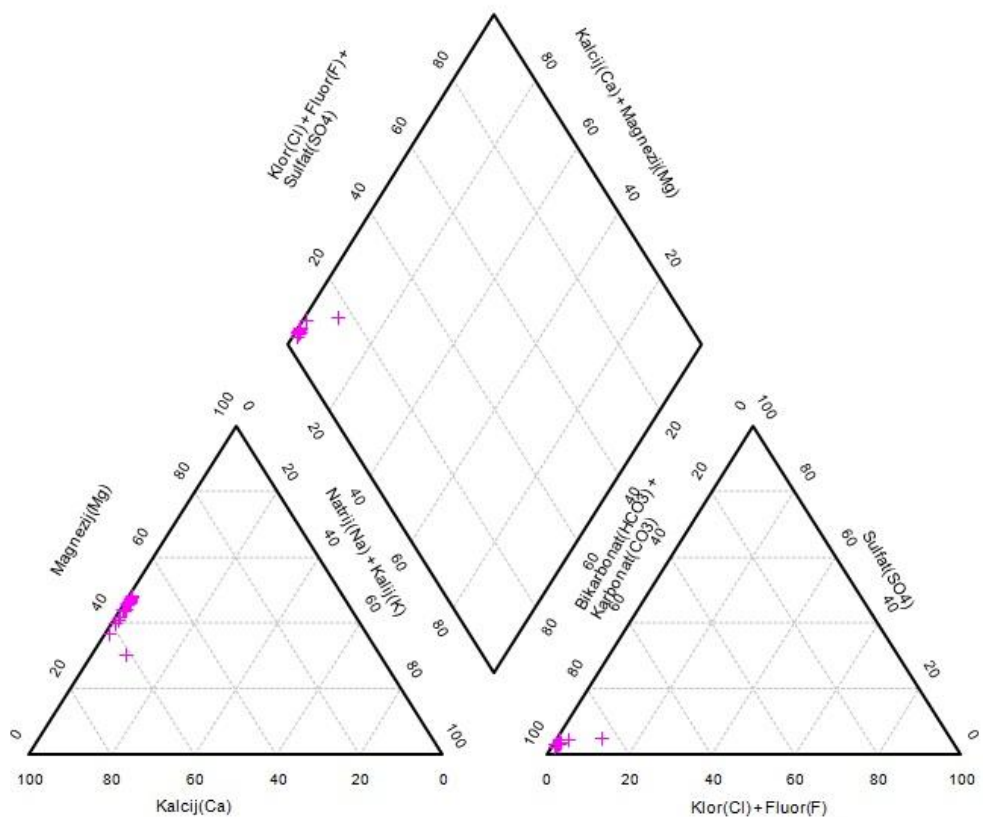
Podzemna voda na izvorištu Lobor, otvoreni zahvat (slika 4-12) pripada CaMg-HCO₃ (kalcijjsko - magnezijjsko hidrogenkarbonatnom facijesu).

Izvořište Lobor – zatvoreni zahvat

Brojčani podaci o sadržaju glavnih kationa i aniona u vodi zdenca u Loboru su prikazani u tablici 4-11, a njihov smještaj u Piperovom dijagramu na slici 4-13.

Tablica 4-11. Kationi i anioni za izvořište Lobor, zatvoreni zahvat

Datum uzimanja uzorka	Ca (mg/L)	Mg (mg/L)	Na (mg/L)	K (mg/L)	HCO ₃ (mg/L)	CO ₃ (mg/L)	Cl (mg/L)	SO ₄ (mg/L)	F (mg/L)
06.04.2009.	56,6	24,4	0,52	0,32	294,2	0	1,71	8,53	0,1
23.06.2009.	74,3	22,4	9,67	2,2	299	0	21,7	15,1	0,1
21.09.2009.	55,2	24,7	0,43	0,24	299	0	2,71	9,61	0,1
11.12.2009.	58,8	24,2	0,4	0,41	293,9	0	2,03	9,42	0,1
10.02.2010.	55,7	32,1	0,5	0,2	293	0	1,72	8,33	0,1
11.05.2010.	60,1	21,7	0,52	0,49	290	0	4,72	12,5	0,1
25.08.2010.	60,5	31,9	0,64	0,33	299	0	1,19	11,7	0,02
09.11.2010.	58,9	28,8	0,5	0,2	315	0	2,4	9,3	0,14
24.02.2011.	60,1	29,5	0,8	0,7	304	0	1,5	8,8	0,1
24.05.2011.	65,8	31,5	1	0,6	291	0	0,9	6,1	0,1
31.08.2011.	54	28,4	0,6	0,4	302	0	1	9	0,04
22.11.2011.	56,6	29,8	0,7	0,5	302	0	0,8	9	0,04
24.02.2012.	57,3	31	0,7	0,55	304	0	1	8,8	0,04
29.05.2012.	57,5	30,3	0,7	0,5	292	0	1	8,7	0,04
21.08.2012.	60,5	31,3	0,7	0,48	310	0	1,2	9	0,04
20.11.2012.	63,7	35,9	0,7	0,4	310	0	1,3	8,8	0,04
11.06.2013.	55,3	30,7	0,7	0,3	311	0	0,9	8,6	0,04
24.09.2013.	55	30,2	0,7	0,32	311	0	0,92	9,5	0,04
12.02.2013.	56,3	32,2	0,7	0,32	287	0	0,97	8,22	0,04
14.11.2013.	55,1	29,8	0,7	0,34	313	0	1,1	9,3	0,04



Slika 4-13. Piper dijagram za izvorešte Lobor, zatvoreni zahvat

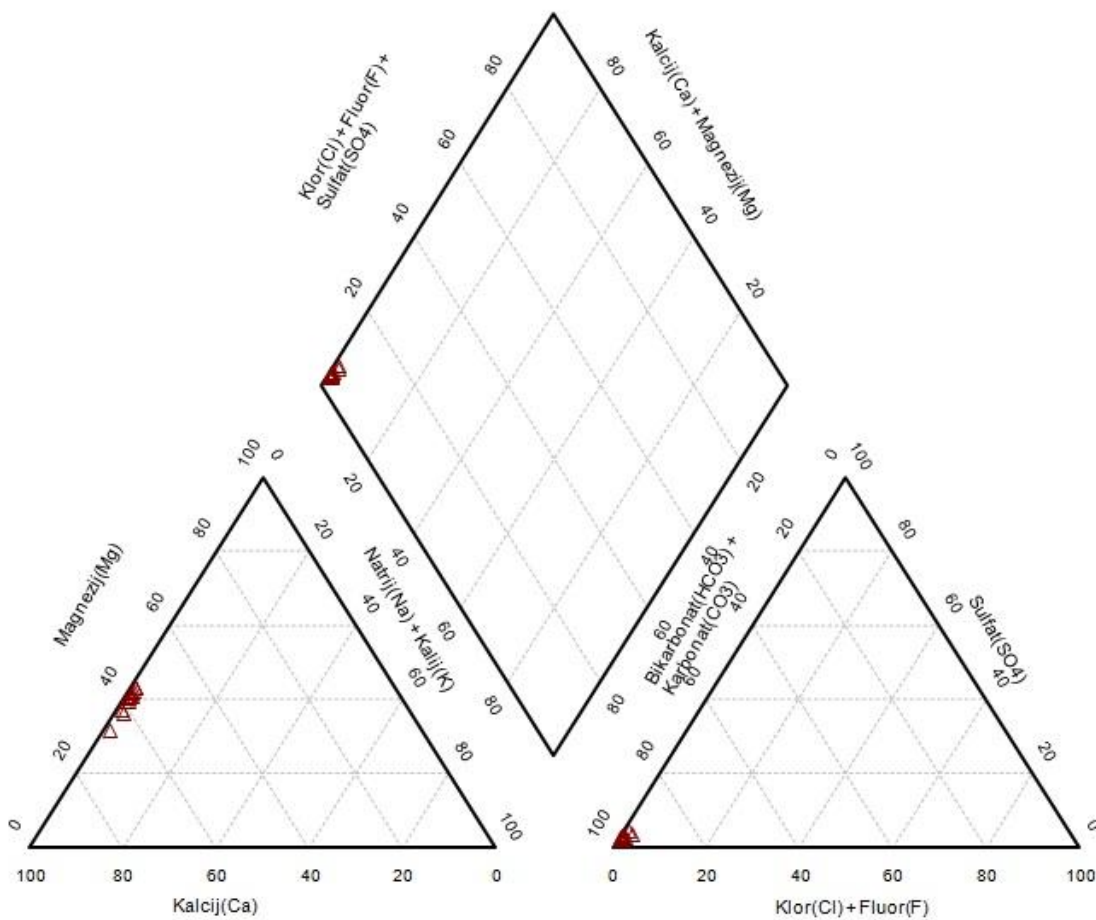
Podzemna voda na crpilištu Lobor, zatvoreni zahvat (slika 4-13) pripada CaMg-HCO₃ (kalcijsko - magnezijsko hidrogenkarbonatnom facijesu).

Izvoriste Mlačine grabari

Brojčani podaci o sadržaju glavnih kationa i aniona u vodi izvorišta Mlačine grabari su prikazani u tablici 4-12, a njihov položaj u Piperovom dijagramu na slici 4-14.

Tablica 4-12. Kationi i anioni za izvorište Mlačine grabari

Datum uzimanja uzorka	Ca (mg/L)	Mg (mg/L)	Na (mg/L)	K (mg/L)	HCO ₃ (mg/L)	CO ₃ (mg/L)	Cl (mg/L)	SO ₄ (mg/L)	F (mg/L)
10.02.2010.	73,8	27,3	0,54	0,44	343	0	1,79	7,38	0,1
11.05.2010.	74,1	21,7	0,73	0,54	346	0	4,86	11,1	0,1091
25.08.2010.	76,8	33,4	0,82	0,46	357	0	1,23	10,9	0,021
09.11.2010.	73,8	29,6	0,3	0,3	364	0	2,4	8,5	0,149
24.02.2011.	75,7	30,7	1	0,8	365	0	1,5	8,6	0,1
24.05.2011.	81,2	34,1	0,8	0,5	347	0	0,7	7,1	0,1
31.08.2011.	68,8	29,8	1	0,6	365	0	1,2	8,2	0,04
22.11.2011.	72	31	0,8	0,5	365	0	0,8	8,2	0,04
24.02.2012.	73,5	31,9	0,78	0,48	347	0	0,86	8,1	0,04
29.05.2012.	74,4	32,2	0,8	0,5	353	0	0,8	9,1	0,04
21.08.2012.	69	32,7	0,7	0,4	355	0	1,3	8,9	0,04
20.11.2012.	69,6	32,8	0,7	0,4	384	0	1,7	9,6	0,04
11.06.2013.	70	31,9	0,7	0,3	352	0	1	8,8	0,04
24.09.2013.	69,3	31,2	0,7	0,3	346	0	0,9	8,4	0,04
12.02.2013.	70,7	33,4	0,7	0,34	347	0	0,99	8,07	0,04
14.11.2013.	69,4	25	1,5	0,7	325	0	2,5	12,9	0,047



Slika 4-14. Piper dijagram za izvorište Mlačine grabari

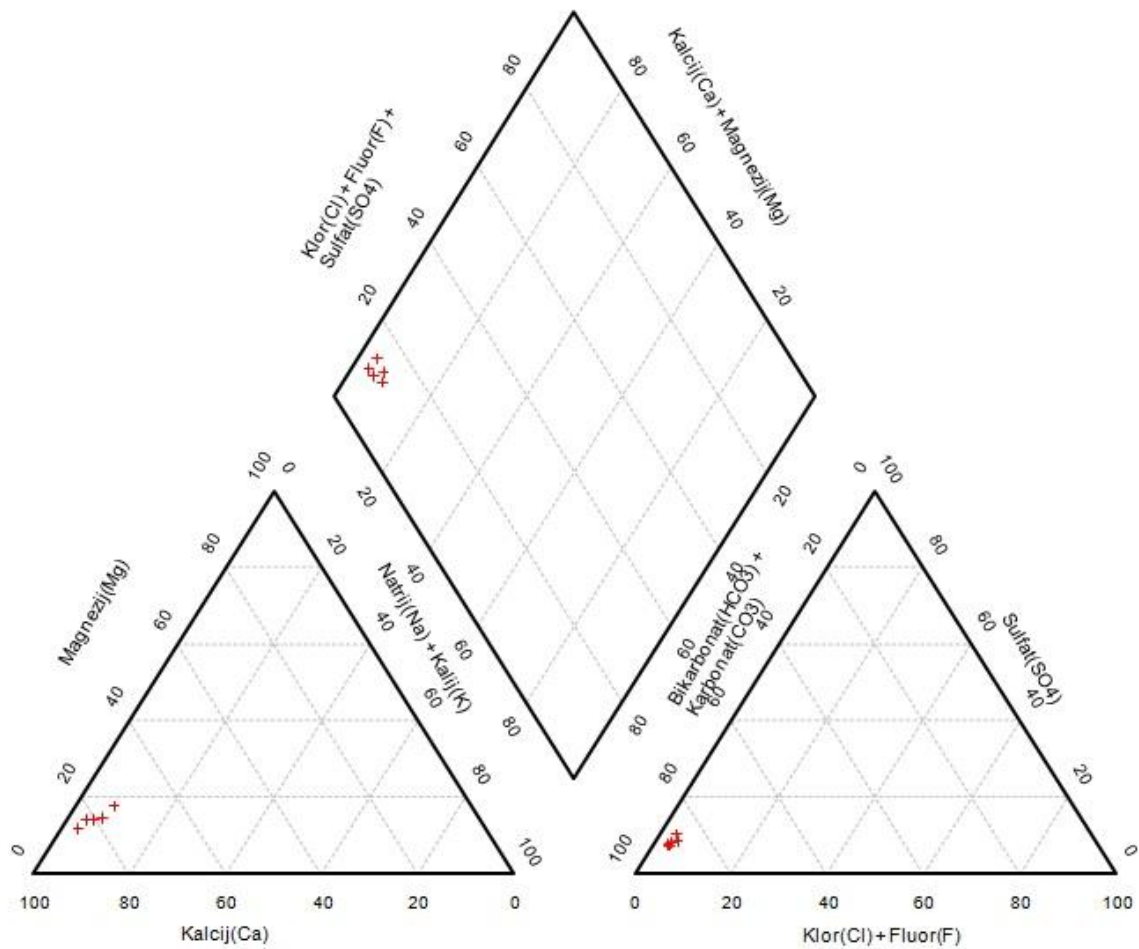
Podzemna voda na crpilištu Mlačine grabari (slika 4-14) pripada CaMg-HCO₃ (kalcijsko - magnezijsko hidrogenkarbonatnom facijesu).

Izvorište Bajsičnjak

Brojčani podaci o sadržaju glavnih kationa i aniona u vodi izvorišta Bajsičnjak su prikazani u tablici 4-13, a njihov položaj u Piperovom dijagramu na slici 4-15.

Tablica 4-13. Kationi i anioni za izvorište Bajsičnjak

Datum uzimanja uzorka	Ca (mg/L)	Mg (mg/L)	Na (mg/L)	K (mg/L)	HCO ₃ (mg/L)	CO ₃ (mg/L)	Cl (mg/L)	SO ₄ (mg/L)	F (mg/L)
30.06.2009.	108	11,6	7,6	1,34	370	0	6,1	26,8	0,1
08.05.2012.	129	11	5,5	0,81	366	0	6,6	25	0,18
11.10.2012.	122	14	11	1,9	351	0	9,2	29	0,193
06.05.2013.	102	11	5,1	0,93	281	0	5,3	27	0,253
04.09.2013.	96	14	11	1,2	354	0	6,5	27	0,255



Slika 4-15. Piper dijagram za izvorište Bajščnjak

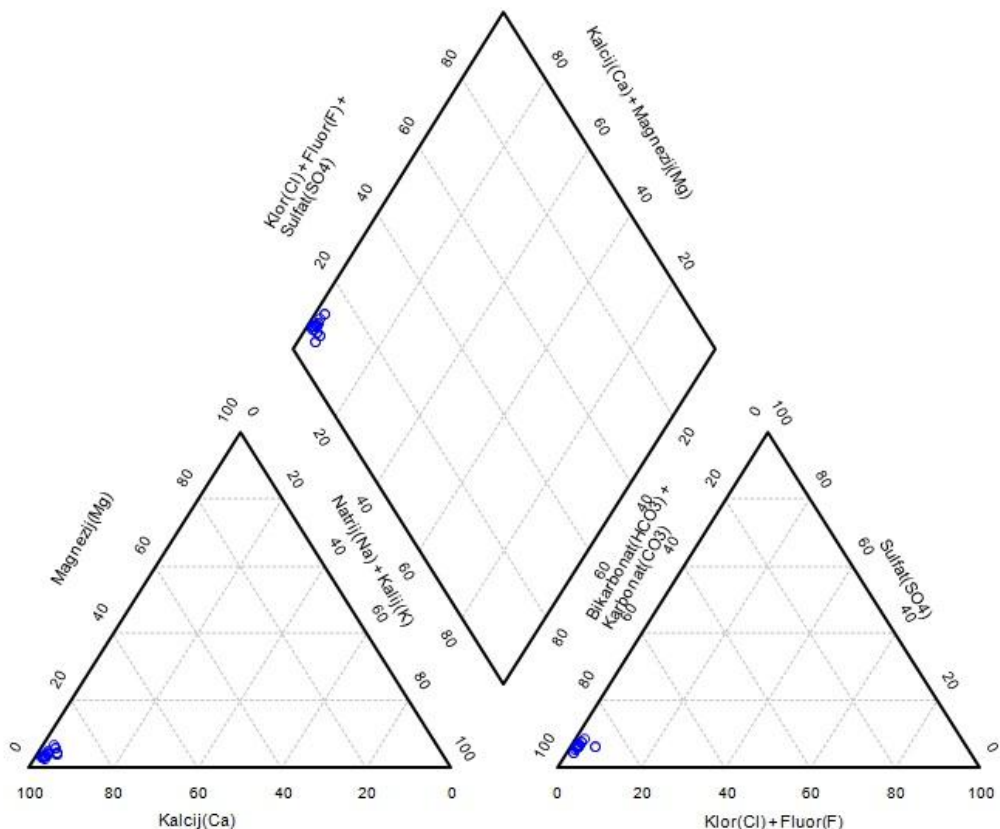
Podzemna voda na izvorištu Bajščnjak (slika 4-15) pripada $\text{Ca}-\text{HCO}_3$ (kalcijsko hidrogenkarbonatnom facijesu).

Izvorište Sopot

Brojčani podaci o sadržaju glavnih kationa i aniona u vodi izvorišta Sopot su prikazani u tablici 4-14, a njihov položaj u Piperovom dijagramu na slici 4-16.

Tablica 4-14. Kationi i anioni za izvorište Sopot

Datum uzimanja uzoraka	Ca (mg/L)	Mg (mg/L)	Na (mg/L)	K (mg/L)	HCO ₃ (mg/L)	CO ₃ (mg/L)	Cl (mg/L)	SO ₄ (mg/L)	F (mg/L)
28.07.2009.	92	2,7	4,4	0,41	248	0	2,1	14	0,1
16.06.2010.	75,6	2,1	1,5	0,596	244	0	9	14,79	0,09
23.12.2010.	57,05	1,8	2,1	1,2	234	0	1,8	9,4	0,139
22.11.2010.	62,1	2,5	1,8	0,815	265	0	2,1	14,8	0,0874
28.07.2009.	92	2,7	4,4	0,41	248	0	2,1	14	0,1
16.06.2010.	75,6	2,1	1,5	0,596	244	0	9	14,79	0,09
23.12.2010.	57,05	1,8	2,1	1,2	234	0	1,8	9,4	0,139
22.11.2010.	62,1	2,5	1,8	0,815	265	0	2,1	14,8	0,0874
30.06.2011.	57	1,1	1,1	0,39	256	0	2,1	14	0,1
07.09.2011.	79	1,8	1	0,39	241	0	1,8	14	0,1
19.12.2011.	83	2,7	1,5	0,57	226	0	2,3	18	0,103
01.03.2012.	62	2,9	1,3	0,63	256	0	2,1	16	0,1
01.06.2012.	99	2	1,1	0,4	250	0	1,7	14	0,1
19.09.2012.	88	2,2	1,6	0,57	217	0	2	15	0,103
14.11.2012.	85	2,6	1,5	0,6	253	0	2	18	0,13
10.04.2013.	88	1,9	1,3	0,5	275	0	2,2	16	0,106
18.06.2013.	85	2	1,3	0,46	235	0	1,9	15	0,102
05.09.2013.	80	1,8	1,2	0,42	275	0	1,8	14	0,117
27.11.2013.	87	2	1,5	0,69	235	0	2,1	15	0,1



Slika 4-16. Piper dijagram za izvorište Sopot

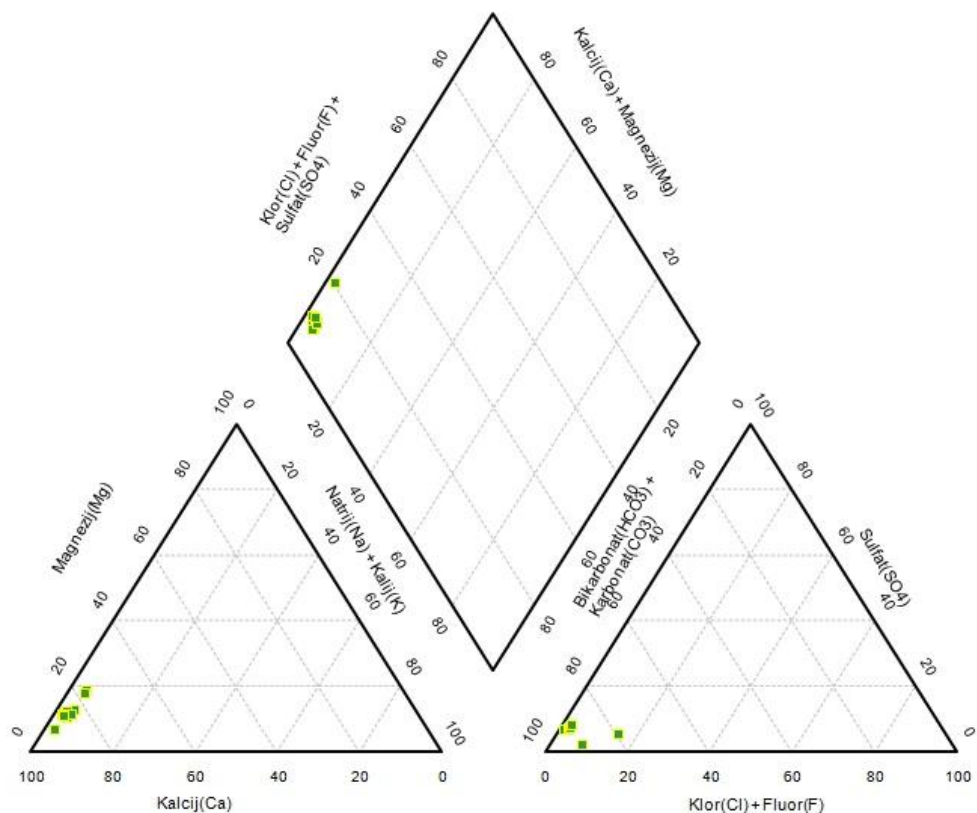
Podzemna voda na izvorištu Sopot (slika 4-16) pripada Ca-HCO₃ (kalcijsko hidrogenkarbonatnom facijesu).

Izvorište Vojnovec

Brojčani podaci o sadržaju glavnih kationa i aniona u vodi izvorišta Vojnovec su prikazani u tablici 4-15, a njihov položaj u Piperovom dijagramu na slici 4-17.

Tablica 4-15. Kationi i anioni za izvorište Vojnovec

Datum uzimanja uzoraka	Ca (mg/L)	Mg (mg/L)	Na (mg/L)	K (mg/L)	HCO ₃ (mg/L)	CO ₃ (mg/L)	Cl (mg/L)	SO ₄ (mg/L)	F (mg/L)
15.10.2009.	68	10,1	3,4	1,3	334	0	3,5	19,9	0,1
20.4.2010.	63,4	8,9	3,149	0,8	353,8	0	2,29	20,7	0,189
26.11.2010.	86,8	8,2	3,8	1,6	345	0	4,6	22,9	0,171
11.05.2011.	99	8,9	2,6	1,1	339	0	3,8	22	0,21
19.12.2011.	98	7,3	3,4	1,9	296	0	14,9	5,8	0,132
08.05.2012.	138	11	2,8	1,2	330	0	4,3	23	0,1
14.11.2012.	99	8,3	3,9	2,3	369	0	5,3	24	0,217
06.05.2013.	103	7,9	2,9	1,3	330	0	4,5	24	0,1
13.11.2013.	100	4,7	2,1	1,3	336	0	3,1	19	18



Slika 4-17. Piper dijagram za izvorište Vojnovec

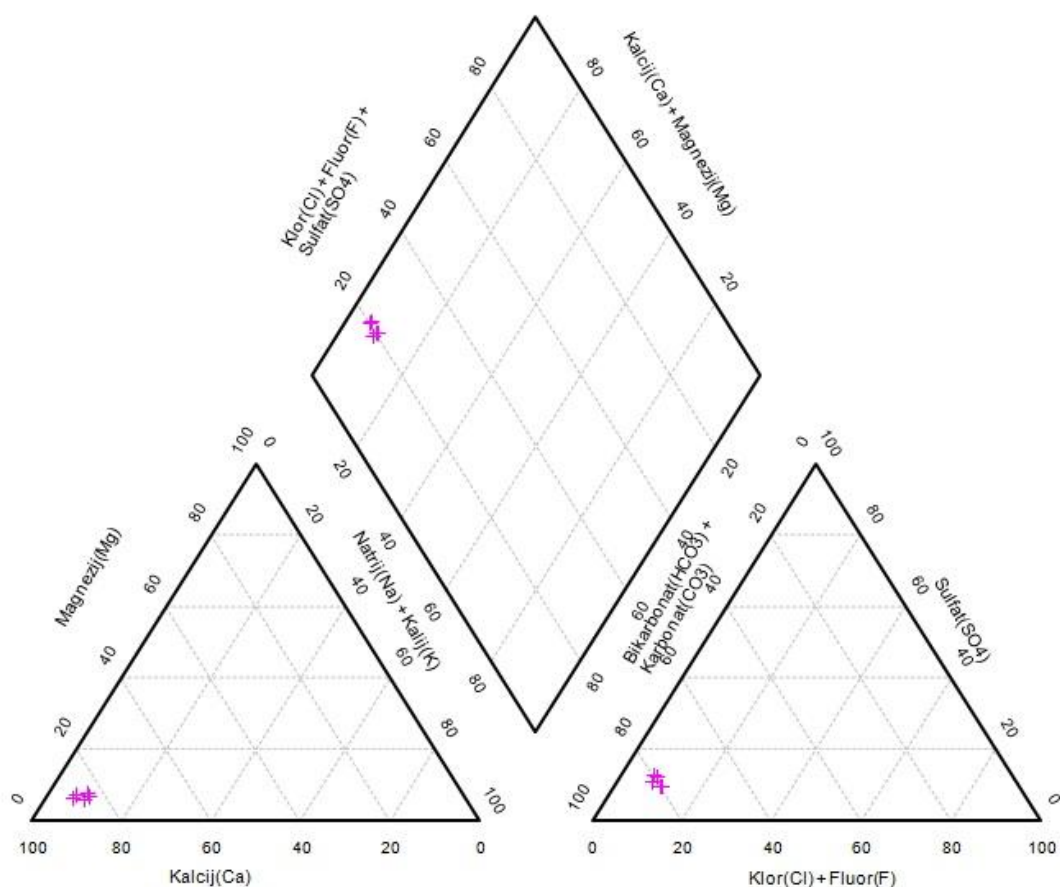
Podzemna voda na izvorištu Vojnovec (slika 4-17) pripada Ca-HCO₃ (kalcijsko hidrogenkarbonatnom facijesu).

Izvorište Vrbanščak

Brojčani podaci o sadržaju glavnih kationa i aniona u vodi izvorišta Vrbanščak su prikazani u tablici 4-16, a njihov položaj u Piperovom dijagramu na slici 4-18.

Tablica 4-16. Kationi i anioni za izvorište Vrbanščak

Datum uzimanja uzorka	Ca (mg/L)	Mg (mg/L)	Na (mg/L)	K (mg/L)	HCO ₃ (mg/L)	CO ₃ (mg/L)	Cl (mg/L)	SO ₄ (mg/L)	F (mg/L)
15.10.2009.	89	5,3	8,4	2,6	249	0	13,1	28	0,1
08.05.2012.	124	5,9	7	3,1	284	0	14	37	0,1
11.10.2012.	115	5,3	10	4,4	281	0	20	28	0,1
04.09.2013.	89	4,7	9,2	3	262	0	20	26	0,153
06.05.2013.	97	5,4	6,1	2,2	284	0	16	36	0,181



Slika 4-18. Piper dijagram za izvorište Vrbanščak

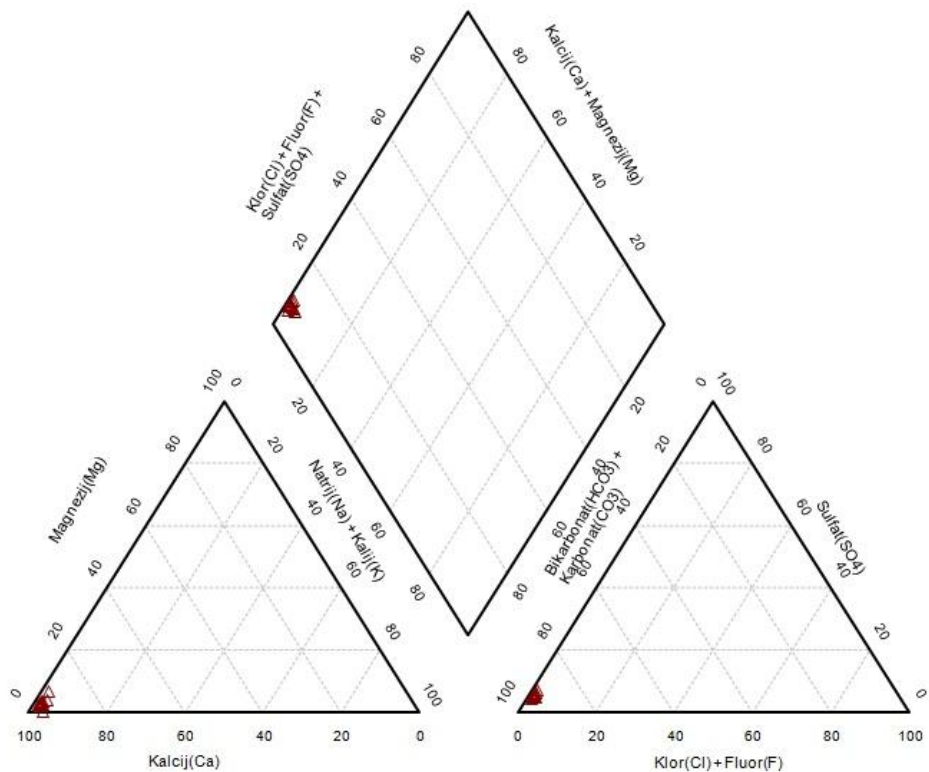
Podzemna voda na izvorištu Vrbanščak (slika 4-18) pripada Ca-HCO₃ (kalcijsko hidrogenkarbonatnom facijesu).

Izvorište Zvirale

Brojčani podaci o sadržaju glavnih kationa i aniona u vodi izvorišta Zvirale su prikazani u tablici 4-17, a njihov položaj u Piperovom dijagramu na slici 4-19.

Tablica 4-17. Kationi i anioni za izvorište Zvirale

Datum uzimanja uzorka	Ca (mg/L)	Mg (mg/L)	Na (mg/L)	K (mg/L)	HCO ₃ (mg/L)	CO ₃ (mg/L)	Cl (mg/L)	SO ₄ (mg/L)	F (mg/L)
12.11.2009.	95	1,8	2,15	0,41	259	0	3,1	12	0,1
16.07.2010.	72,92	1,22	1,129	0,407	240	0	1,31	13,3	0,1
23.12.2010.	56,9	0,1	1,9	0,736	222,6	0	1,7	11,3	0,135
22.11.2010.	60,12	1,6	1,6	0,499	248	0	1,7	13,2	0,0929
30.06.2011.	58	1,1	0,96	0,35	265	0	1,8	14	0,1
07.09.2011.	83	1,7	1,1	0,36	266	0	1,5	14	0,1
19.12.2011.	84	1,9	1,1	0,39	226	0	1,5	15	0,1
01.03.2012.	57	2,6	0,85	0,34	232	0	1,5	13	0,1
01.06.2012.	99	1,8	1	0,38	262	0	1,6	12	0,1
19.09.2012.	92	1,7	1,5	0,43	305	0	2	12	0,1
14.11.2012.	84	2	1,2	0,47	259	0	1,6	14	0,1
10.04.2013.	82	1,3	1	0,34	235	0	1,7	14	0,1
18.06.2013.	86	1,6	1,1	0,39	272	0	1,7	14	0,103
05.09.2013.	87	1,6	1,1	0,41	256	0	1,8	12	0,1
27.11.2013.	79	1,1	0,98	0,36	247	0	1,7	12	0,1



Slika 4-19. Piper dijagram za izvorište Zvirale

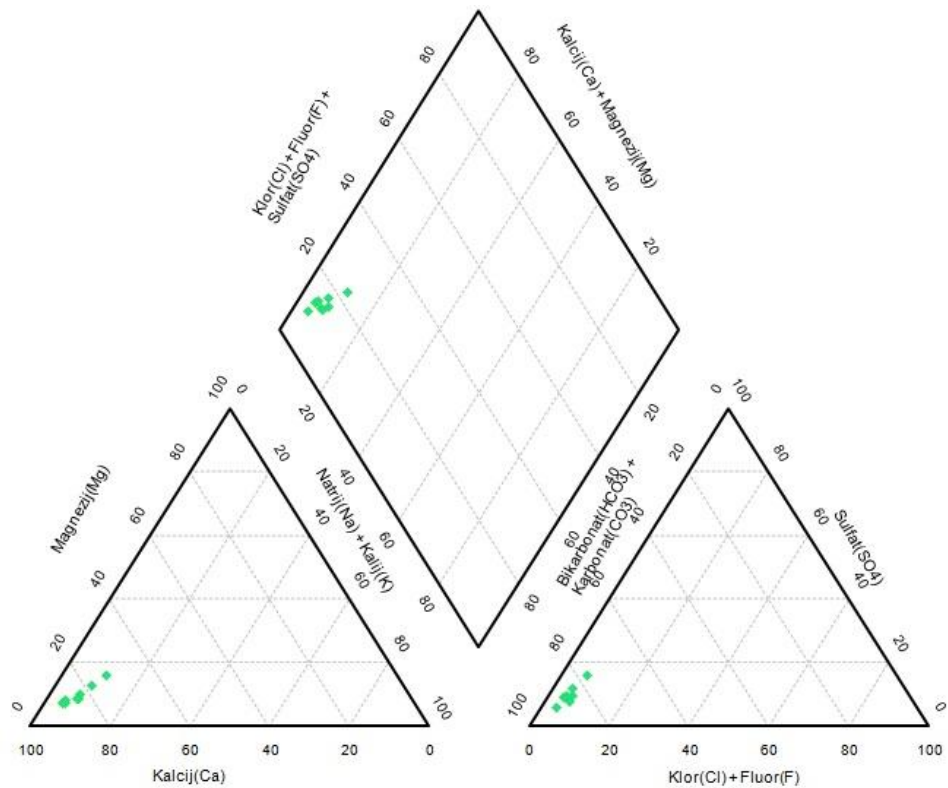
Podzemna voda na izvorištu Zvirale (slika 4-19) pripada $\text{Ca}-\text{HCO}_3$ (kalcijsko hidrogenkarbonatnom facijesu).

Izvorište Pece

Brojčani podaci o sadržaju glavnih kationa i aniona u vodi izvorišta Pece su prikazani u tablici 4-18, a njihov položaj u Piperovom dijagramu na slici 4-20.

Tablica 4-18. Kationi i anioni za izvorište Pece

Datum uzimanja uzorka	Ca (mg/L)	Mg (mg/L)	Na (mg/L)	K (mg/L)	HCO_3 (mg/L)	CO_3 (mg/L)	Cl (mg/L)	SO_4 (mg/L)	F (mg/L)
16.07.2010.	91,5	6,9	6,67	3,75	317	0	9	27,9	0,18
22.11.2010.	75,6	7,8	6,7	4,7	328	0	12,5	30,9	0,148
03.03.2011.	103	6,1	4,6	2,5	295	0	7,8	25	0,123
07.09.2011.	81	4,2	3,3	1,8	290	0	6,5	16	0,155
01.03.2012.	65	8,9	7,4	6,2	299	0	14	50	0,1
19.09.2012.	98	6,3	6,6	6,1	290	0	11,8	21	0,1
10.04.2013.	99	5,2	4,8	2,9	299	0	8,6	27	0,236
05.09.2013.	94	6,2	6,1	5,1	287	0	9,4	33	0,17



Slika 4-20. Piper dijagram za izvorište Pece

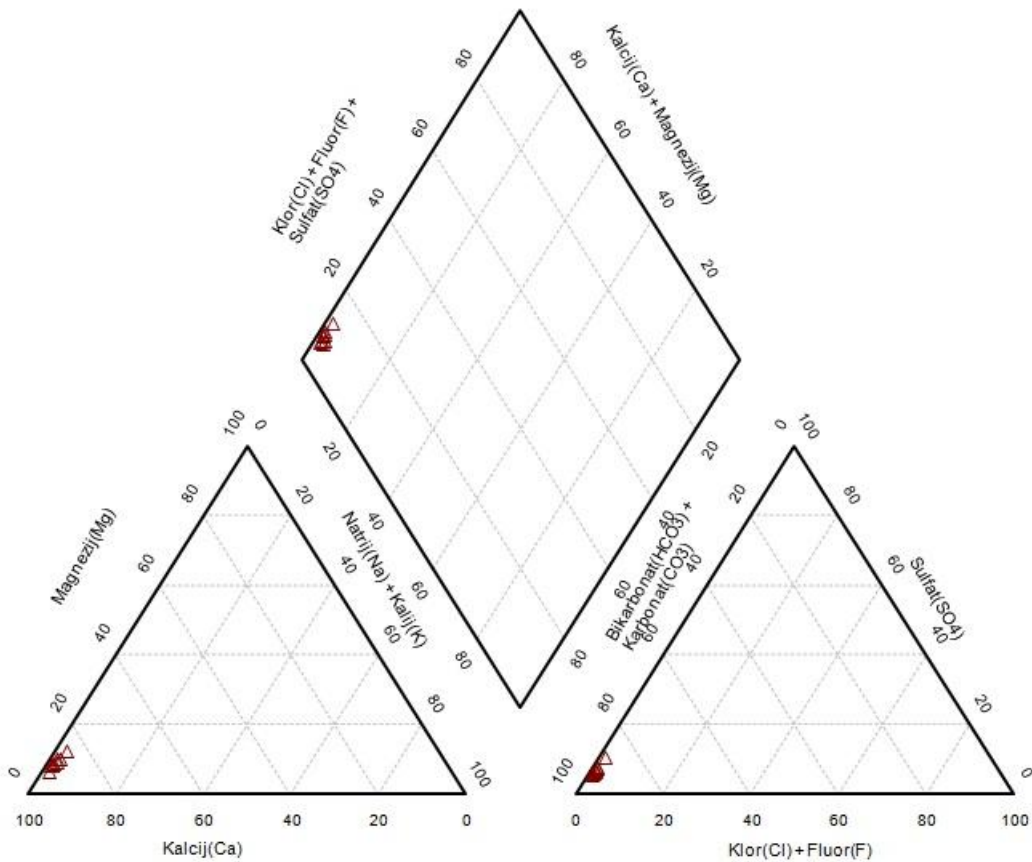
Podzemna voda na izvorištu Pece (slika 4-20) pripada $\text{Ca}-\text{HCO}_3$ (kalcijsko hidrogenkarbonatnom facijesu).

Izvorište Šrajbeki

Brojčani podaci o sadržaju glavnih kationa i aniona u vodi izvorišta Šrajbeki su prikazani u tablici 4-19, a njihov položaj u Piperovom dijagramu na slici 4-21.

Tablica 4-19. Kationi i anioni za izvorište Šrajbeki

Datum uzimanja uzorka	Ca (mg/L)	Mg (mg/L)	Na (mg/L)	K (mg/L)	HCO_3 (mg/L)	CO_3 (mg/L)	Cl (mg/L)	SO_4 (mg/L)	F (mg/L)
30.06.2009.	114	6,9	1,48	0,8	368	0	2,2	21,9	0,1
20.04.2010.	87	7,8	1,9	1,2	355	0	1,6	17,6	0,204
26.11.2010.	90,6	6,5	1,9	1,09	342	0	2,14	19,25	0,171
11.05.2011.	113	6,6	1,3	0,68	369	0	2,5	23	0,2
19.12.2011.	107	7,5	1,7	0,71	326	0	2,8	31	0,134
08.05.2012.	135	7,7	1,2	0,56	360	0	1,8	25	0,145
14.11.2012.	99	6,3	1,5	1	351	0	2,4	18	0,118
06.05.2013.	110	6,1	1,3	0,65	357	0	2,3	21	0,221
13.11.2013.	100	4,4	1,2	0,69	354	0	2,1	16	0,21



Slika 4-21. Piper dijagram za izvorište Šrajbeki

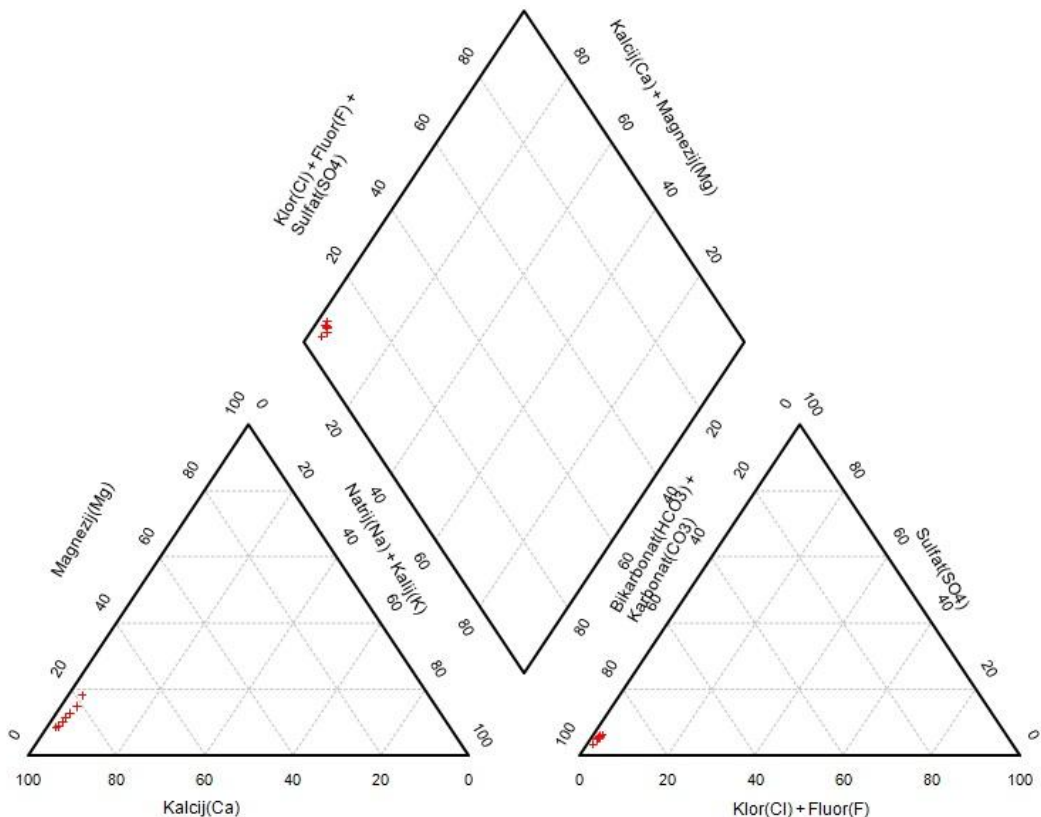
Podzemna voda na izvorištu Šrajbeki (slika 4-21) pripada Ca-HCO₃ (kalcijsko hidrogenkarbonatnom facijesu).

Izvorište Bijeli zdenci

Brojčani podaci o sadržaju glavnih kationa i aniona u vodi izvorišta Bijeli zdenci su prikazani u tablici 4-20, a njihov položaj u Piperovom dijagramu na slici 4-22.

Tablica 4-20. Kationi i anioni za izvorište Bijeli zdenci

Datum uzimanja uzorka	Ca (mg/L)	Mg (mg/L)	Na (mg/L)	K (mg/L)	HCO ₃ (mg/L)	CO ₃ (mg/L)	Cl (mg/L)	SO ₄ (mg/L)	F (mg/L)
30.09.2010.	71,025	8	2,6	0,666	338	0	1,81	15,8	0,0038
29.03.2011.	104	6,6	2,2	0,56	341,8	0	1,9	18	0,158
21.09.2011.	75	5,4	2,1	0,49	327	0	1,8	18	0,206
14.03.2012.	64	9,1	2,1	0,57	329	0	1,4	11	0,117
24.09.2012.	100	9,3	3	0,66	342	0	1,9	18	0,133
04.04.2013.	103	6,2	1,8	0,54	348	0	2,8	20	0,263
04.09.2013.	97	8,1	2,6	0,64	330	0	2	18	0,21



Slika 4-22. Piper dijagram za izvorište Bijeli zdenci

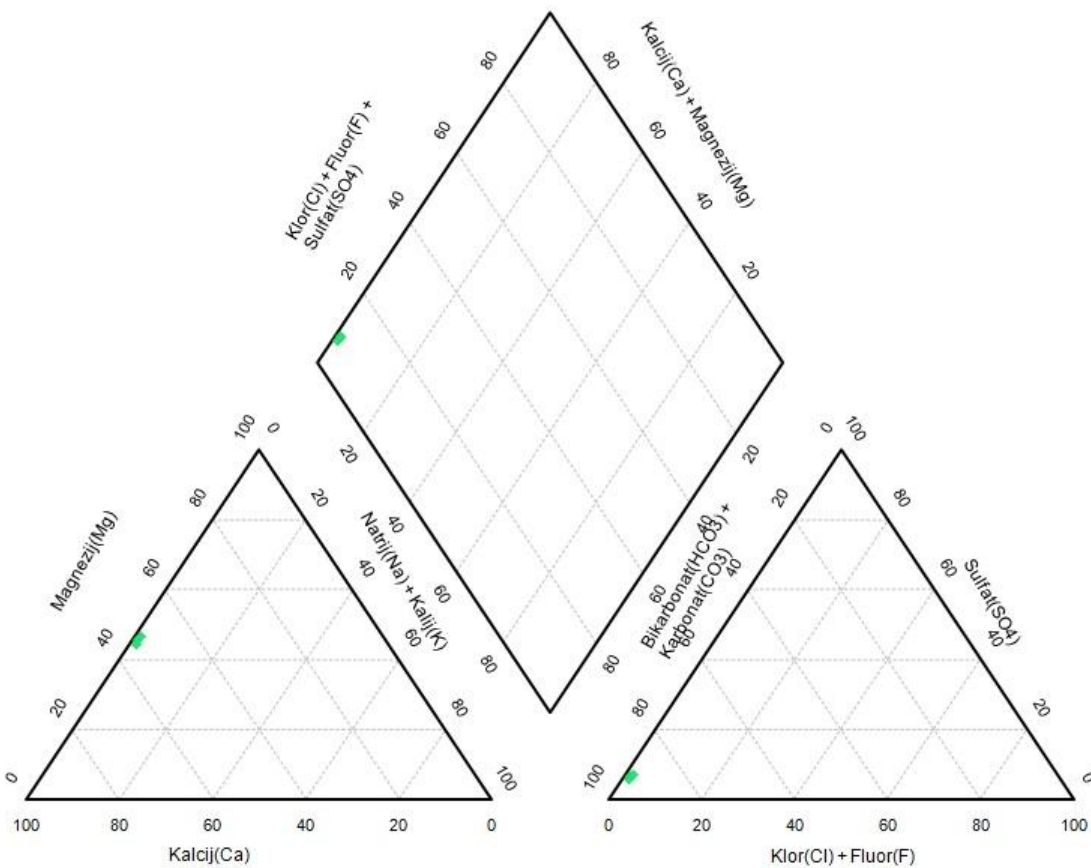
Podzemna voda na izvorištu Bijeli zdenci (slika 4-22) pripada $\text{Ca}-\text{HCO}_3$ (kalcijsko hidrogenkarbonatnom facijesu).

Izvorište Bijeli zdenci1

Brojčani podaci o sadržaju glavnih kationa i aniona u vodi izvorišta Bijeli zdenci1 su prikazani u tablici 4-21, a njihov položaj u Piperovom dijagramu na slici 4-23.

Tablica 4-21. Kationi i anioni za izvorište Bijeli zdenci1

Datum uzimanja uzorka	Ca (mg/L)	Mg (mg/L)	Na (mg/L)	K (mg/L)	HCO_3 (mg/L)	CO_3 (mg/L)	Cl (mg/L)	SO_4 (mg/L)	F (mg/L)
11.10.2012.	59	30	0,87	0,43	324	0	2	19	0,1
06.12.2012.	57	30	0,72	0,43	324	0	1,9	20	0,1
24.10.2013.	62	34	0,66	0,44	357	0	2,1	19	0,1
10.12.2013.	61	31	0,76	0,46	293	0	2,1	19	0,1



Slika 4-23. Piper dijagram za izvorište Bijeli zdenci1

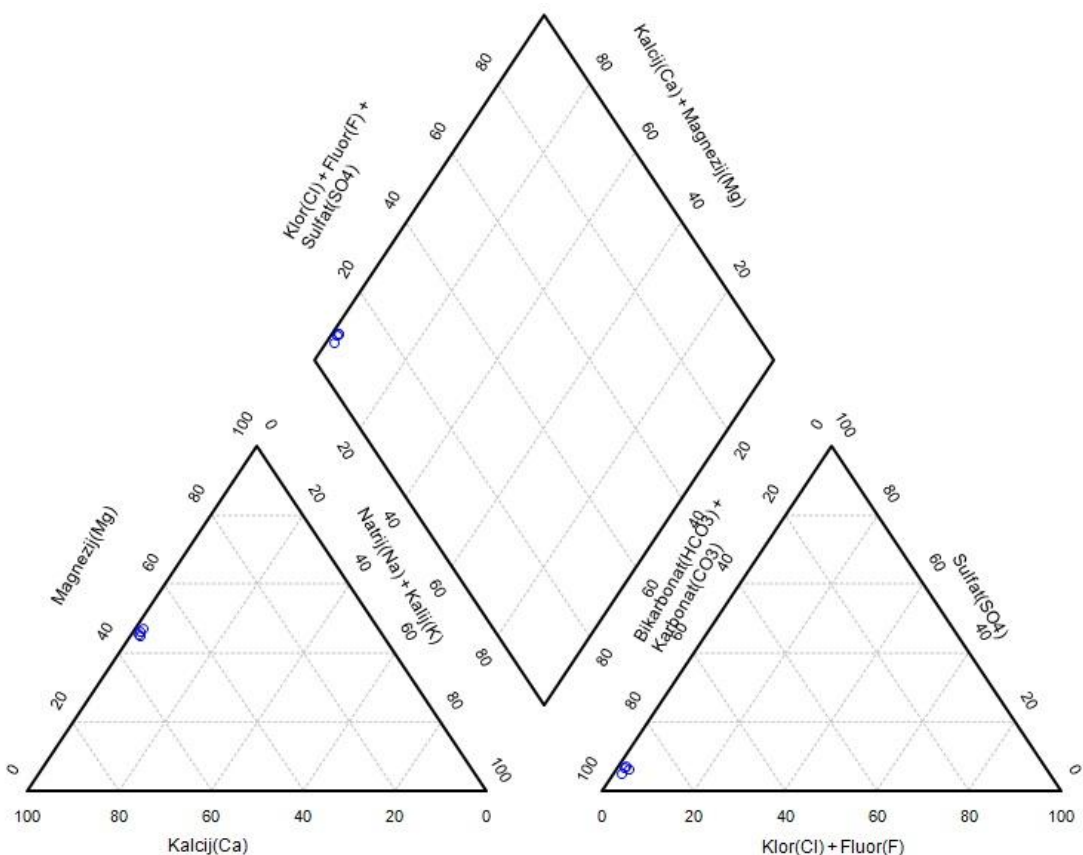
Podzemna voda na izvorištu Bijeli zdenci1 (slika 4-23) pripada $\text{CaMg}-\text{HCO}_3$ (kalcijsko - magnezijsko hidrogenkarbonatnom facijesu).

Izvorište Bijeli zdenci2

Brojčani podaci o sadržaju glavnih kationa i aniona u vodi izvorišta Bijeli zdenci2 su prikazani u tablici 4-22, a njihov položaj u Piperovom dijagramu na slici 4-24.

Tablica 4-22. Kationi i anioni za izvorište Bijeli zdenci2

Datum uzimanja uzorka	Ca (mg/L)	Mg (mg/L)	Na (mg/L)	K (mg/L)	HCO_3 (mg/L)	CO_3 (mg/L)	Cl (mg/L)	SO_4 (mg/L)	F (mg/L)
11.10.2012.	61	32	0,93	0,52	317	0	2,2	21	0,1
18.03.2013.	55	31	1,1	0,52	308	0	4,3	18	0,101
07.05.2013.	56	29	1,6	0,21	305	0	2,2	14	0,11
24.10.2013.	66	36	0,87	0,53	342	0	2,3	21	0,1



Slika 4-24. Piper dijagram za izvorište Bijeli zdenci2

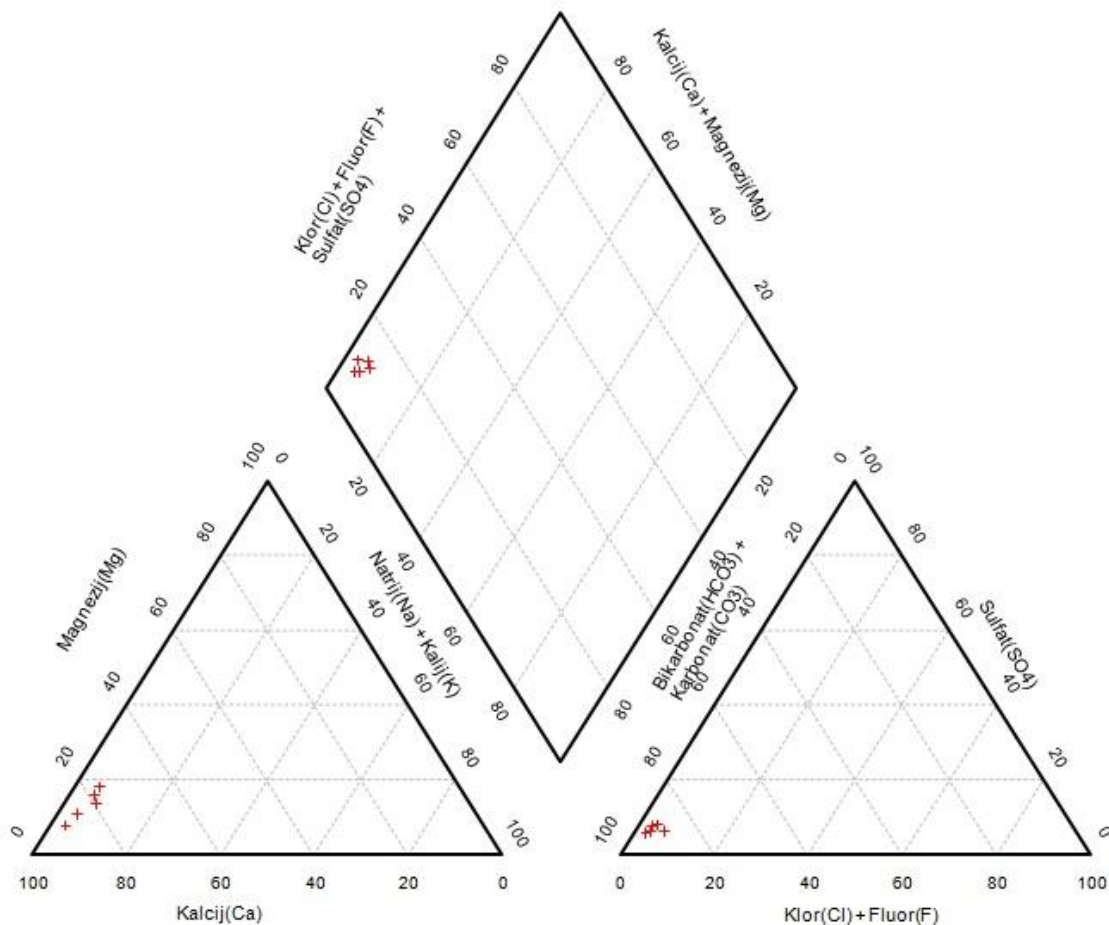
Podzemna voda na izvorištu Bijeli zdenci2 (slika 4-24) pripada $\text{CaMg}-\text{HCO}_3$ (kalcijsko - magnezijsko hidrogenkarbonatnom facijesu).

Izvorište Biušek

Brojčani podaci o sadržaju glavnih kationa i aniona u vodi izvorišta Biušek su prikazani u tablici 4-23, a njihov položaj u Piperovom dijagramu na slici 4-25.

Tablica 4-23. Kationi i anioni za izvorište Biušek

Datum uzimanja uzorka	Ca (mg/L)	Mg (mg/L)	Na (mg/L)	K (mg/L)	HCO_3 (mg/L)	CO_3 (mg/L)	Cl (mg/L)	SO_4 (mg/L)	F (mg/L)
01.12.2010.	77,12	8,2	5,9	2,4	332,5	0	7,5	25,22	0,2029
15.3.2011.	128	6,9	4,5	0,95	378,3	0	5,7	27	0,23
07.09.2011.	99	7,9	4,8	0,8	400	0	4,8	22	0,24
08.03.2012.	90	13	6,4	0,84	394	0	15	24	0,189
05.09.2012.	113	14	7,3	1,3	385	0	6,3	23	0,186



Slika 4-25. Piper dijagram za izvorište Biušek

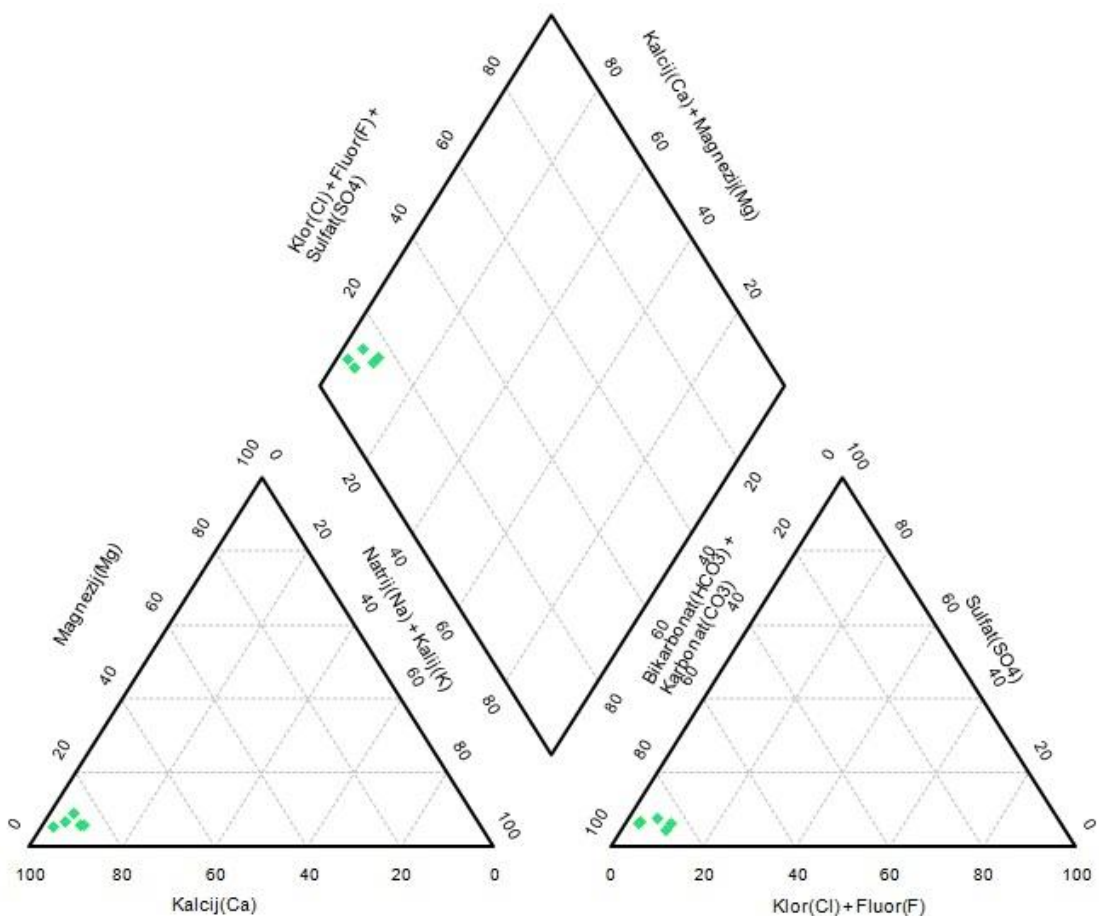
Podzemna voda na izvorištu Biušek (slika 4-25) pripada Ca-HCO₃ (kalcijsko hidrogenkarbonatnom facijesu).

Izvorište Curek

Brojčani podaci o sadržaju glavnih kationa i aniona u vodi izvorišta Curek su prikazani u tablici 4-24, a njihov položaj u Piperovom dijagramu na slici 4-26.

Tablica 4-24. Kationi i anioni za izvorište Curek

Datum uzimanja uzorka	Ca (mg/L)	Mg (mg/L)	Na (mg/L)	K (mg/L)	HCO ₃ (mg/L)	CO ₃ (mg/L)	Cl (mg/L)	SO ₄ (mg/L)	F (mg/L)
31.05.2010.	77,04	5,1	4,6	0,969	396,5	0	6,7	24,4	0,1989
23.12.2010.	92,9	4,1	9,4	0,944	362	0	22,7	16,4	0,156
31.03.2011.	135	5,2	3,3	0,81	390,6	0	6,3	23	0,173
27.12.2011.	141	6,6	6,7	1,3	399	0	16	29	0,212
19.09.2012.	155	6,7	17	1,8	461	0	30	29	0,135



Slika 4-26. Piper dijagram za izvorište Curek

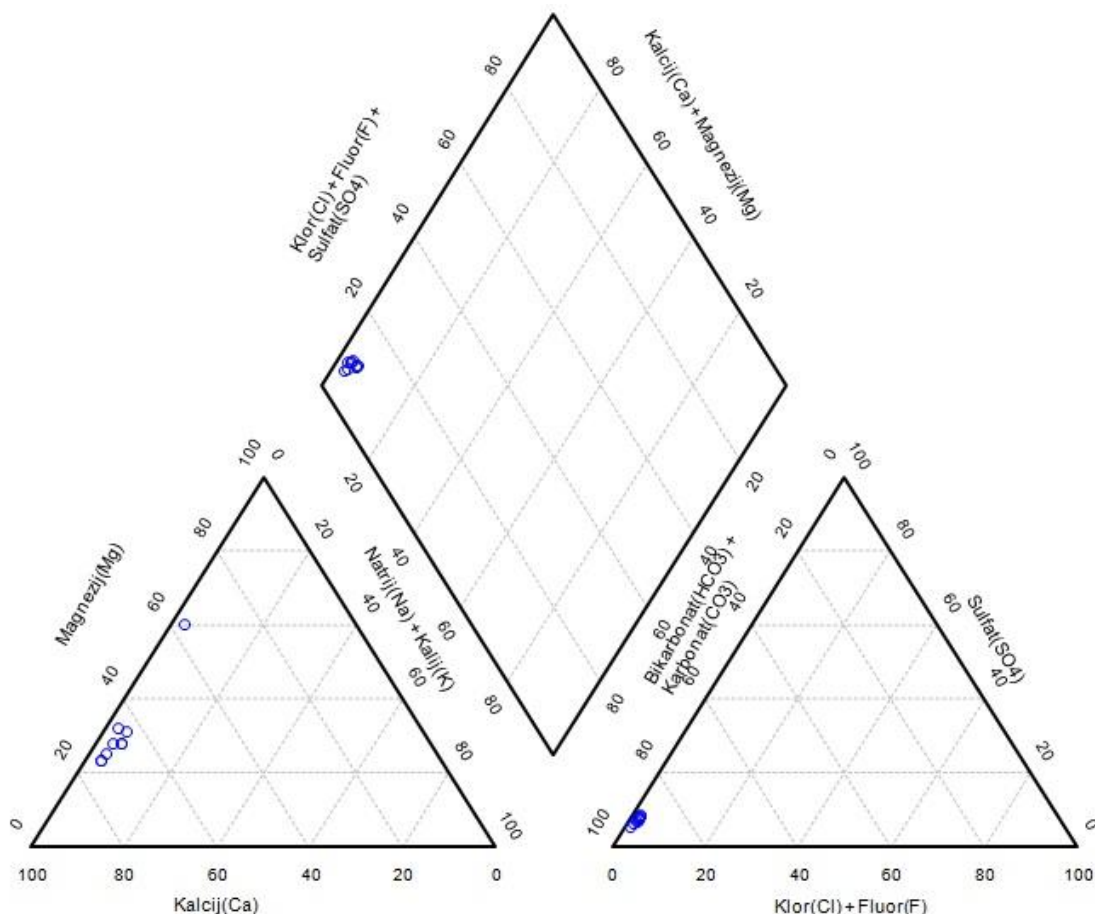
Podzemna voda na izvorištu Curek (slika 4-26) pripada $\text{Ca}-\text{HCO}_3$ (kalcijsko hidrogenkarbonatnom facijesu).

Izvorište Galovići

Brojčani podaci o sadržaju glavnih kationa i aniona u vodi izvorišta Galovići su prikazani u tablici 4-25, a njihov položaj u Piperovom dijagramu na slici 4-27.

Tablica 4-25. Kationi i anioni za izvorešte Galovići

Datum uzimanja uzorka	Ca (mg/L)	Mg (mg/L)	Na (mg/L)	K (mg/L)	HCO ₃ (mg/L)	CO ₃ (mg/L)	Cl (mg/L)	SO ₄ (mg/L)	F (mg/L)
11.11.2010.	40,8	12,3	2,8	0,582	204	0	2,5	14,4	0,0911
12.7.2010.	44	11,4	3,24	0,61	222	0	2,11	17	0,085
12.7.2010.	44	11,4	3,2	0,61	222	0	2,11	16,19	0,085
31.03.2011.	56	11	2,2	0,53	201,4	0	2,3	14	0,1
28.09.2011.	50	9,8	2,1	0,48	214	0	2,4	14	0,1
01.03.2012.	31	31	2,2	0,41	275	0	1,7	13	0,1
05.09.2012.	59	15	2,7	0,65	281	0	2,3	15	0,1
13.03.2013.	50	11	2	0,53	204	0	2,1	14	0,1
17.10.2013.	66	20	2,3	0,59	232	0	2,3	14	0,1



Slika 4-27. Piper dijagram za izvorešte Galovići

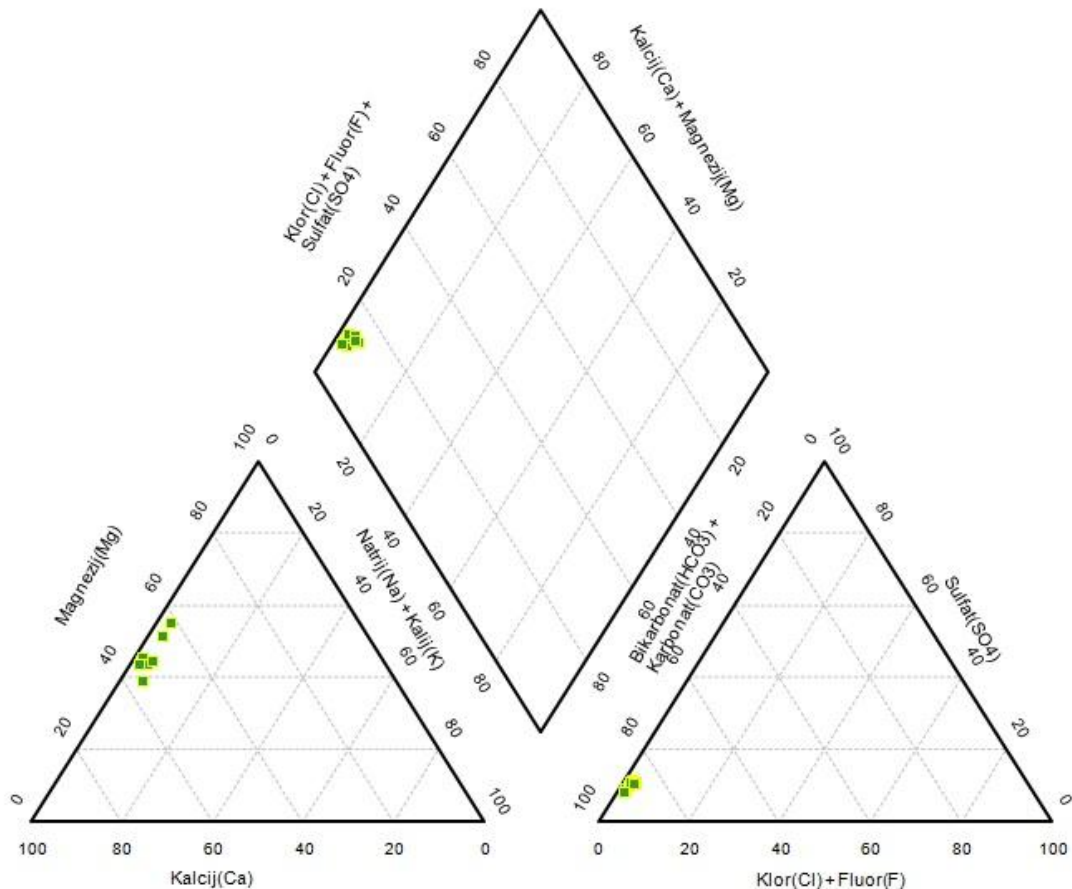
Podzemna voda na izvorištu Galovići (slika 4-27) pripada CaMg-HCO₃ do MgCaHCO₃ (kalcijsko-magnezijskom hidrogenkarbonatnom do magnezijsko-kalcijskom hidrogenkarbonatnom facijesu).

Izvoriste Jelovica

Brojčani podaci o sadržaju glavnih kationa i aniona u vodi izvorišta Jelovica su prikazani u tablici 4-26, a njihov položaj u Piperovom dijagramu na slici 4-28.

Tablica 4-26. Kationi i anioni za izvorište Jelovica

Datum uzimanja uzorka	Ca (mg/L)	Mg (mg/L)	Na (mg/L)	K (mg/L)	HCO ₃ (mg/L)	CO ₃ (mg/L)	Cl (mg/L)	SO ₄ (mg/L)	F (mg/L)
12.07.2010.	44,76	30,95	3,19	0,552	311,1	0	2,26	25,43	0,15
12.7.2010.	44,7	30,95	3,19	0,552	311	0	2,2	25,43	0,15
11.11.2010.	38,5	30,95	2,91	0,543	265	0	2,2	28,4	0,106
31.03.2011.	59	30	2,3	0,47	280,8	0	2,1	26	0,1
28.09.2011.	54	23	5,2	0,86	287	0	4,7	29	0,1
01.03.2012.	42	22	1,5	0,4	284	0	1,9	29	0,1
05.09.2012.	63	32	4,5	0,97	281	0	4,1	29	0,1
13.03.2013.	61	30	2	0,7	314	0	2,2	23	0,1
05.09.2013.	55	29	5	0,78	293	0	3,6	29	0,147



Slika 4-28. Piper dijagram za izvorište Jelovica

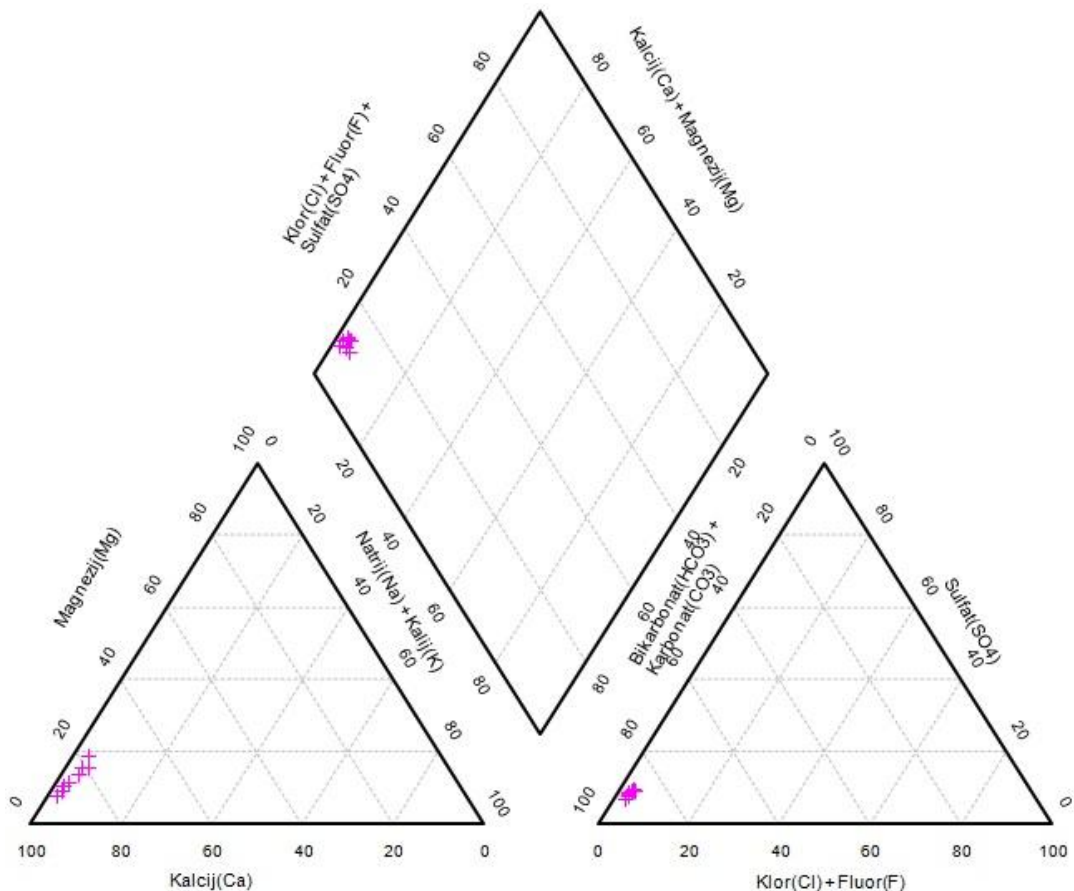
Podzemna voda na izvorištu Jelovica (slika 4-28) pripada CaMg-HCO₃ (kalcijsko-magnezijsko hidrogenkarbonatnom facijesu).

Izvoriste Kralješak

Brojčani podaci o sadržaju glavnih kationa i aniona u vodi izvorišta Kralješak su prikazani u tablici 4-27, a njihov položaj u Piperovom dijagramu na slici 4-29.

Tablica 4-27. Kationi i anioni za izvorište Kralješak

Datum uzimanja uzorka	Ca (mg/L)	Mg (mg/L)	Na (mg/L)	K (mg/L)	HCO ₃ (mg/L)	CO ₃ (mg/L)	Cl (mg/L)	SO ₄ (mg/L)	F (mg/L)
31.05.2010.	75,08	8,9	3,97	1,83	387,4	0	4,9	28,9	0,19
01.12.2010.	83,9	9,8	3,2	1,3	362,9	0	5,08	26,3	0,179
31.03.2011.	128	9,3	2,7	0,42	372,3	0	5,1	29	0,16
14.09.2011.	114	7,1	2,8	0,87	360	0	5,7	32	0,172
14.03.2012.	82	12	2,9	1,3	357	0	6,3	30	0,291
19.09.2012.	129	13	4,9	2,1	391	0	8,6	33	0,106
21.03.2013.	117	6,2	2	0,83	363	0	4,5	23	0,208
17.09.2013.	118	9,4	3,3	1,2	357	0	6	30	0,177



Slika 4-29. Piper dijagram za izvorište Kralješak

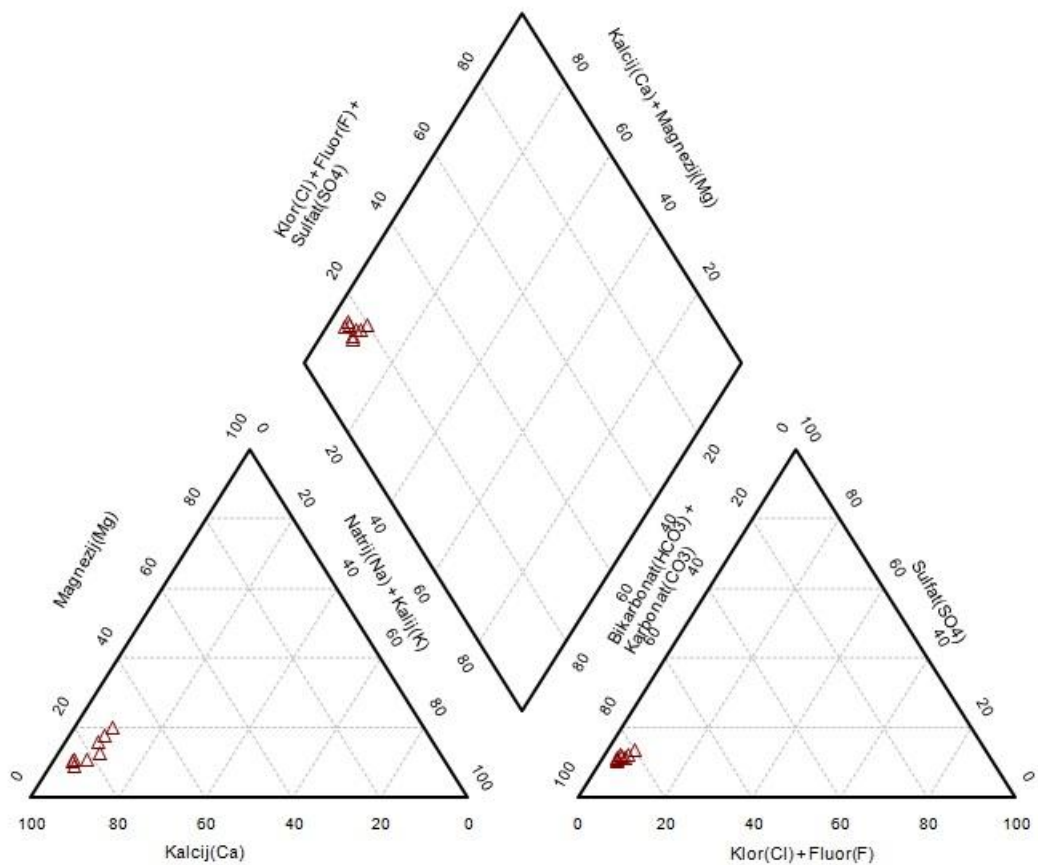
Podzemna voda na izvorištu Kralješak (slika 4-29) pripada Ca-HCO₃ (kalcijsko hidrogenkarbonatnom facijesu).

Izvoriste Poštovac

Brojčani podaci o sadržaju glavnih kationa i aniona u vodi izvorišta Poštovac su prikazani u tablici 4-28, a njihov položaj u Piperovom dijagramu na slici 4-30.

Tablica 4-28. Kationi i anioni za izvorište Poštovac

Datum uzimanja uzorka	Ca (mg/L)	Mg (mg/L)	Na (mg/L)	K (mg/L)	HCO ₃ (mg/L)	CO ₃ (mg/L)	Cl (mg/L)	SO ₄ (mg/L)	F (mg/L)
31.5.2010.	76,9	10,08	6,27	2,76	375,2	0	7,36	40,63	0,193
01.12.2010.	79,02	11,9	7,05	3,2	356	0	8	35,7	0,175
31.3.2011.	126	10	5,8	0,99	354,1	0	7,4	42	0,16
14.09.2011.	120	8,3	6,1	2,4	385	0	9,7	44	0,194
14.03.2012.	74	13	7,7	3,2	345	0	12	42	0,1
19.09.2012.	136	14	15	4,7	357	0	15	49	0,13
21.03.2013.	111	9,3	4,7	1,8	339	0	6,8	35	0,192
17.09.2013.	110	9,5	8,3	3,9	345	0	11	38	0,211



Slika 4-30. Piper dijagram za izvorište Poštovac

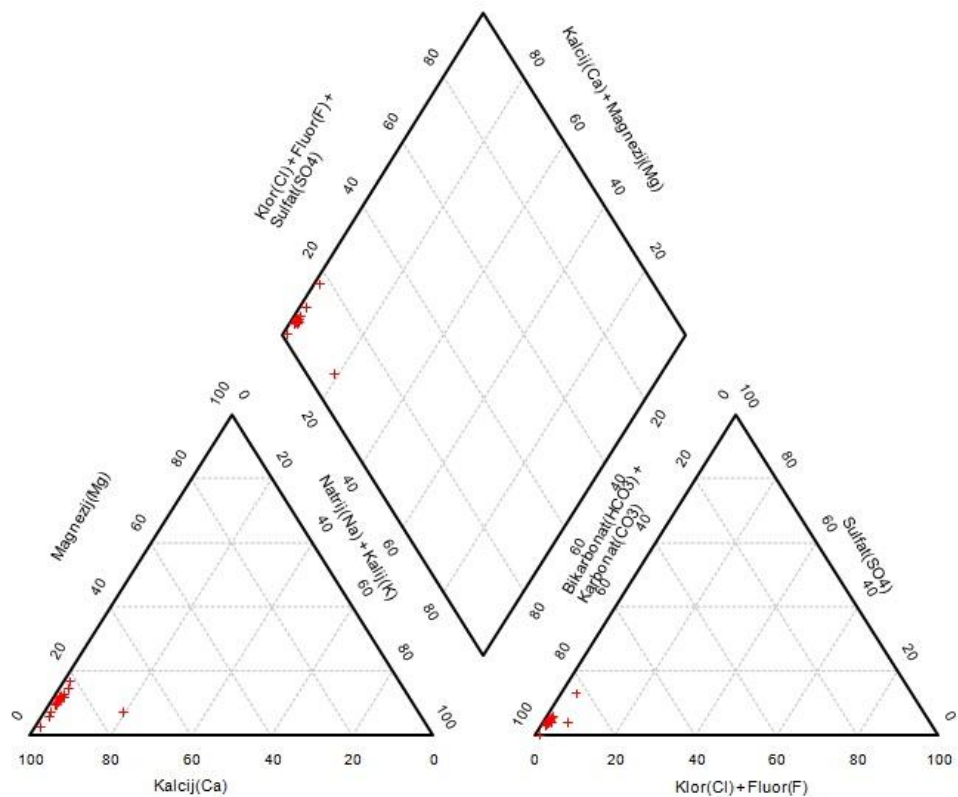
Podzemna voda na izvorištu Poštovac (slika 4-30) pripada Ca-HCO₃ (kalcijsko hidrogenkarbonatnom facijesu).

Izvořište Mrzljak 1 i 2

Brojčani podaci o sadržaju glavnih kationa i aniona u vodi izvořišta Mrzljak 1 i 2 su prikazani u tablici 4-29, a njihov položaj u Piperovom dijagramu na slici 4-31.

Tablica 4-29. Kationi i anioni za izvořište Mrzljak 1 i 2

Datum uzimanja uzorka	Ca (mg/L)	Mg (mg/L)	Na (mg/L)	K (mg/L)	HCO ₃ (mg/L)	CO ₃ (mg/L)	Cl (mg/L)	SO ₄ (mg/L)	F (mg/L)
12.11.2009.	95	8,2	2,5	0,54	311	0	3,1	12	0,1
17.8.2010.	83,24	7,7	1,504	0,657	329	0	1,42	15,29	0,1053
23.12.2010.	72,3	4,5	21,4	0,681	289	0	2	14	0,141
23.12.2010.	99	8,4	1,4	0,57	86	0	1,9	11	0,1
02.11.2010.	77,1	8,3	1,9	0,65	328,8	0	1,93	12,9	0,0744
15.03.2011.	105	5,3	1,5	0,55	323,4	0	2	14	0,114
08.06.2011.	70	4,7	1,2	0,48	357	0	13	14	0,1
14.09.2011.	105	1,9	1,4	0,3	324	0	1,9	1,3	0,1
20.12.2011.	90	6,8	1,2	0,46	302	0	1,9	13	0,1
15.03.2012.	66	8,3	1	0,44	327	0	1,7	11	0,1
14.06.2012.	99	8,9	1,5	0,61	330	0	1,8	12	0,1
11.09.2012.	99	8,4	1,4	0,57	86	0	1,9	11	0,1
15.11.2012.	90	7,4	1,3	0,57	320	0	1,7	13	0,1
09.04.2013.	103	4,3	1,6	0,58	342	0	2,4	18	0,169
19.06.2013.	99	6,7	1,4	0,54	369	0	2	11	0,116
26.09.2013.	94	7,2	1,6	0,63	305	0	1,8	12	0,11
21.11.2013.	99	7	1,4	0,62	342	0	1,9	13	0,1



Slika 4-31. Piper dijagram za izvorište Mrzljak 1 i 2

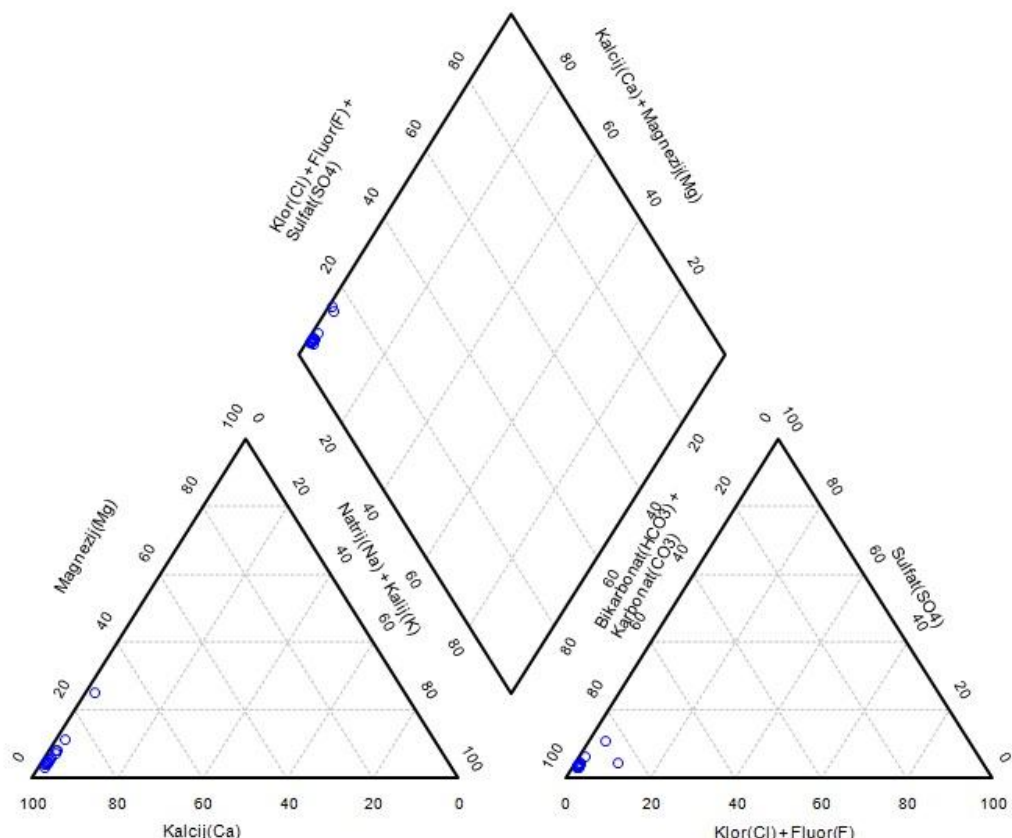
Podzemna voda na izvorištu Mrzljak 1 i 2 (slika 4-31) pripada Ca-HCO₃ (kalcijsko hidrogenkarbonatnom facijesu).

Izvorište Stupa

Brojčani podaci o sadržaju glavnih kationa i aniona u vodi izvorišta Stupa su prikazani u tablici 4-30, a njihov položaj u Piperovom dijagramu na slici 4-32.

Tablica 4-30. Kationi i anioni za izvorište Stupa

Datum uzimanja uzorka	Ca (mg/L)	Mg (mg/L)	Na (mg/L)	K (mg/L)	HCO ₃ (mg/L)	CO ₃ (mg/L)	Cl (mg/L)	SO ₄ (mg/L)	F (mg/L)
28.07.2009.	105	8,8	2,1	0,52	334	0	2,8	9	0,1
23.12.2010.	74,24	15,9	1,7	0,687	295,8	0	20	12	0,11
02.11.2010.	81,5	4,7	1,39	0,615	335	0	2,6	12,9	0,05
15.03.2011.	116	2,5	1,3	0,5	341,7	0	2,4	11	0,1
08.06.2011.	87	3,3	0,92	0,49	345	0	2,1	12	0,1
14.09.2011.	102	3,1	0,99	0,44	360	0	2,1	9,8	0,1
20.12.2011.	103	3,5	0,96	0,48	305	0	2,1	11	0,1
15.03.2012.	73	4,2	0,89	0,4	333	0	1,8	11	0,1
14.06.2012.	108	4,3	1,2	0,55	336	0	2	10	0,1
11.09.2012.	129	3,8	0,51	1	89	0	2	9,1	0,1
15.11.2012.	98	3,7	0,97	0,51	327	0	1,9	9,9	0,1
09.04.2013.	82	4,3	1,3	0,58	278	0	2	15	0,11
19.06.2013.	111	3,3	0,94	0,51	345	0	2,1	9,3	0,1
26.09.2013.	107	3,4	1	0,55	354	0	2,1	11	0,1
21.11.2013.	108	3,4	1,1	0,66	336	0	1,9	12	0,1



Slika 4-32. Piper dijagram za izvorište Stupa

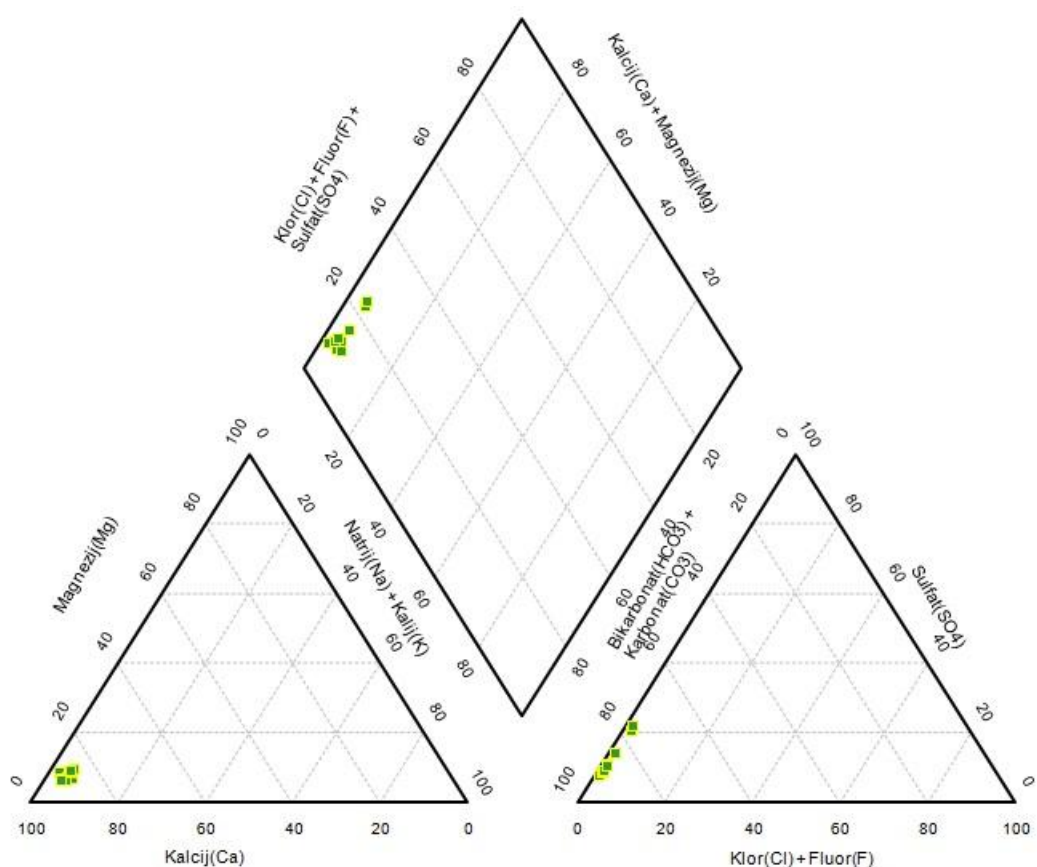
Podzemna voda na izvorištu Stupa (slika 4-32) pripada Ca-HCO₃ (kalcijsko hidrogenkarbonatnom facijesu).

Izvoriste Svinjski jarek 1

Brojčani podaci o sadržaju glavnih kationa i aniona u vodi izvorišta Svinjski jarek 1 su prikazani u tablici 4-31, a njihov položaj u Piperovom dijagramu na slici 4-33.

Tablica 4-31. Kationi i anioni za izvorište Svinjski jarek 1

Datum uzimanja uzorka	Ca (mg/L)	Mg (mg/L)	Na (mg/L)	K (mg/L)	HCO ₃ (mg/L)	CO ₃ (mg/L)	Cl (mg/L)	SO ₄ (mg/L)	F (mg/L)
28.07.2009.	91	5,5	1,6	1	261	0	1,4	17,6	0,1
17.08.2010.	65,2	3,36	3,36	0,812	256,2	0	1,8	19,35	0,0433
26.10.2010.	65,8	3,12	4,4	0,8	271,7	0	2,07	22,5	0,0764
08.06.2011.	55	2,4	2,8	0,82	247	0	2,1	24	0,1
20.12.2011.	65	4,1	3,7	0,92	162	0	2,1	34	0,1
14.06.2012.	71	4,9	3,6	1,5	195	0	1,5	26	0,1
14.11.2012.	70	4,5	3,3	1,4	198	0	1,9	45	0,1
19.06.2013.	83	3,8	2,8	0,87	290	0	2,2	24	0,105
21.11.2013.	71	3,1	2,4	0,91	238	0	2	22	0,1



Slika 4-33. Piper dijagram za izvorište Svinjski jarek 1

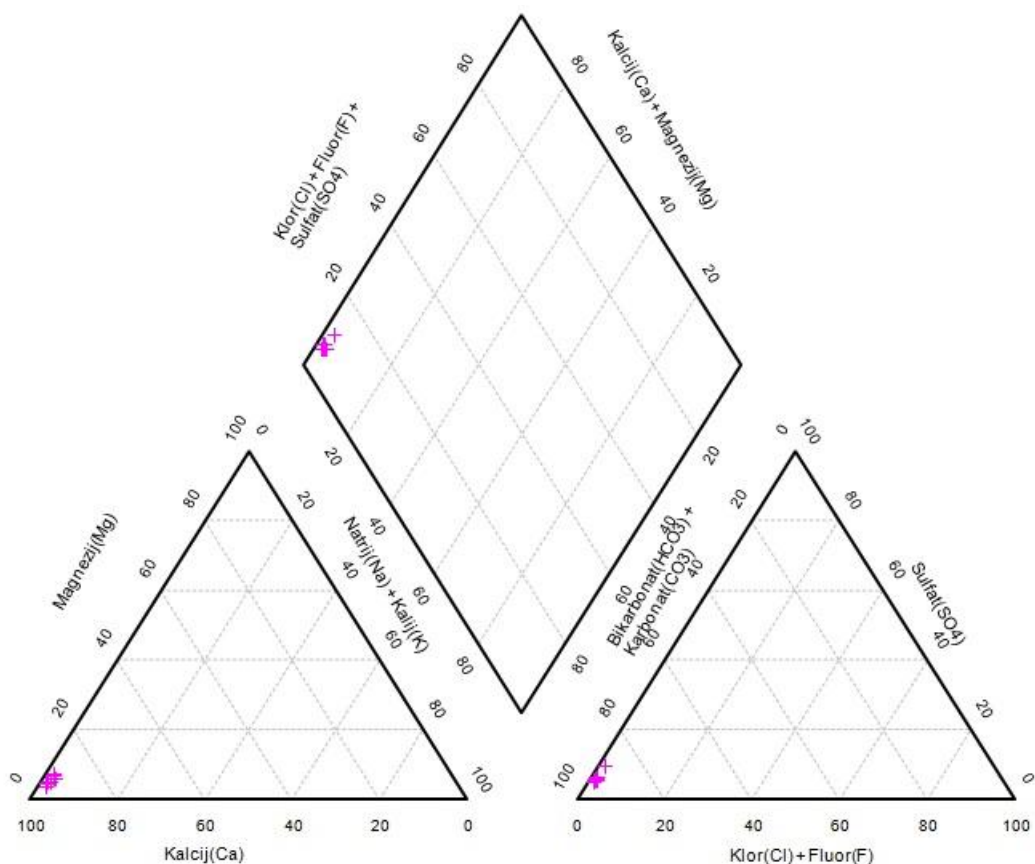
Podzemna voda na izvorištu Svinjski jarek 1 (slika 4-33) pripada Ca-HCO₃ (kalcijsko hidrogenkarbonatnom facijesu).

Izvoriste Svinjski jarek 2

Brojčani podaci o sadržaju glavnih kationa i aniona u vodi izvorišta Svinjski jarek 2 su prikazani u tablici 4-32, a njihov položaj u Piperovom dijagramu na slici 4-34.

Tablica 4-32. Kationi i anioni za izvorište Svinjski jarek 2

Datum uzimanja uzorka	Ca (mg/L)	Mg (mg/L)	Na (mg/L)	K (mg/L)	HCO ₃ (mg/L)	CO ₃ (mg/L)	Cl (mg/L)	SO ₄ (mg/L)	F (mg/L)
12.11.2009.	114	3,7	1,4	0,7	323	0	3,2	15,4	0,12
26.10.2010.	83,67	3,42	2,5	0,726	352	0	2,1	18,8	0,109
08.06.2011.	71	2,4	1,3	0,8	327	0	2	16	0,14
20.12.2011.	81	3,2	2	0,71	241	0	2	21	0,1
14.06.2012.	105	4,8	1,9	1,1	317	0	1,5	15	0,1
14.11.2012.	95	4,7	1,4	1	308	0	1,8	17	0,1
19.06.2013.	106	3,1	1,4	0,51	339	0	2,3	18	0,1
21.11.2013.	96	2,4	1,4	0,71	330	0	2,1	14	0,16



Slika 4-34. Piper dijagram za izvorište Svinjski jarek 2

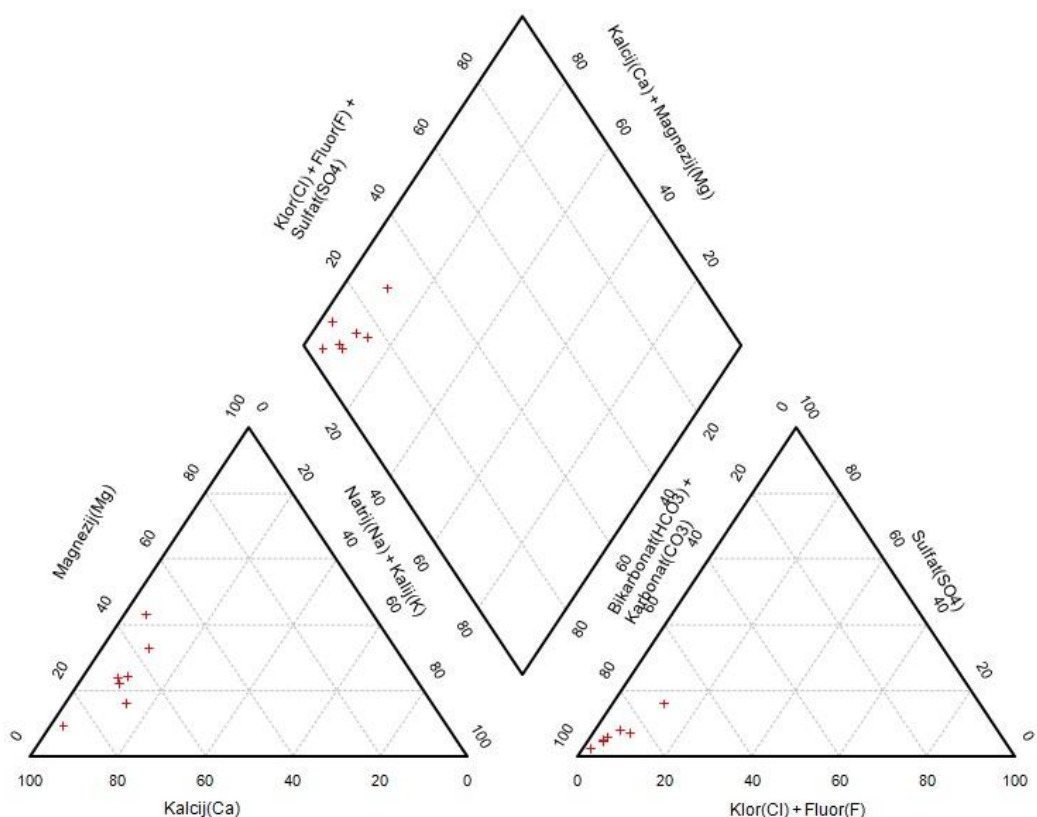
Podzemna voda na izvorištu Svinjski jarek 2 (slika 4-34) pripada Ca-HCO₃ (kalcijsko hidrogenkarbonatnom facijesu).

Izvoriste Bukovje

Brojčani podaci o sadržaju glavnih kationa i aniona u vodi izvorišta Bukovje su prikazani u tablici 4-33, a njihov položaj u Piperovom dijagramu na slici 4-35.

Tablica 4-33. Kationi i anioni za izvorište Bukovje

Datum uzimanja uzoraka	Ca (mg/L)	Mg (mg/L)	Na (mg/L)	K (mg/L)	HCO ₃ (mg/L)	CO ₃ (mg/L)	Cl (mg/L)	SO ₄ (mg/L)	F (mg/L)
18.11.2010.	41,7	21	3,5	0,985	268	0	1,7	5,8	0,156
15.03.2011.	98	21	11	3	408,8	0	7,2	18	0,353
14.09.2011.	91	18	12	2,7	397	0	7,1	17	0,303
15.03.2012.	83	12	14	6,5	345	0	19	24	0,132
11.09.2012.	87	31	16	3,6	113	0	9,9	20	0,273
09.04.2013.	110	7,3	3,1	0,71	351	0	7,6	19	0,249
26.09.2013.	100	23	14	4,9	366	0	13	27	0,239



Slika 4-35. Piper dijagram za izvorište Bukovje

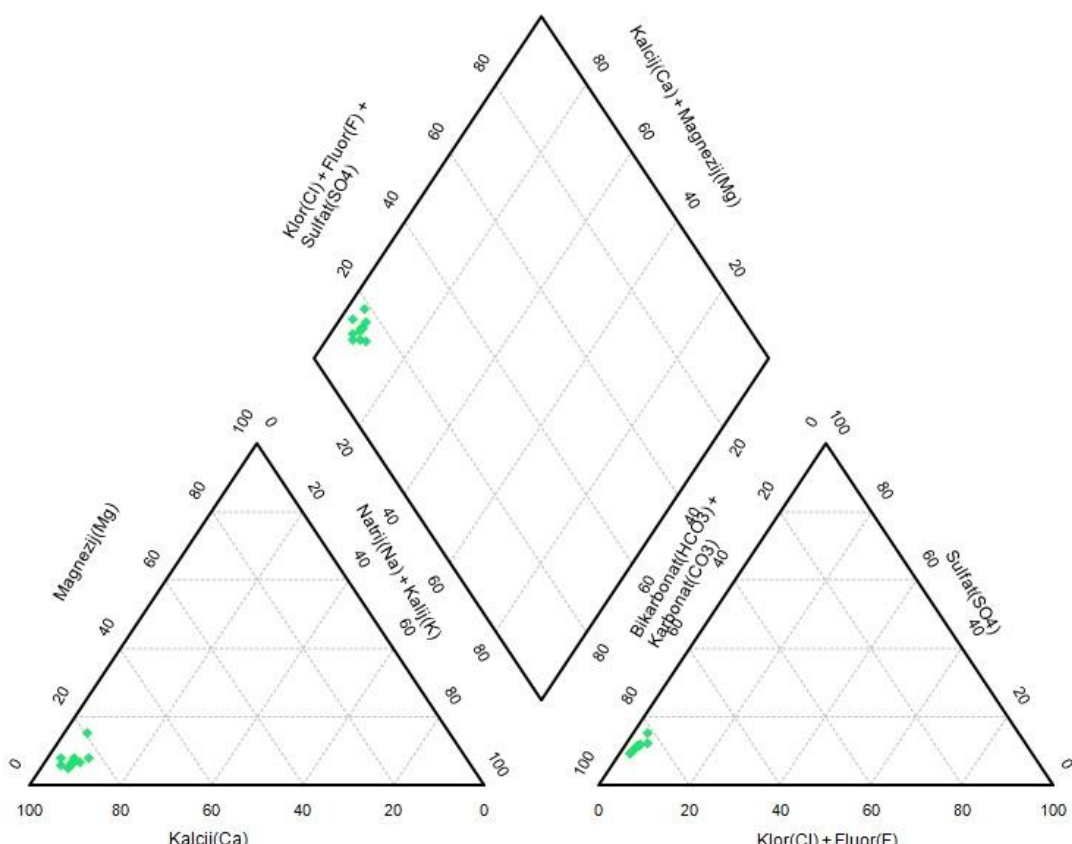
Podzemna voda na izvorištu Bukovje (slika 4-35) pripada CaMg-HCO₃ (kalcijsko-magnezijsko hidrogenkarbonatnom facijesu).

Izvoriste Dobre vode Medvednica

Brojčani podaci o sadržaju glavnih kationa i aniona u vodi izvorišta Dobre vode Medvednica su prikazani u tablici 4-34, a njihov položaj u Piperovom dijagramu na slici 4-36.

Tablica 4-34. Kationi i anioni za izvorište Dobre vode Medvednica

Datum uzimanja uzoraka	Ca (mg/L)	Mg (mg/L)	Na (mg/L)	K (mg/L)	HCO ₃ (mg/L)	CO ₃ (mg/L)	Cl (mg/L)	SO ₄ (mg/L)	F (mg/L)
30.06.2009.	32	1,6	2,8	0,28	122	0	1,3	12,1	0,1
21.10.2009.	41	1,5	2,6	0,36	109	0	1,7	12,3	0,1
16.06.2010.	24,6	1,38	0,52	0,396	100,6	0	1,26	11,13	0,1083
22.11.2010.	24,7	1,5	2,62	0,408	100,6	0	1,28	11,03	0,0651
29.08.2011.	35	2	2,2	0,37	140	0	1,3	12	0,1
14.04.2011.	36	1,6	2,3	0,41	110	0	1,3	12	0,1
04.04.2012.	44	1,8	1,7	0,29	92	0	1,5	14	0,1
07.08.2012.	54	6,4	2,9	0,94	131	0	1,3	12	0,1
29.04.2013.	32	1,6	2,1	0,36	92	0	2	11	0,26
08.08.2013.	34	1,5	2,3	0,42	95	0	1,5	11	0,1



Slika 4-36. Piper dijagram za izvorište Dobre vode Medvednica

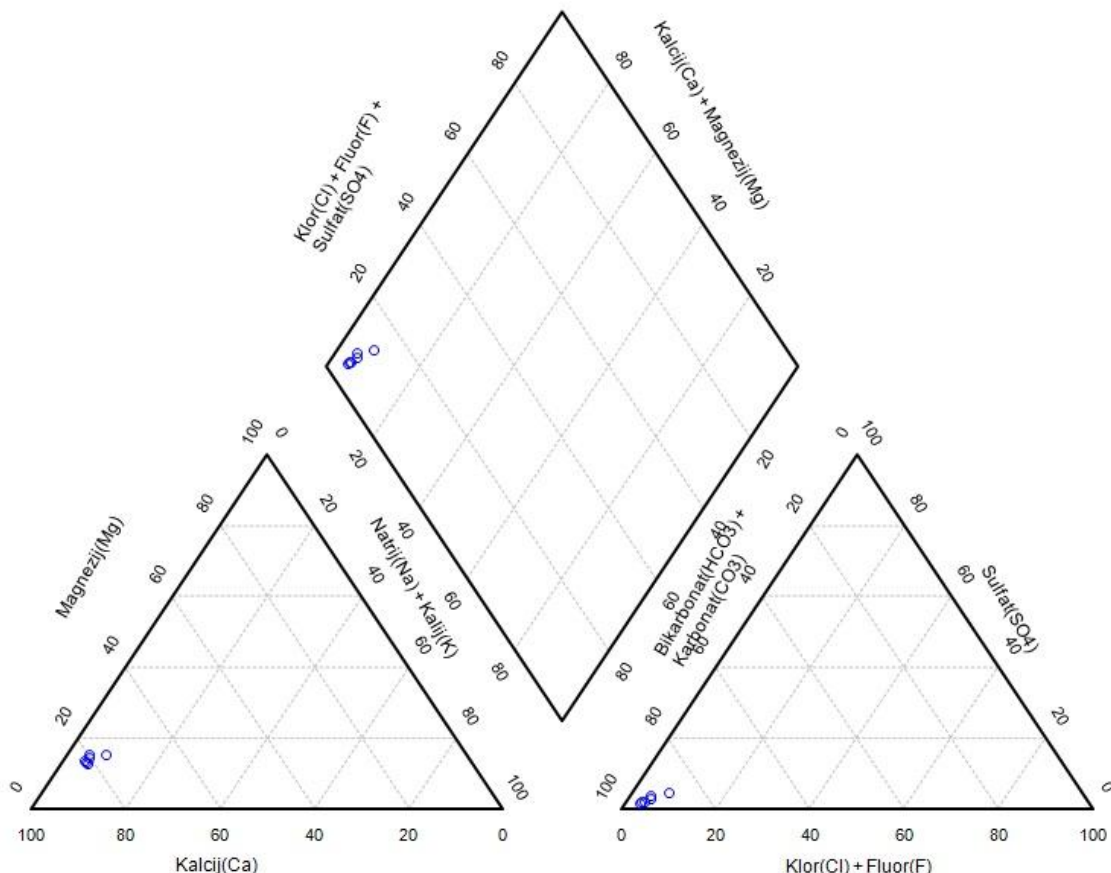
Podzemna voda na izvorištu Dobre vode Medvednica (slika 4-36) pripada $\text{Ca}-\text{HCO}_3$ (kalcijsko hidrogenkarbonatnom facijesu).

Izvorište Dobri zdenci

Brojčani podaci o sadržaju glavnih kationa i aniona u vodi izvorišta Dobri zdenci su prikazani u tablici 4-35, a njihov položaj u Piperovom dijagramu na slici 4-37.

Tablica 4-35. Kationi i anioni za izvorište Dobri zdenci

Datum uzimanja uzoraka	Ca (mg/L)	Mg (mg/L)	Na (mg/L)	K (mg/L)	HCO_3 (mg/L)	CO_3 (mg/L)	Cl (mg/L)	SO_4 (mg/L)	F (mg/L)
24.09.2012.	114	12	5,2	1,4	372	0	5,8	6,7	0,1
05.12.2012.	95	12	9,3	2,4	342	0	16	16	0,1
09.04.2013.	105	12	5,7	1,4	391	0	9,5	14	0,188
18.06.2013.	99	12	4,8	1,4	357	0	6,1	7,3	0,1
04.09.2013.	99	10	5,2	1,4	366	0	7,1	7,6	0,174
09.12.2013.	100	9,9	6,1	1,4	385	0	9,6	12	0,11



Slika 4-37. Piper dijagram za izvorište Dobri zdenci

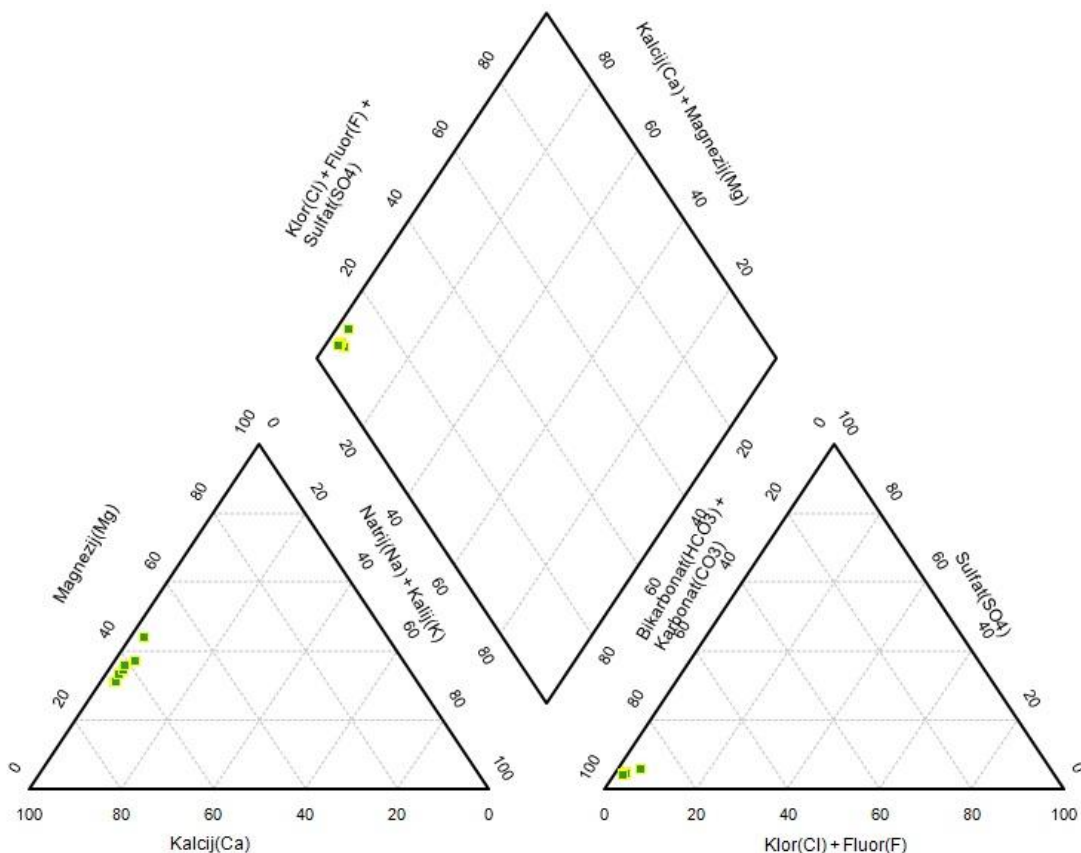
Podzemna voda na izvorištu Dobri zdenci (slika 4-37) pripada $\text{Ca}-\text{HCO}_3$ (kalcijsko hidrogenkarbonatnom facijesu).

Izvoriste Kojzica

Brojčani podaci o sadržaju glavnih kationa i aniona u vodi izvorišta Kojzica su prikazani u tablici 4-36, a njihov položaj u Piperovom dijagramu na slici 4-38.

Tablica 4-36. Kationi i anioni za izvorište Kojzica

Datum uzimanja uzorka	Ca (mg/L)	Mg (mg/L)	Na (mg/L)	K (mg/L)	HCO ₃ (mg/L)	CO ₃ (mg/L)	Cl (mg/L)	SO ₄ (mg/L)	F (mg/L)
18.11.2010.	42	16,65	2,6	0,808	228	0	1,9	10,9	0,149
15.03.2011.	58	17	1,9	0,71	262,4	0	2,1	12	0,225
14.09.2011.	54	16	1,9	0,67	250	0	2,1	12	0,198
15.03.2012.	39	20	1,6	0,67	259	0	1,9	11	0,1
11.09.2012.	62	20	1,9	0,8	73	0	1,9	4,2	0,1
09.04.2013.	55	19	2	0,77	266	0	2,2	12	0,202
26.09.2013.	55	20	1,9	0,75	299	0	2,1	12	0,175



Slika 4-38. Piper dijagram za izvorište Kojzica

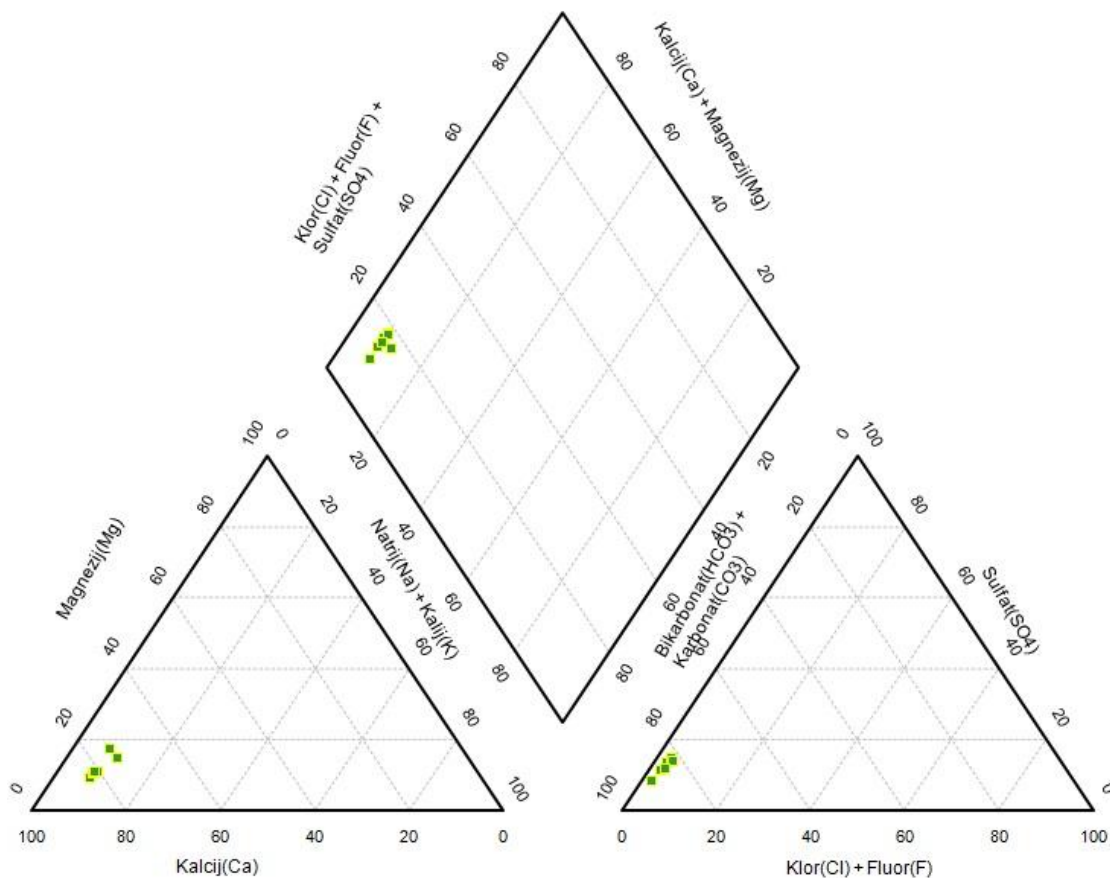
Podzemna voda na izvorištu Kojzica (slika 4-38) pripada CaMg-HCO₃ (kalcijsko-magnezijsko hidrogenkarbonatnom facijesu.

Izvoriste Kulmerica

Brojčani podaci o sadržaju glavnih kationa i aniona u vodi izvorišta Kulmerica su prikazani u tablici 4-37, a njihov položaj u Piperovom dijagramu na slici 4-39.

Tablica 4-37. Kationi i anioni za izvorište Kulmerica

Datum uzimanja uzorka	Ca (mg/L)	Mg (mg/L)	Na (mg/L)	K (mg/L)	HCO ₃ (mg/L)	CO ₃ (mg/L)	Cl (mg/L)	SO ₄ (mg/L)	F (mg/L)
20.09.2010.	20,23	2,52	3	0,382	95	0	1,15	12,48	0,1249
16.03.2011.	30	2,1	2,8	0,36	97,6	0	1,1	13	0,103
21.09.2011.	24	2	2,4	0,32	82	0	1,2	12	0,1
07.03.2012.	23	3,3	2,4	0,3	183	0	1,5	14	0,1
17.09.2012.	31	2,5	3	0,4	113	0	1,2	12	0,1
20.03.2013.	28	2,4	2,9	0,41	86	0	1,5	12	0,143
10.09.2013.	29	2,4	2,8	0,39	104	0	1,6	12	0,1



Slika 4-39. Piper dijagram za izvorište Kulmerica

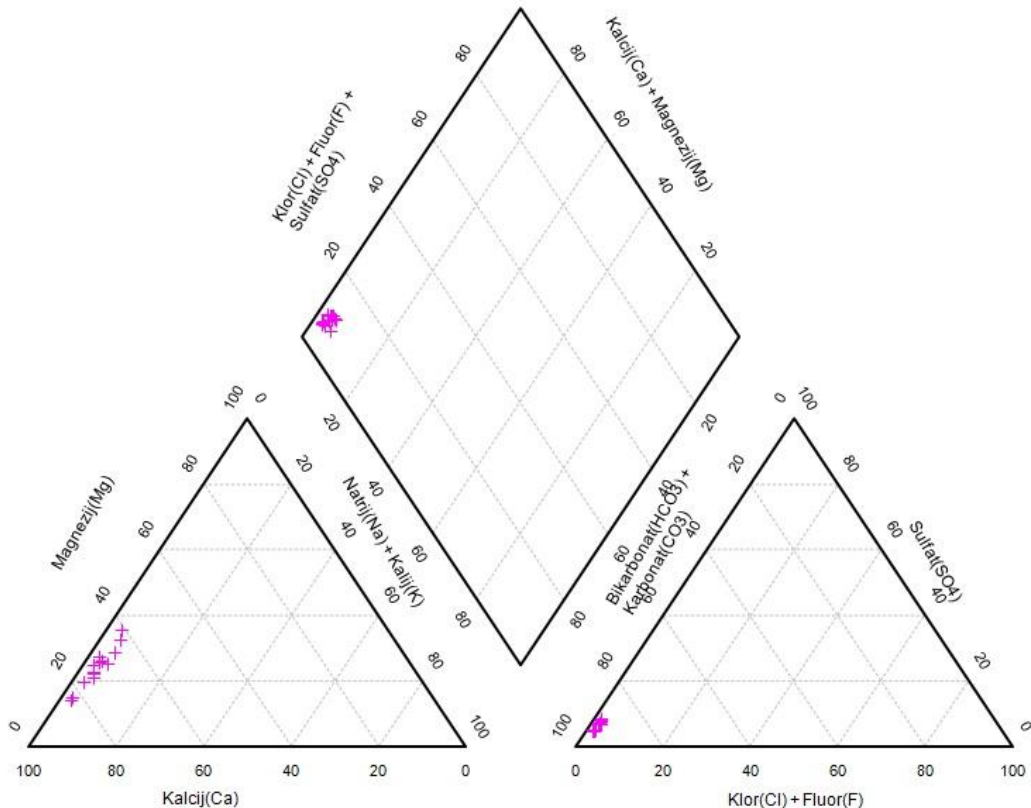
Podzemna voda na izvorištu Kulmerica (slika 4-39) pripada Ca-HCO₃ (kalcijsko hidrogenkarbonatnom facijesu).

Izvořište Rudnica

Brojčani podaci o sadržaju glavnih kationa i aniona u vodi izvořišta Rudnica su prikazani u tablici 4-38, a njihov položaj u Piperovom dijagramu na slici 4-40.

Tablica 4-38. Kationi i anioni za izvořište Rudnica

Datum uzimanja uzoraka	Ca (mg/L)	Mg (mg/L)	Na (mg/L)	K (mg/L)	HCO ₃ (mg/L)	CO ₃ (mg/L)	Cl (mg/L)	SO ₄ (mg/L)	F (mg/L)
14.5.2010.	38,7	7,4	1,49	0,54	189,1	0	0,89	9,04	0,0765
20.09.2010.	39,3	8,8	3,14	0,523	192,2	0	1,5	9,3	0,0843
14.05.2010.	35,58	9,57	2,8	0,4	192,2	0	1,27	15,23	0,1089
20.09.2010.	34,44	11,1	2,54	0,43	186,1	0	1,48	13,73	0,2101
16.03.2011.	55	5,9	1,4	0,48	195,3	0	1,4	9,4	0,1
21.09.2011.	43	4,9	1,1	0,39	204	0	1,4	8,7	0,1
16.03.2011.	49	9,1	2,3	0,39	183,1	0	1,4	14	0,1
21.09.2011.	37	6,5	2	0,32	204	0	1,5	14	0,1
07.03.2012.	41	9,8	1,2	0,43	146	0	1,5	9,4	0,1
17.09.2012.	56	8,9	1,5	0,58	211	0	1,5	9,5	0,1
07.03.2012.	39	14	2,1	0,4	189	0	1,5	14	0,1
17.09.2012.	52	12	2,6	0,57	223	0	1,6	14	0,1
20.03.2013.	57	12	1,7	0,51	217	0	1,6	14	0,103
10.09.2013.	49	11	2,1	0,44	195	0	1,7	14	0,1



Slika 4-40. Piper dijagram za izvořište Rudnica

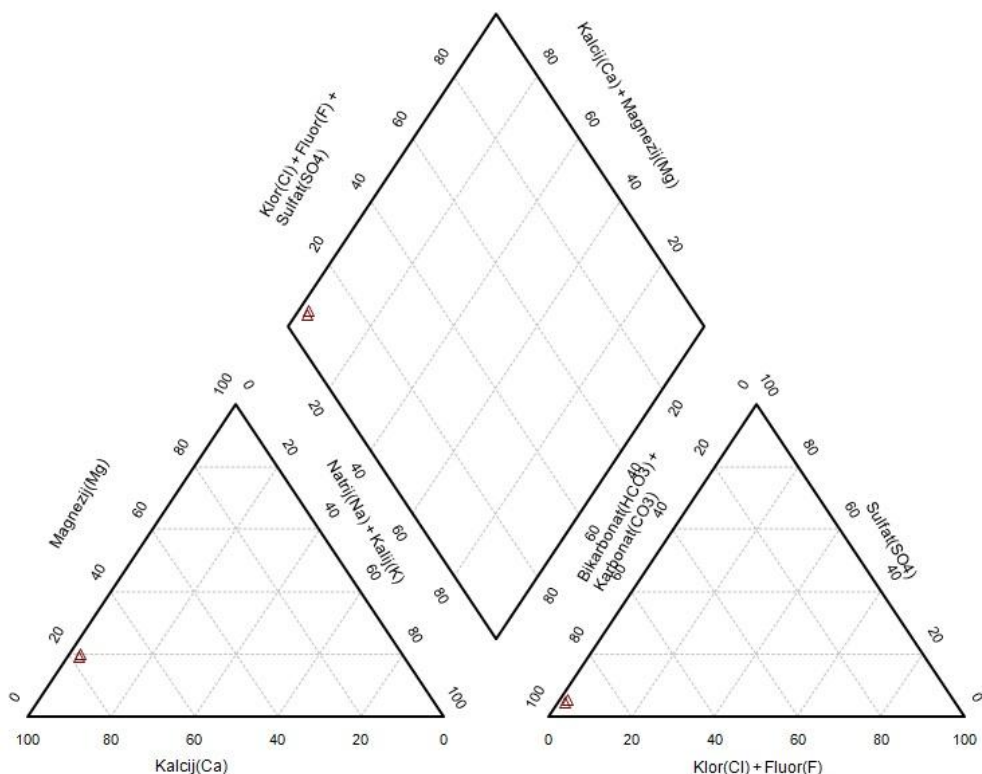
Podzemna voda na izvorištu Rudnica (slika 4-40) pripada CaMg-HCO₃ (kalcijsko-magnezijsko hidrogenkarbonatnom facijesu).

Izvorište Rudnica, (Gornja Podgora)

Brojčani podaci o sadržaju glavnih kationa i aniona u vodi izvorišta Rudnica, (Gornja Podgora) su prikazani u tablici 4-39, a njihov položaj u Piperovom dijagramu na slici 4-41.

Tablica 4-39. Kationi i anioni za izvorište Rudnica, (Gornja Podgora)

Datum uzimanja uzorka	Ca (mg/L)	Mg (mg/L)	Na (mg/L)	K (mg/L)	HCO ₃ (mg/L)	CO ₃ (mg/L)	Cl (mg/L)	SO ₄ (mg/L)	F (mg/L)
20.03.2013.	51	8,2	1,2	0,49	186	0	1,5	9,1	0,1
10.09.2013.	51	7,7	1,3	0,5	214	0	1,5	9	0,1



Slika 4-41. Piper dijagram za izvorište Rudnica, (Gornja Podgora)

Podzemna voda na izvorištu Rudnica, (Gornja Podgora) (slika 4.40) pripada Ca-HCO₃ (kalcijsko hidrogenkarbonatnom facijesu).

5. Zaključak

Vodno tijelo *Sliv Sutle i Krapine* je izgrađeno od stijena koje su nastale u razdoblju od gornjeg paleozoika do kvartara.

S obzirom na hidrogeološke značajke vodnim tijelom dominiraju slabopropusne i nepropusne naslage što uz morfološke karakteristike terena uzrokuje površinsko otjecanje i slabu infiltraciju oborina te formiranje brojnih bujičnih vodotoka.

Kao glavni vodonosnici izdvojeni su karbonati srednjeg i gornjeg trijasa te litotamnijski vaspenci badenske starosti. Svi značajniji izvori na području vodnog tijela su vezani za ove vodonosnike. U propusne naslage ubrojeni su još i aluvijalni nanosi vodotoka kvartarne starosti nešto slabijih hidrogeoloških značajki zbog ograničenog prostiranja i relativno malih debljina. Ostale naslage su slabopropusne do nepropusne.

Podzemne vode na području vodnog tijela pripadaju Ca-HCO₃ (kalcijsko-hidrogenkarbonatnom), CaMg-HCO₃ (kalcijsko-magnezijsko-hidrogenkarbonatnom) ili MgCa-HCO₃ (magnezijsko-kalcijsko- hidrogenkarbonatnom) tipu voda, što je u skladu s njihovom genezom, vezanom za vaspence i dolomite.

6. Literatura

- ANIČIĆ, B. i JURIŠA, M. (1983): Osnovna geološka karta SFRJ M 1:100.000, List Rogatec, L 33-68, Institut za geološka istraživanja Zagreb i Geološki zavod Ljubljana. Savezni geološki zavod Beograd.
- ANIČIĆ, B. i JURIŠA, M. (1985): Osnovna geološka karta SFRJ M 1:100.000, List Rogatec, L 33-68, Tumač za geološku kartu list Rogatec, Geološki zavod Ljubljana i Institut za geološka istraživanja Zagreb. Savezni geološki zavod Beograd.
- BABIĆ, LJ. i ZUPANIĆ, J. (1973): Najmlađa jura i starija donja kreda u Ivanšćici. Geol. vjesnik 26, 267-272, Zagreb.
- BASCH, O. (1981): Osnovna geološka karta SFRJ 1:100 000. List Ivanić Grad, L 33-81, Savezni geološki zavod, Beograd.
- BASCH, O. (1983): Osnovna geološka karta SFRJ 1:100 000. List Ivanić Grad, L 33-81, Tumač za geološku kartu list Ivanić Grad. Savezni geološki zavod, Beograd.
- EGPV - Evidencija i gospodarenje podzemnim vodama Hrvatske (1988-2000). Projekt Rudarsko-geološko-naftnog fakulteta i Hrvatskih voda, Zagreb.
- FREEZE, R.A., CHERRY, J.A. (1979): Groundwater. Prentice Hall Inc. Englewood Cliffs, New Jersey.
- HABDIJA ŽIGMAN, V., VARGA, Ž., PTICEK, A., BARBIĆ, I., DRAGOVAN, H., (2015): Obnova državne ceste D 307 na dionici Donja Stubica –Marija Bistrica, duljine 14, 376 km, Elaborat zaštite okoliša u postupku ocjene o potrebi procjene utjecaja zahvata na okoliš, Zagreb.
- HALLE, R. (2004): Kemizam i obradba vode. Sveučilište u Zagrebu, RGN fakultet, 1-280.
- ****Hrvatske vode (2009): Strategija upravljanja vodama, Zagreb.
- ****Hrvatske vode (2013): Plan upravljanja vodnim područjima za razdoblje 2013. - 2015.
- KOVAČIĆ, MA. (2004): Sedimentologija gornjomiocenskih naslaga jugozapadnog dijela Panonskog bazena.- Doktorska disertacija, Sveučilište u Zagrebu, Prirodoslovno-matematički fakultet, 203 str., Zagreb.
- KÖPPEN, W. (1918): Klassifikation der Klimate nach Temperatur, Niederschlag und Jahreslauf.

MALBAŠA, N., HRŠAK, S., MARTINOVIC, J., PODNAR, D., SELANEC, Č., SUČIĆ, H., ZELIĆ, M., BLAŽIČKO, R., DELIJA, V., DOKMANOVIC, G., VEŠLIGAJ, D., (1997.): Program zaštite okoliša Krapinsko-zagorske županije, Zagreb

NAKIĆ, Z., BAČANI, A., PARLOV, J., DUIĆ, Ž., PERKOVIĆ, D., KOVAČ, Z., TUMARA, D., MIJATOVIĆ, I., ŠPOLJARIĆ, D., UGRINA, I., STANEK, D., SLAVINIĆ, P., (2016) „Definiranje trendova i ocjena stanja podzemnih voda na području panonskog dijela Hrvatske“. Studija. Zagreb: Sveučilište u Zagrebu, RGN fakultet, OP 2015/ 24.

ŠIKIĆ, K., BASCH, D. i ŠIMUNIĆ, A. (1972): Osnovna geološka karta SFRJ 1:100.000. List Zagreb, L 33-80, Savezni geološki zavod, Beograd.

ŠIKIĆ, K., BASCH, D. i ŠIMUNIĆ, A. (1979): Osnovna geološka karta SFRJ 1:100.000. List Zagreb, L 33-80, Tumač za geološku kartu list Zagreb. Savezni geolološki zavod, Beograd.

ŠIMUNIĆ, AN. (1992): Geološki odnosi središnjeg dijela Hrvatskog zagorja. Disertacija, 1-190. Rudarsko-geološko-naftni fakultet, Zagreb.

ŠIMUNIĆ AN., PIKIJA, M., HEČIMOVIĆ, I. i ŠIMUNIĆ AL. (1981): Osnovna geološka karta SFRJ M 1:100.000, L 33-69. Tumač za geološku kartu list Varaždin. Institut za geološka istraživanja Zagreb, Savezni geološki zavod Beograd.

ŠIMUNIĆ AN., PIKIJA, M., HEČIMOVIĆ, I. (1983): Osnovna geološka karta SFRJ M 1:100.000, list Varaždin, L 33-69. Institut za geološka istraživanja Zagreb, Savezni geološki zavod Beograd.

Internet stranice:

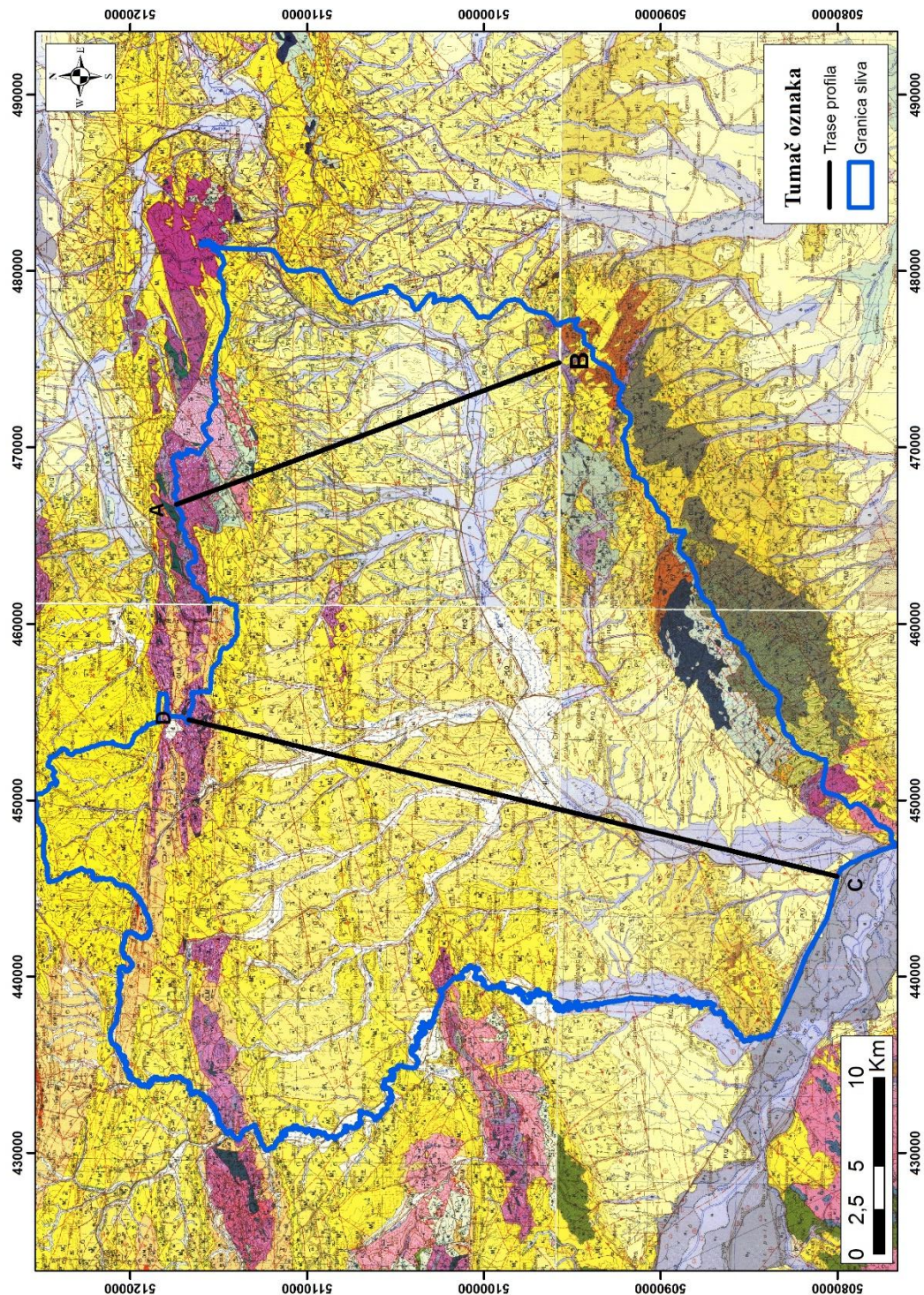
<http://www.kzz.hr/općenito>

nevada.usgs.gov/tech/excelforhydrology

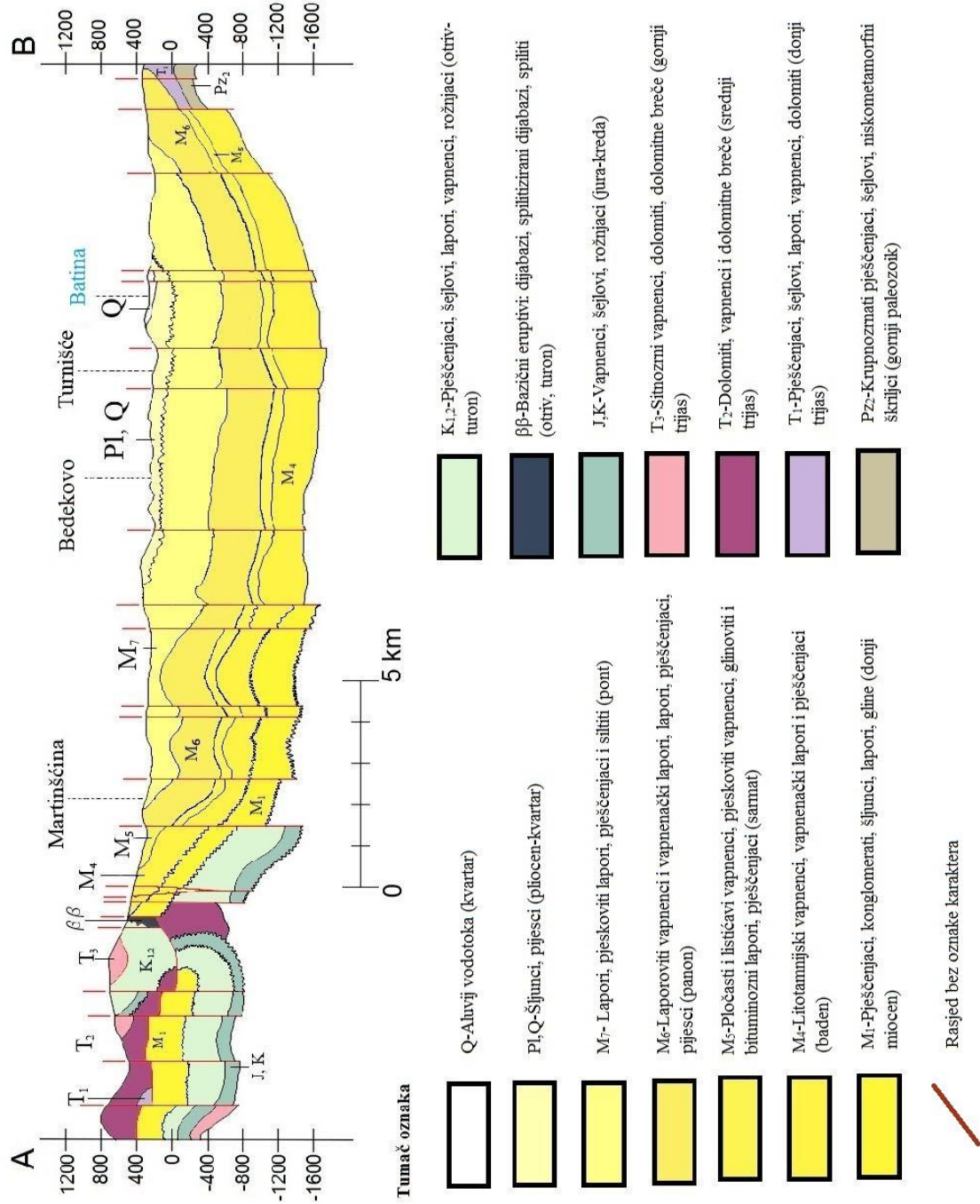
<https://www.google.com/maps/place/Krapinskozagorska+%C5%BEupanija,+Hrvatska/@46.082269,15.8191738,47399m/data=!3m1!1e3!4m5!3m4!1s0x4765e92a3633e609:0x300ad50862bb430!8m2!3d46.1013393!4d15.8809693?hl=hr-HR>

7. Prilozi

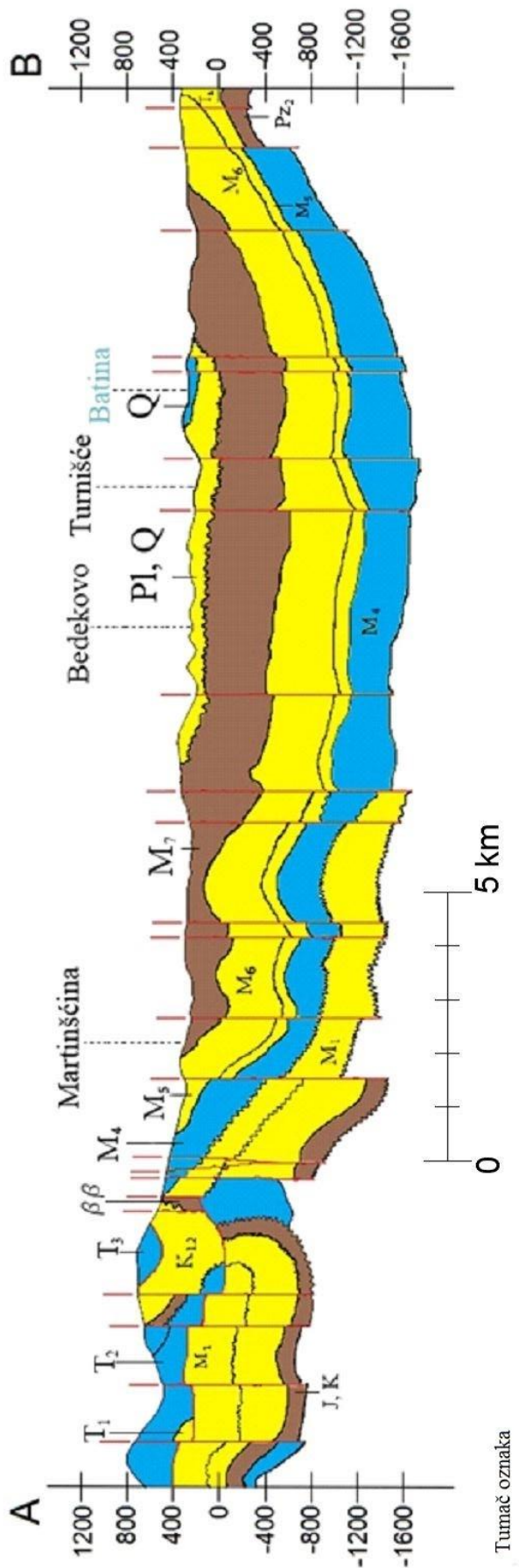
Prilog 1. Karta s trasama profila



Prilog 2. Geološki profil A-B



Prilog 3. Hidrogeološki profil A-B



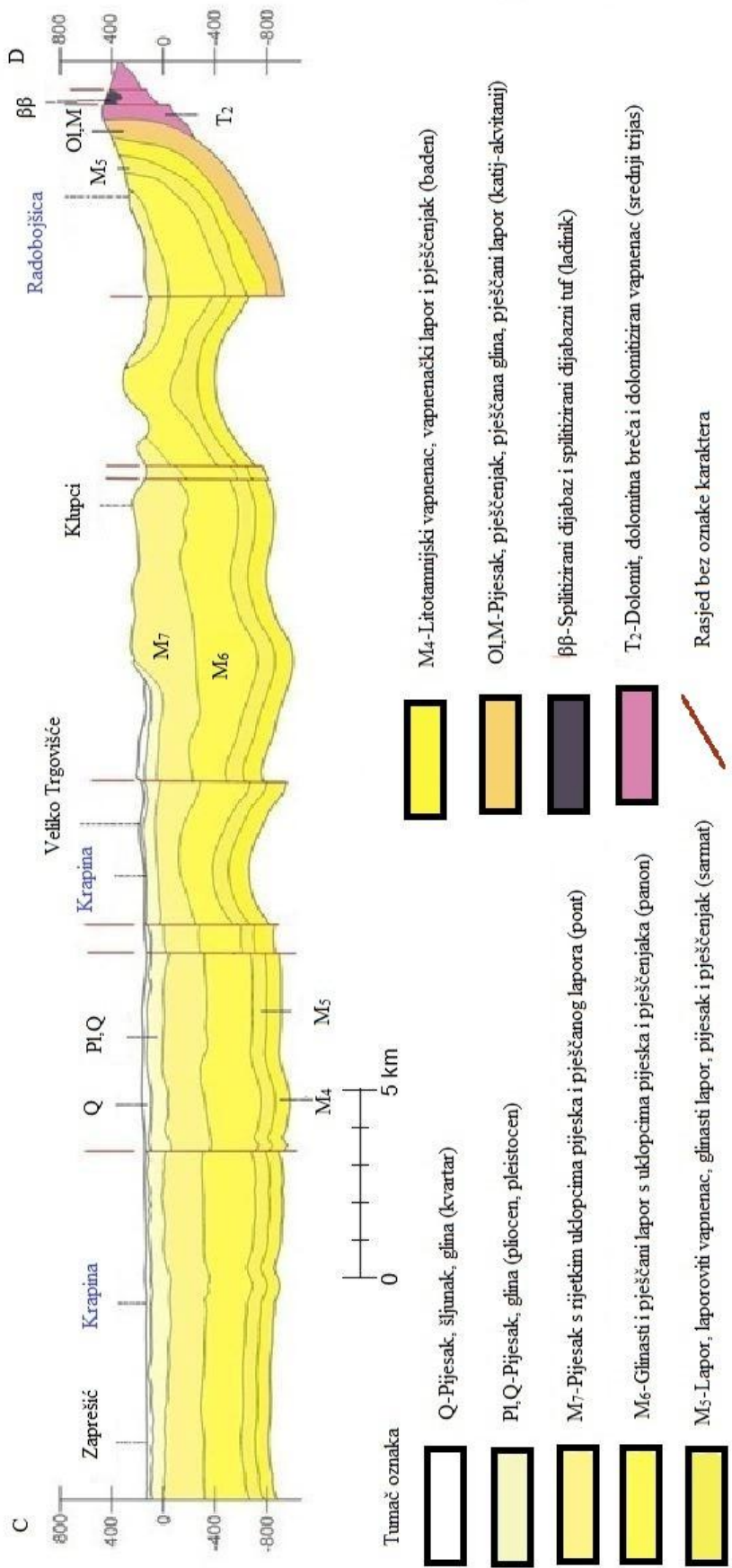
Propusnac (Q-Aluvij vodotoka), (M-Litotamnijski vapnenci, vapnenci katori i pješčenjaci), (T₃-Sithozni vapnenci, dolomiti, dolomiti breče), (T₂-Dolomiti vapnenci i dolomijne breče)

Slabopropusno (Pl, Q-Šljunci, pijesci), (Ms-Laporoviti vapnenci i vapnenasti lapori, pješčenjaci, pijesci), (Ms-Pločasti i listicavi vapnenci, pjeskoviti vapnenci, glinoviti i bituminozni lapori, pješčenjaci), (Mj-Pješčenjaci, konglomerati, šljunci, lapori, gline), (Kj₂-Pješčenjaci, šljovi, lapori, vapnenci, dolomiti) (T₁-Pješčenjaci, šljovi, lapori, vapnenci).

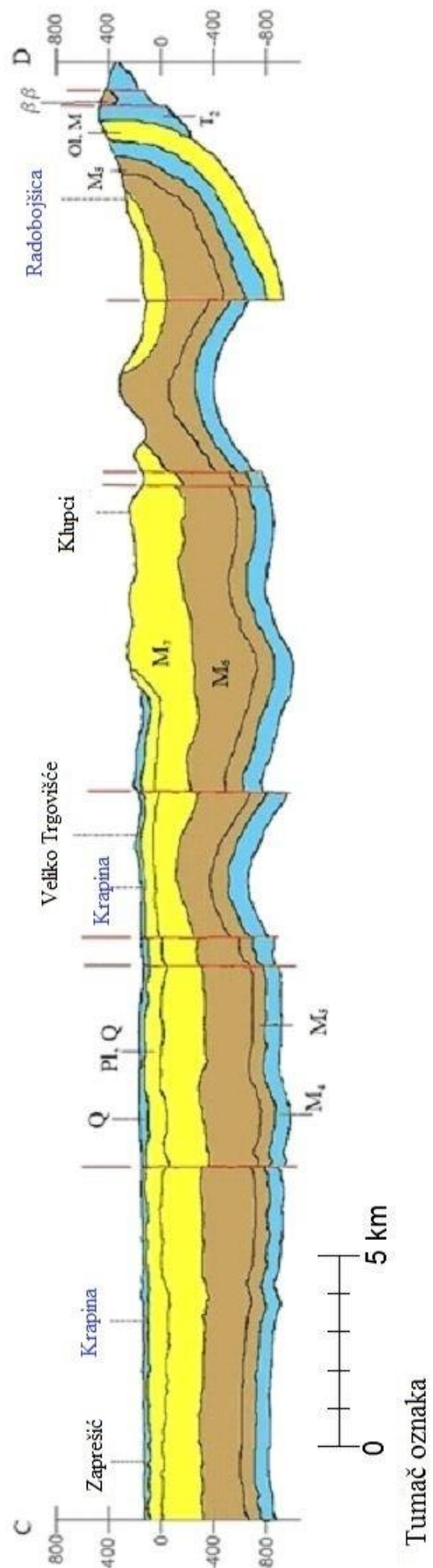
Nepropusno (M- Lapor), pjeskoviti lapor, pješčenjaci i slitići, ($\beta\beta$ -Bazični erupтивni dijabazi, spilitizirani dijabazi, spiliti), (I,K-Vapnenci, šejlovi, rožnjaci), (Pz- Krupnozrnati pješčenjaci, šejlovi, niskometanofni skrijevi)

Rasjed bez oznake karaktera

Prilog 4. Geološki profil C-D



Prilog 5. Hidrogeološki profil C-D



Propusno (Q-Pjesak, šljunak, glina), (M₄-Litotamnijski vapnenac, vapnenički lapor i pješenjak), (T₂-Dolomit, dolomita breča i dolomitiziran vapnenac)

Slabopropusno (Pl, Q-Pjesak, glina), (M₇-Pjesak s rijetkim uklopcima pjeska i pješčanog lapora), (Ol.M-Pjesak, pješenjak, pješčana glina, pješčani lapor)
Nepropusno (M₆-Glinasti i pješčani lapor s uklopcima pjeska i pješenjaka), (M₅-Lapor, laporoviti vapnenac, glinasti lapor, pjesak i pješčenjak), (ββ-Splitizirani dijabaz i spilitizirani dijabazni tuf)